

Sjedeće svojstvo:

VII Transport

↳ Želimo napraviti model vođenja koji će elektron opisivati poluklasično (jer mu toko možemo def. \vec{r} i \vec{p} što nam treba za vodljivost) i ubaciti Blochovu teoriju u njega (vrpce) koja se pokazala točnom.

Dinamika elektrona:

Uvod: (A-H, str. 214)

do sada smo proučavali statička sustava klasična mehanika a sad proučavamo dinamičke elektrone koji su rezultirali vanjskim silama i polja (kao trmota i el. vodljivost)

Vodljivost zahtjeva proširenje modela slobodnih elektrona i na neravnotežne situacije.

važno: moguće je odrediti ponašanje slobodnih elektrona preko klasične mehanike ako nije nužno lokalizirati elektron na skali komparabilnoj s međuatomskom udaljenošću.

To je pokazao Sommerfeldov model:

$$\vec{j} = e \sum_{\vec{v}} f(\vec{v}) \cdot \vec{v}$$

→ općenito!

funkcija raspodjele

Drude je konstruirao teoriju el. i term. vodljivost primjenom kinetičke teorije plinova na metale, razmotrivi ih kao plin elektrona

- on je u klasičnom Drudeovom modelu funkcijom raspodjele brzina (Maxwell-Boltzmannov) zamijenio Fermi-Diracovom.

$$f_{MB}(\vec{v}) = n \left(\frac{m}{2\pi k_B T} \right)^{3/2} e^{-\frac{mv^2}{2k_B T}} \rightarrow f_{FD} = \frac{n}{4\pi k^3} \frac{1}{e^{\left[\frac{1}{2}mv^2 - \frac{k_B T}{2} \right] / k_B T} + 1}$$

broj elektrona po jedinici volumena u intervalu brzina $\vec{v}, \vec{v}+d\vec{v}$ je $f_{MB}(\vec{v})d\vec{v}$

$\frac{N}{V}$ (klasična gustoća plina)

To je temperatura koja se odredi iz norm. uzjeta:

$$n = \int d\vec{v} f(\vec{v})$$

(za f_{MB} to zadovoljeno; toka smo izabrali)

- Pauli princip zahtjeva zamjenu

$$f_{MB} \rightarrow f_{FD}$$

To je neravno zahtjevalo i opravdanje: matematička strana je prilično kompleksna, a i pojmuno je teško općenito odrediti kod se kvantna teorija može zamijeniti klasičnom.

Ali fizikalni argument je jednostavan: **elektron se može klasično opisati do se može dovoljno precizno odrediti njega \vec{r} i \vec{p} bez narušavanja principa neodređenosti.**

I Eksperimentalno to je slučaj gibanja elektrona u ravnini klamitoj na uniformno magnetsko polje $E = (v + \frac{1}{2})\hbar\omega_c$ $\omega_c = eB/mc \rightarrow$ vidjet ćemo kasnije]

Čak i za polja od 10^4 gaussa, energija je vrlo mala, ali u prkladno pripremljenim uzorcima (na temp. od nekoliko st. kelvina) kvantni su efekti vidljivi]

$$\Delta x \sim \frac{\hbar}{\Delta p} \gg \frac{1}{k_F} \sim r_s \text{ (reda } 1 \text{ \AA)} \Rightarrow \text{klasičan opis je}$$

nemoguć za lokalizaciju unutar atomskih udaljenosti ($\hbar, \text{ \AA}$)

Ali: vodljivi elektroni nisu vezani za ione: ne \exists potreba da im se položaj specificira na točnost 1 \AA !

• Drudeov model je zahtjevaos poznavanje položaja u dva slučaja:

1) primjena prostorno promjenjivog EH polja ili $\nabla T \Rightarrow$ skala na kojoj lokaliziramo e mora biti $\sim \lambda$ (duljina preko koje variraju EH i T, ustvari valna duljina za oscilatorna polja) \rightarrow većina polja i T me varira znatno na skali \AA

2) zahtjeva da se e može lokalizirati na dužinu $<$ od srednjeg slobodnog puta l . U metalima on je reda 100 \AA (na sobnoj T)

↳ ali Drudeov teorija daje bitno manji rezultat (to je greška u našem modelu) (l - put koji e pređe između dva uzastopna sudara)

Dakle elektron opisujemo klasičnim jednadžbama:

$$\vec{F} = \frac{\hbar \vec{k}}{m} \rightarrow \vec{F} = e \left(\vec{E} + \frac{1}{c} \vec{v} \times \vec{H} \right) \quad (q = e = -|e|)$$

Ove jednadžbe ustvari opisuju ponašanje valnog paketa tj. kolektivno gibanje popunjenih stanja (slobodni elektronski nivoi):

$$\Psi(\vec{r}, t) = \int_{\vec{v}} g(\vec{k}) e^{i(\vec{k} \cdot \vec{r} - \frac{\hbar \omega}{2m} t)} \rightarrow \text{težinska funkcija } \approx 0 \text{ za one } \vec{k}\text{-ove koji su izvan } \Delta k\text{-okoline}$$

$\omega = \frac{E}{\hbar}$; E i \vec{r} su srednji položaj i moment oko kojeg je valni paket lokaliziran. (AKAKZ1)

U svom najjednostavnijem obliku kinetička teorija tretira molekule plina kao identične tvrde sfere koje se gibaju po ravnim linijama dok se ne sudare jedna s drugom. Pretpostavlja se da je vrijeme trojanja jednog sudara zanemarivo, i da, osim sila koje trenutno djeluju za vrijeme sudara, druge sile ne djeluju između čestica. U Drudeovoj teoriji valentni elektroni se slobodno gibaju po metalu, a metalni ioni su nepokretni. Drude je primjenio kinetičku teoriju plinova na vodljive elektrone mase m koji se gibaju spram pozadine nepokretnih metalnih iona, gustoća elektronskog plina:

$$n = \text{broj } e^- / \text{cm}^3 \quad n = 0.6022 \times 10^{24} \frac{Z}{A} \text{ mol/cm}^3$$

Avogadrov broj (broj atoma po molu)

$Z \rightarrow$ valencija (svaki atom doprinosi sa Z elektrona)

S_m gustoća $\left[\frac{g}{\text{cm}^3} \right]$
 A - atomska masa

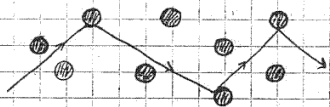
Volumen po vodljivim elektronu: $\frac{V}{N} = \frac{1}{n} = \frac{4\pi r_s^3}{3} \Rightarrow r_s = \left(\frac{3}{4\pi n}\right)^{1/3}$

Bazične pp Drudeovog modela:

1. Između sudara interakcija danog e^- sa ostalim e^- i s ionima je zanemarena, pa se u odsutnosti vanjskog EM polja elektron giba uniformno po ravnoj liniji. U prisutnosti vanjskih polja e^- će se gibati prema Newtonovom zakonu koji opisuje gibanje e^- u tom polju, ali se zanemaruju ostala komplicirana polja proizvedena od drugih e^- i iona. Zanemarivanje e^-e^- interakcije između sudara se naziva aprox. nezavisnih elektrona. Zanemarivanje e^- -ion interakcija naziva se aprox. slobodnih e^- . Iako je aprox. nezavisnih elektrona u značajnije puno slučajeva dobra, aprox. slobodnih elektrona se morala napustiti da bismo razumjeli čak i kvalitativno mnoge aspekte ponašanja metala.

2. Sudari su u Drudeovom modelu, kao i u kinetičkoj teoriji trenutni događaji i naglo mijenjaju brzinu elektrona. Drude te sudare pripisuje odbijanju elektrona od nepermeabilne ionske jezgre (radije nego e^-e^- sudarima). Može se pokazati da je e^-e^- raspršenje jednako od najmanje važnih mehanizama raspršenja u metalima.

Traektorija vodljivog e^- koji se raspršuje na ionskim jezgrama, prema naivnoj Drudeovoj slici:



Drudeova slika

3. Pretpostavljamo da elektron doživljava sudar s vjerojatnošću u jedinici vremena $\frac{1}{\tau}$. Vjerojatnost da doživi sudar u infinitezimalnom vremenu dt je dt/τ . (τ -vrijeme relaksacije srednje sl. vjeme \rightarrow igra fundamentalnu ulogu u teoriji vodljivosti metala). Nasumično odobron elektron u nekom trenutku će u prosjeku putovati vrijeme τ prije nego se sudari, sljedeći put i u prosjeku je putovao vrijeme τ od svog zadnjeg sudara. U Drudeovom modelu τ je nezavisno o brzini i položaju e^- .

4. Pretpostavlja se da elektroni postizu termalnu ravnotežu sa svojom okolinom samo preko sudara (uz aprox. sl. i nez. e^- to je i jedini preostali proces).

Drudeov model

- generalizacija ovakvog pristupa: semiklasični model

\rightarrow Prihvatili smo Blochovu teoriju - vrpce koje su rezultat postojanja kristalnog potencijala. Ujubi uzimamo kao osnovna stanja elektrona u kristalu. Na to onda možemo umetati vanjsko polje itd.

- opravdanje modela je užasno teško
- model opisuje gibanje elektrona između sudara

Stacionarna stanja uz \mathcal{E} kristalnog potencijala su Blochova stanja Ψ_{nk} : valni vektor \rightarrow periodički potencijal
 k indeks vrpce

- Ako elektron u Blochovom stanju Ψ_{nk} ima srednju brzinu $\neq 0$ (tj. $\frac{\partial E(k)}{\partial k} \neq 0$) tu će brzinu imati zauvijek u odsutstvu vanjskog polja! (je su to stacionarna stanja)

Sudari sa stacionarnim ionima ne mogu promijeniti brzinu \Rightarrow takvi se sudari (tj. interakcija s per. potencijalom zbog tih iona) ab initio nalaze već uračunati u Schrödingerovu jednadžbu čija su rješenja Blochove funkcije, a one su stacionarne (ne mijenjaju se u vremenu).

Zato je vodljivost perfektno periodičkog kristala beskonacna.

\rightarrow [Tu je pala Drudeova teorija koja tvrdi da su uzrok otpora sudari s ionima.]

Taj je efekt vrlo lako objasniti kvantnomehanički tj. oko se usredotočimo na valnu prirodu elektrona. \rightarrow
 \rightarrow Ako je raspršivač periodičan, val se može propagirati bez atenuacije zbog koherentne konstruktivne interferenije raspršenih valova!

∇ Postojanje otpora u metalima uvjetovano je njihovom nesavršenosti! (Kad bi se i nesavršenosti mogle potpuno ukloniti, ostale bi termalne vibracije iona koja stvaraju odstupanja od periodičnosti rešetke).

$\vec{r}, \vec{k} \rightarrow$ položaj i impuls našeg "elektrona"

Znamo da je on u vrpci pa je:

$$\vec{v}_n(\vec{k}) = \frac{1}{\hbar} \frac{\partial E_n(\vec{k})}{\partial \vec{k}}$$

suma preko vrpce, a doprinose stanja koja su u Δk -okolini našeg "elektrona" impulsa \vec{k}

uz definiciju: $\Psi_n(\vec{r}, t) = \sum_{\vec{k}'} g(\vec{k}') \Psi_{n\vec{k}'}(\vec{r}) e^{-\frac{i}{\hbar} E_n(\vec{k}')t}$

$$|\vec{k}' - \vec{k}| < \Delta k$$

VALNI PAKET
NAPRAVLJEN OD BLOCHOVIH STANJA (od stanja vrpce!)

Za $|\vec{k}' - \vec{k}| > \Delta k \quad g(\vec{k}') = 0$

$$\Delta k \sim \frac{1}{\Delta x} \quad \Delta x \rightarrow 100 \text{ \AA} \text{ (sr. sl. put)}$$

Ako je neodređenost u k (tj. Δk) mala u usporedbi s dimenzijama BZ: $E_n(\vec{k})$ malo varira u nivoima koji se javljaju u valnom paketu. Tada formulu za brzinu možemo naprosto promatrati kao grupnu brzinu valnog paketa

$$\vec{v}_g = \nabla_{\vec{k}} \omega(\vec{k}) = \frac{1}{\hbar} \nabla_{\vec{k}} E(\vec{k})$$

Semiklasičnu teoriju upotrebljavamo kad nije potrebno specijalizirati položaj elektrona na skali komparabilnoj sa Δk^{-1} .

Procjena širine valnog paketa: gledamo točke odvojene za Bravaisov vektor \vec{R} :

$$\vec{r} = \vec{r}_0 + \vec{R} \quad \equiv \vec{g}(\vec{k})$$

$$\psi_n(\vec{r}_0 + \vec{R}, t) = \sum_{\vec{k}} \left[g(\vec{k}) \psi_{n\vec{k}}(\vec{r}_0) \right] e^{i(\vec{k}\vec{R} - \frac{E_n(\vec{k})}{\hbar}t)}$$

↳ oko ψ gledamo kao $f(\vec{R})$ za fiksni \vec{r}_0 , to je superpozicija ravnih valova s težinskom funkcijom

$$g(\vec{k}) \equiv [g(\vec{k}) \psi_{n\vec{k}}(\vec{r}_0)]$$

→ ako Δk mjeri područje u kojem je g značajan (tj. g) tad je $\psi_n(\vec{r}_0 + \vec{R})$ značajna u području

Δk je malen u odnosu na BZ: $(\sim \frac{1}{a}) \Rightarrow \Delta R$ mora biti velik u odnosu na a .

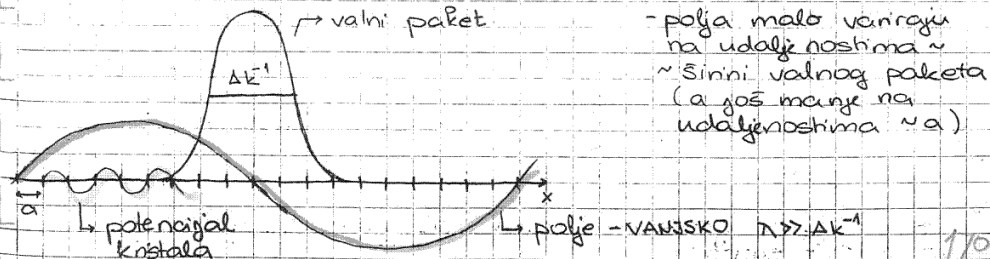
- Zaključak ne ovisi o \vec{r}_0 .

$$\text{za } \psi_{n\vec{k}} \quad \Delta k \ll \frac{1}{a}$$

Konačno: Valni paket Blochovih nivoa s valnim vektorima dobro definiranim na skali B zone mora se u realnom prostoru širiti preko mnogo primitivnih ćelija.

Napomena: ako je g znatan samo oko $\Delta k \ll \dim \text{B.Z.}$, $\psi_{n\vec{k}}(\vec{r}_0)$ malo varira u tom području (kao funkcija od k), $g \sim \text{const} \cdot g$.

SKICA:



U čemu je razlika semiklasičnog pristupa i čiste klasične granice za slobodne elektrone?

Periodički potencijal varira jako na udaljenostima koje su male obzirom na širinu valnog paketa i zato se ne može klasično tretirati. Zato semiklasični pristup ima dvojaki karakter: vanjsko polje tretira klasično, a periodički potencijal kvantno.

Napomena: Granice primjenjivosti semiklasičnog modela

Semiklasični model pada u granici kad je periodički kristalni potencijal mala! Tada elektron postaje slobodan (mimo više vrpca) i u homogenom električnom polju energija mu može kontinuirano rasti na račun potencijalne energije polja. U semiklasičnom modelu takvi prijelazi između vrpca su zaboravljeni (energija elektrona je zarobljena u granicama njezove vrpce - toj zahtjevi je namišen uvjet kod e^- proste Braggovu ravninu: skok iz niže free el. vrpce u višu ili ako npr. prelaze iz vrpce u vrpcu zbog jakog el. polja (elektroni probij - breakdown)).

Transportna svojstva σ, κ

↳ računju se također u modelu gotovo slobodnih elektrona - dielektrična konstanta treba u sebi sadržavati transportna svojstva (→ foli u izrazu $\epsilon(\omega) \approx \epsilon - \frac{c_p^2}{\omega}$, fale ograničenja; pretpostavili smo da su slobodni i da se na ničemu ne raspršuju)

- raspršenja e^- na fononima, nečistoćama itd. → otpor

↳ to vodi na otpor tj. modifikaciju dielektrične konstante u niskoenergijskom području (time se dalje bavimo)

↑ Transport

kratkodosežni efekti ↔ moramo se baviti vrpcama - gledamo kako kratkodosežni efekti djeluju na razini vrpce (- ubacimo mećistoće u kristal → djeluju na spektar)

↳ vanjsko polje koje uništava translacionu invarijantnost sistema

Utjecaj na mociose naboga u vodičima i izolatorima: vanjska polja i temperaturni gradienti ($E, H, \Delta T$)

Daljnji utjecaj: raspršenja na mećistoćama i fononima

Transport je drugo svojstvo gdje se elektroni ponasaju kao gotovo slobodni.

Uključujemo homogenu el. polje:

Želimo pokazati da:

- 1) raspršenje elektrona na atomima rešetke ne vodi na otpor
- 2) raspršenje elektrona na imperfekcijama rešetke vodi na otpor!

=> Ako nema imperfekcija => $R=0$ -> savršena vodljivost!
(to se odnosi na $T=0$ jer na $T>0$ već imamo imperfekciju zbog termalnog gibanja)

↳ to je "IDEALNA VODLJIVOST" - NE SUPRAVODLJIVOST!

(to pokazuje Heisnerov efekt - u idealnom vodiču možemo zarobiti m. polje, a u supravodiču ne!)
(jer idealni vodič je ipak samo vodič, a supravodnik fazni prijelaz u nešto sasvim drugo)

n Otpor je mjera nereda u kristalu!

PERFEKTNIA KRISTALNA REŠETKA:

Da bismo pokazali gore navedeno, moramo reformulirati teoriju vrpca.

Blochova funkcija: $|\psi\rangle = \sum_j a_j |w_j\rangle$ Wannierova funkcija $\equiv |w_j\rangle$
 $a_j = \frac{e^{i\vec{k}\cdot\vec{r}_j}}{\sqrt{N}}$ u idealnom kristalu
 ↳ diskretni, beskonačni stupac

Čisto kristal (ukupni): SE: $H_0|\psi\rangle = E_0(\vec{k})|\psi\rangle$
 ↳ ako imamo translacijski invarijantan hamiltonijan

$$\sum_j a_j H_0 |w_j\rangle = \sum_j E_0 a_j |w_j\rangle$$

$$\langle w_i | H_0 | w_j \rangle = \sum_{j'} H_{ij'}^0 \langle w_i | w_{j'} \rangle \equiv H_{ij}^0$$

↳ paziti to nije = $E_0 \langle w_i | w_j \rangle$ jer su u pitanju w_i fixe a one nisu su. funkcije H.

$$\sum_{j'} a_j H_{ij'}^0 \langle w_i | w_{j'} \rangle = \sum_j E_0 a_j \langle w_i | w_j \rangle$$

$$\sum_{j'} a_j H_{ij'}^0 S_{j'i} = \sum_j E_0 a_j S_{ji}$$

$$E_0 a_i = \sum_j a_j H_{ji}^0$$

$a_j = \frac{1}{\sqrt{N}} e^{i\vec{k}\cdot\vec{r}_j}$ vrpca

jednodžbi ima koliko čvorista u sistemu

a_j moguće je napisati na sledeći način:

$$a_j = e^{i(\vec{r}_j - \vec{r}_i) \cdot (-i \frac{\partial}{\partial \vec{r}_i})} a_i$$

↳ ovo je jednostavno translacija (Taylorov razvoj)

↳ u sebi sadrži nekoliko "zloćestih" pp:

1. vrjednji Taylorov razvoj
2. smi je se derivirati po R_i , a R_i je diskretni indeks (kristalna čvorista)

- ali mi ovde znamo rešenje, pa to smijemo napisati (analitička pa unijedi Taylorov razvoj)

⊗ operator pomaka:

$$d \equiv \sum_{n=0}^{\infty} \frac{a^n}{n!} \left(\frac{d}{dx}\right)^n = e^{a \frac{d}{dx}}$$

$$f(x+a) = e^{a \frac{d}{dx}} f(x) = f(x) + a \frac{df(x)}{dx} + \frac{a^2}{2!} \frac{d^2 f(x)}{dx^2} + \dots$$

Želimo pomaknuti a_i u a_j :

$$a_i = \frac{1}{\sqrt{N}} e^{i\vec{k}\cdot\vec{r}_i} \rightarrow a_j = \frac{1}{\sqrt{N}} e^{i\vec{k}\cdot\vec{r}_j} \Rightarrow \vec{a} = \vec{r}_j - \vec{r}_i$$

↳ $f(x)$ ↳ $f(x+a)$

Vektor a_i razvijemo u Taylorov red, pa opet skupimo nalog potencije:

$$a_j = e^{i(\vec{r}_j - \vec{r}_i) \cdot \frac{\partial}{\partial \vec{r}_i}} a_i \xrightarrow{\text{zgodni zapis}} a_j = e^{i(\vec{r}_j - \vec{r}_i) \cdot (-i) \frac{\partial}{\partial \vec{r}_i}} a_i$$

$\nabla_{\vec{r}_i} = \frac{\partial}{\partial \vec{r}_i}$
 ↳ samo oznaka

$e^{i(\vec{r}_j - \vec{r}_i) \cdot \frac{\partial}{\partial \vec{r}_i}}$ → operator translacije: seli funkciju s mjesta i na mesto j.

(naši a_i su ∞ puta derivabilni).

Uvrstimo i dobijemo:

$$(*) \left\{ \sum_j H_{ji}^0 e^{i(\vec{r}_j - \vec{r}_i) \cdot (-i) \frac{\partial}{\partial \vec{r}_i}} \right\} a_i = E_0 a_i$$

Heff operator

(skale) eigenvalue jednačba za koeficijente a_i

↳ efektivni linearni operator (beskonačni red; pojavljuje se derivacija ∞ reda)

→ eto, analogon čistog kristala je slobodni elektron uz zomjenu $H \rightarrow H_{eff}$ (efektivni hamiltonijan) → dobijemo ga zamjenom:

$$\vec{k} \rightarrow -i \frac{\partial}{\partial \vec{R}_i} \quad \text{u izrazu za } E_0(\vec{k}) \text{ recept}$$

$a_i \sim e^{i\vec{k}\vec{R}_i}$ gdje je \vec{k} - kristalni impuls (vrpca)

↳ dobili smo dif. jedn. ∞ reda za nalaženje sv. vrijednosti.

Uvrstimo u (*) $a_j = \frac{e^{i\vec{k}\vec{R}_j}}{N}$

$$\Rightarrow E_0(\vec{k}) = \sum_j H_{ji} e^{i\vec{k}(\vec{R}_j - \vec{R}_i)} = \sum_j H_{ji} e^{i\vec{k}\vec{R}_j} e^{-i\vec{k}\vec{R}_i}$$

⇒ vrpca (kao što smo jednom davno i dobili u koheziji metala)

Sve smo to napravili da bismo uveli:

$$H_0^{eff} = \sum_j H_{ji} e^{-i(\vec{k}\vec{R}_j - \vec{R}_i)} \left(-i \frac{\partial}{\partial \vec{R}_i}\right) \quad \text{- efektivni hamiltonijan}$$

Formalno to znači: $H_0^{eff} = E_0(\vec{k} \rightarrow -i \frac{\partial}{\partial \vec{R}_i})$

↳ odatle se vidi da Blochov fazni faktor \vec{k} odgovara impulsu, ali cijele vrpce

2. REŠETKA S IMPERFEKCIJAMA

↳ uvažimo ih u kristalnoj rešetki! to potencijalom $V(\vec{r})$ (može biti nečistoća, elst. pot. $V(\vec{r})$)

Sada želimo narušiti translacijsku invarijanciju koju smo prethodno tako zgodno napisali. Najjednostavnije - ubacimo neki vanjski potencijal $V(\vec{r})$ odnosno neku nečistoću

! $V(\vec{r})$ - ovo će se promijeniti

Novo valne funkcije: $|\psi\rangle = \sum_i \tilde{a}_i |w_i\rangle$

Pojavit će se: $\langle w_j^n | V(\vec{r}) | w_i^m \rangle$ - indksi vrpce

PP da se $V(\vec{r})$ sporo mijenja u prostoru u odnosu na skale Wannierovih funkcija (ne mora biti mali!) (oprost. potencijal slobo sporo promjenju u prostoru obzirom na dimenzije w_i)

$$\Rightarrow \langle w_j^n | V(\vec{r}) | w_i^m \rangle \approx V(\vec{R}_i) \delta_{ij} \delta_{nm} \quad \text{samo on-site matricni elti!}$$

↳ pp da je $V(\vec{r})$ sporo variruća f-ja od \vec{r} (na skali interatomske udaljenosti) i on kao tokav ne proizvodi prijelaze između različitih mjesta i različitih vrpca (indeksi vrpce su konst gibanja) ⇒ zbog toga očekujemo

da reprezentacija vrpca (tj. Blochovih stanja) neće biti narušena (mijenjaju se samo koeficijenti a_j !)

Dakle:

$$H_{eff} = H_{eff}^0 + V(\vec{R}_i) \quad \text{uvođenje longitudinalnog vanjskog polja}$$

$$[H_{eff}^0 + V(\vec{R}_i)] \tilde{a}_i = E \cdot \tilde{a}_i \quad \text{tražimo mjegov spektor}$$

$$H_{eff} \tilde{a}_i = E \tilde{a}_i \quad \text{(sad } \tilde{a}_i \text{ ne zadovoljavaju više Bloch. jedn. + transl. inv.)}$$

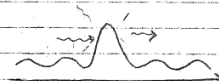
→ nečistoća → ako je privlačni potencijal ⇒ vjerojatnost nalaženja elektrona oko čvorišta gdje je nečistoća je povećana

↳ ukupni potencijal smanjen na mjestu imperfekcije ⇒ elektroni upadnu u rupu



efektivno iR je usporio ⇒ otpor

Ako je ukupni potencijal veći imamo raspršenja itd ⇒ otpor



- \tilde{a}_j više neće biti tipa $e^{i\vec{k}\vec{R}_j}$ jer se gubi translaciona invarijantnost

! → koherentno raspršenje e^- na kristalima (ionima) razdujimo: ⇒ daje vrpca
! → raspršenje e^- na vanjskom pot. (imperfekcije) ⇒ daje otpor

↑ to je bilo uvođenje longitudinalnog vanjskog potencijala

Sada, uvođenje transverzalnog vanjskog potencijala

↳ magnetsko polje, vektorski pot $\vec{A}(\vec{r})$

$$H_{eff} = E_0(\vec{k} \rightarrow -i \frac{\partial}{\partial \vec{R}_i} - \frac{e}{\hbar c} \vec{A}(\vec{R}_i)) \quad e = -1e$$

minimalna supstitucija $\vec{p} \rightarrow \vec{p} - \frac{e}{\hbar c} \vec{A}$

↳ to dobivamo intuitivno (uključivanjem gaugea)

↳ koniga, H_{eff} bačdarano invarijantan (na razini vrpce)

Elektromagnetsko polje:

→ sve smetnje se događaju unutar jedne vrpce

$$H_{eff} = E^0 \left(\vec{k} \rightarrow -i \frac{\partial}{\partial \vec{R}_i} - \frac{e}{\hbar c} \vec{A}(\vec{R}_i) \right) + V(\vec{R}_i)$$

↳ baždarno invarijantno

→ s novim dijelom u H možemo postupiti ili tako da tražimo nova vlastita stanja, ili da tražimo prijelaze između stanja.

Da se se možemo poslužiti Ehrenfestovim teorem → naći kvaziklasičnu dinamiku. Možemo sve gledati u Heisenbergovoj slici.

Kvaziklasični opis vodljivosti

- povezuje strukturu vrpce sa svojstvima vodljivosti, tj. daje odgovor elektrona na primjenjeno polje.

- može se primjenjivati dvostrano: $E \rightarrow \vec{v}$ ili $\vec{v} \rightarrow E$
↳ vodljivost

Ono što smo do sada učinili jest:

za dani $E_n(\vec{k})$, svakom smo elektronu (tj. valnom paketu) pridružili: \vec{r}, \vec{k}, n (\vec{r}, \vec{k} srednji položaji i valni vektor oko kojeg je valni paket lokaliziran, n - index vrpce)

→ Klasične jednadžbe gibanja → dobijemo ih obratom $-i \frac{\partial}{\partial \vec{R}_i} \rightarrow \vec{k}$ (nešto kao Ehrenfestov teorem)

$$(K_H \rightarrow Q_H : \vec{k} \rightarrow -i \vec{\nabla}, \quad Q_H \rightarrow K_H : -i \vec{\nabla} \rightarrow \vec{k})$$

(1) n je konstanta gibanja (H ne ovisi eksplicitno o n)

(2) jednadžbe gibanja:

$$q_i = \frac{\partial H}{\partial p_i} \quad H_{eff} = H_{eff}^0 + V(\vec{R}_i)$$

$$p_i = - \frac{\partial H}{\partial q_i} \quad \frac{1}{\hbar} \frac{\partial}{\partial \vec{k}} (E_n + V(\vec{r}_i))$$

$$\Rightarrow \dot{\vec{R}} = \frac{1}{\hbar} \frac{\partial H_{eff}}{\partial \vec{k}} \left(-i \frac{\partial}{\partial \vec{R}_i} \rightarrow \vec{k} \right) = \frac{1}{\hbar} \frac{\partial E(\vec{k})}{\partial \vec{k}} = \vec{v}_n(\vec{k})$$

$$(*) \Rightarrow \vec{v}_k = \frac{1}{\hbar} \frac{\partial E(\vec{k})}{\partial \vec{k}} \quad \text{grupna brzina}$$

$$\dot{\vec{k}} = - \frac{1}{\hbar} \frac{\partial H_{eff}}{\partial \vec{R}}$$

$$(*) \quad \hbar \dot{\vec{k}} = - \frac{\partial V(\vec{R})}{\partial \vec{R}} = e \vec{E} \quad \text{alio imamo samo električno polje}$$

$\vec{v}_k \equiv$ grupna brzina

$$\hbar \dot{\vec{k}} = e \left[\vec{E} + \frac{1}{c} \vec{v}_k \times \vec{B}(\vec{k}) \right] \quad \text{dus imamo električno i magnetsko polje}$$

→ električno polje će seliti elektron iz jednog Blochovog stanja u drugo.

Blochov impuls (impuls \vec{k} koji označava Blochova stanja a ne slobodni elektron)

$$\hbar \dot{\vec{k}} = e \left(\vec{E} + \frac{1}{c} \vec{v}_k \times \vec{B} \right) \quad v_k = \text{grupna brzina}$$

↳ Jednadžba je ista kao za slobodne elektrone, ali je brzina različita tj. umjesto brzine sl. elektrona javlja se grupna brzina elektrona u vrpci:

$$\vec{v}_k = \frac{1}{\hbar} \frac{\partial E_n(\vec{k})}{\partial \vec{k}} \quad \rightarrow \text{grupna brzina } e^- \text{ u vrpci (tj. brzina širenja valnog paketa)}$$

↳ u vezi s time: APROX. EFEKTIVNE MASE $m^* \vec{v}_k = \hbar \dot{\vec{k}}$

(3) valni vektor jednog e^- definiran je kao: $\vec{k} = \vec{k}_{1BZ} + \vec{G}$

⇒ Zato ne mogu postojati 2 različita elektrona s istim indexom vrpce n i funkcijom ψ čiji se valni vektor razlikuje za \vec{G} :

$$(n, \vec{r}, \vec{k}) = (n, \vec{r}, \vec{k} + \vec{G})$$

Semiklasični opis čuva tu jednakost u vremenu

$$(n, \vec{r}(t), \vec{k}(t)) = (n, \vec{r}(t), \vec{k}(t) + \vec{G})$$

⇒ svi različiti \vec{k} za isti n leže unutar 1 p. ćelije (ustvari 1BZ)

Djelovanje polja na elektrone: Nema prijelaza između vrpca: svaka vrpca ima fiksni broj elektrona (jer je n , indeks vrpce, konstanta gibanja). Gledamo samo nosioce energije $\leq E_F$. Unutar svake vrpce jednadžbe gibanja su iste kao za slobodni elektron osim što se umjesto brzine sl. e^- javlja grupna brzina e^- u vrpci.

Ali treba paziti: $\hbar \vec{k}$ nije moment Blochovog elektrona ⇒ to je moment cijele vrpce (svih elektrona) tzv. "kristalni moment".

Promjena momenta jednog e^- dana je s \vec{F}_{tot} (totalna sila na elektron) (vanjska sila + periodički potencijal), a promjena kristalnog momenta elektrona dana je jednadžbom gibanja u kojoj figuriraju samo vanjska polja (a ne i periodički potencijal).

(Da bi se opisala sila s periodičnošću rešetke, trebalo bi lokalizirati elektrone u primitivnu ćeliju, a to je nekonzistentno s modelom)

$\hbar \vec{k} = \vec{p}$: ima ulogu klasičnog momenta iako nije jedinstveno definirana veličina - ona označava "stanje" u kojem je valni paket

Efekt električnog polja

U prisustvu statičkog električnog polja, paket se giba toliko da energija ostane sačuvana u vremenu ($H(p, q)$ ne ovisi eksplicitno o t) → konzervativnost)

$$E_n(\vec{k}(t)) + e\phi(\vec{r}(t)) = \text{const} \quad \left| \frac{\partial}{\partial t} \right.$$

$$\vec{E} = -\frac{\partial \phi}{\partial \vec{r}} \quad \vec{r} = \vec{r}_n(\vec{k}) = \frac{1}{\hbar} \frac{\partial E_n}{\partial \vec{k}}$$

$$\frac{\partial E_n}{\partial \vec{k}} \cdot \dot{\vec{k}} - e \vec{E} \cdot \dot{\vec{r}} = 0$$

$$\Rightarrow \vec{v}_n(\vec{k}) (\hbar \dot{\vec{k}} - e \vec{E}) = 0 \quad \otimes$$

⊕ $\hbar \dot{\vec{k}} = e \vec{E} \rightarrow$ ovo ne vrijedi samo za $\vec{E} = \text{const}(t)$ jer se taj jednakost može dodati bilo koji član okomit na $\vec{v}_n(\vec{k})$ i da opet bude ispunjena jednakost ⊗. (ta opaska vezana je uz gauge)

Gledamo sve kao da smo na apsolutnoj nuli (jer u vodičima efekt konačnih temperatura ima malo utjecaja na ove rezultate, a račun je puno gori)

Pune vrpce: ⊕ znači: $E(\vec{k}) < E_F$ (ako tražimo da je vrpca popunjena tad cijela mora biti ispod maksimalne energije)

- broj elektrona: $dN = \frac{d^3r d^3k}{4\pi^3}$ iz $N = \sum_{\vec{k}, r} 1 = 2 \frac{1}{(2\pi)^3} \int d^3k \int d^3r$

Semiklasične jednakosti ukazuju da popunjena vrpca ostaje popunjena (zauvijek!)

↳ to je posljedica Liouvilleovog teorema (tj. njegovog poluklasičnog analogona)

PAZITI: Ako $H(p, q)$ ne ovisi eksplicitno o t , sustav je konzervativan. Budući nam EM polje ulazi u H preko $\vec{p}(t) \mapsto \vec{p}(t) - \frac{e}{\hbar c} \vec{A}(t)$, $H(p(t), q(t))$ nam neće ovisiti eksplicitno o t ni za vremenski zavisna polja!

Teorem: Promatramo dio 6D faznog prostora Ω_t . Gledamo točke \vec{r}' i \vec{k}' u koje \vec{r} i \vec{k} iz Ω_t evoluiraju ($t \rightarrow t'$). Uvijek vrijedi da je $\vec{r}' = \vec{r} + \vec{v} \Delta t$. Područja ($\Omega_{t'}$) koja se stvore iz Ω_t istog su volumena kao i Ω_t (to su ona područja u koja Ω_t evoluirala $\rightarrow \Omega_{t'}$). Dakle \vec{r}' i \vec{k}' stvore novo područje $\Omega_{t'}$ istog volumena.

Zbog konstantnosti faznog prostora proizlazi konstantnost gustoće u faznom prostoru, a to povlači sačuvanje broja elektrona u dijelu faznog prostora čak i uz prostorno-vremenski zavisna vanjska polja!

Zato vanjsko polje ne može promijeniti strukturu vrpce! (gustocu stanja npr.)

Ali, vrpca koja je potpuno popunjena (u \vec{k} -prostoru) ne može doprinosti vodljivosti (ni termalnoj, ni električnoj)!

Pogledajmo to:

- element faznog prostora $d\vec{k}$ doprinosi s $\frac{d\vec{k}}{4\pi^3}$ elektr./vol.

$$\left(\int_{\text{cijela BZ}} \frac{d\vec{k}}{8\pi^3} \right) \left(N = \sum_{\vec{k}} 1 = \frac{2 \cdot V}{(2\pi)^3} \int_{\text{cijela BZ}} d\vec{k} \Rightarrow \frac{dN}{V} = \frac{d\vec{k}}{4\pi^3} \right)$$

- brzina tih elektrona $v(\vec{k}) = \frac{1}{\hbar} \frac{\partial E(\vec{k})}{\partial \vec{k}}$

$$\vec{j} = e \sum_{\vec{k}, r} v(\vec{k}) = 0$$

↳ Za punu vrpcu:

-1el elektron
+1el → supline

$$\vec{j} = e \int_{\text{cijela BZ}} \frac{d\vec{k}}{4\pi^3} \frac{1}{\hbar} \frac{\partial E}{\partial \vec{k}} = 0 \quad \text{za punu vrpcu}$$

- gustoća energije:

$$j_E = \int \frac{d\vec{k}}{4\pi^3} \cdot \frac{E(\vec{k})}{\hbar} \frac{\partial E}{\partial \vec{k}} = \frac{1}{2\hbar} \int \frac{d\vec{k}}{4\pi^3} \frac{\partial}{\partial \vec{k}} (E(\vec{k}))^2$$

↳ ali tu je i teorem da integral po cijeloj BZ gradijenta periodičke parne funkcije mora iščezavati

$$\left(\sum_{\vec{k}} \vec{v}_k \vec{f}_k = 0, (\vec{k} \rightarrow -\vec{k}), T \neq 0 \right)$$

↳ funkcija popunjena (ne FD funkcija)

Zato vodljivost najviše doprinosi samo polupopunjene vrpce

Broj stanja u vrpci = 2 · broj celija ⇒ sve vrpce moraju biti ili pune ili prazne ako se u području nalazi paran broj e. (Obrnuto ne vrijedi zbog mogućnosti preklapanja energija vrpce što vodi u stanje u kojem je nekoliko vrpca polupopunjeno)

QM objašnjenje inertnosti punih vrpca: posljedica Paulijevog principa: ako je sve popunjeno i n konstanta gibanja ne može se smanjiti broj elektrona na nekom nivou osim ako nema praznih mjesta na drugom nivou u istoj vrpci.

→ kvazi-klasična aprox. → pravi korak:

$$\langle w_j^n | v(\vec{r}) | w_j^m \rangle \approx V(B_1) S_{ij} \delta_{mn}$$

Tenzor električne reprocione može se definirati kao: $\mu_{ij} = \left(\frac{1}{\hbar^2} \frac{\partial^2 E(\vec{k})}{\partial k_i \partial k_j} \right)$

$$E_{\text{dno}} = E(\vec{k} = \vec{0}), \quad \mu_{ij} = \frac{1}{\hbar^2} \frac{\partial^2 E(\vec{k})}{\partial k_i \partial k_j} \Big|_{\vec{k} = \vec{0}}$$

Jednoduše gibanja za \vec{k} :

(*) i (***) u kvazistohenoj aproksimaciji \rightarrow linearno u \vec{k}

Za slučaj da smo primijenili vanjsko DC polje i oko to pišemo u aproksimaciji efektivne mase:

$$m^* \vec{v}_k = \hbar \vec{k}$$

$$\hbar \dot{\vec{k}} = e \vec{E}$$

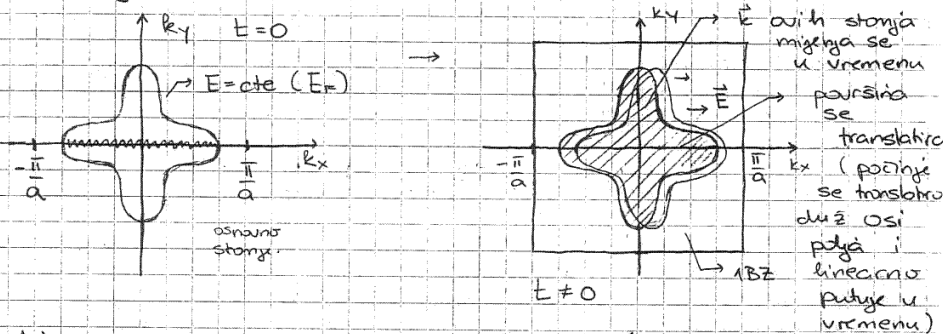
$$\vec{k}(t) - \vec{k}(0) = \frac{e \vec{E}}{\hbar} t \Rightarrow |\vec{k}| \sim t \quad (\text{k raste linearno u vremenu})$$

\rightarrow u vremenu t svaki elektron primijeni impuls za isti iznos.

\rightarrow to je konzistentno s pretpostavkom da \vec{E} me udjeće na pune vrpce (gustota stanja u vrci ostaje sacuvana)

Izgled toga:

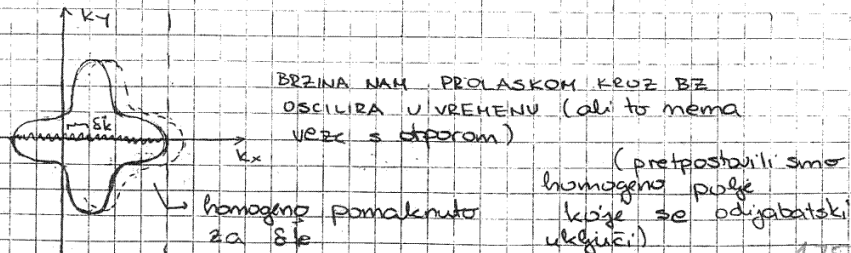
$$\vec{k}(t) = \vec{k}(0) + \frac{e \vec{E}}{\hbar} t$$



Efekt vrpce - okupirana stanja udarit će u nekom trenutku u rub Brillouinove zone i početi ulaziti s druge strane (redukcija na 1 BZ, ili ulaz u 2BZ ako ne gledamo u redukciji na 1BZ) $\Rightarrow \vec{v}$ će oscilirati u vremenu zbog efekta vrpce.

\rightarrow amplituda oscilacija $\rightarrow 0$ kod je vrpca puna ili prazna (simetrija između pune i prazne vrpce) (nema kolektivnog gibanja)

\rightarrow ni prazna ni puna vrpca me vodi



Ukupna brzina svih elektrona:

$$\vec{v} = \frac{1}{V} \left(\frac{Nq}{2\pi} \right)^3 \int \vec{v}_k \psi_k(t) d\vec{k} \sim t \quad f_k(t)$$

\rightarrow kaže kolko se u vremenu mijenja okupirana stanja

\rightarrow kubni kristal s jednim atomom po čvornu. \rightarrow konstantna akceleracija u sistemu u vanjskom polju.

VAŽNO: prostor i dalya ostaje translaciono invarijantan: otpora nema

Kod bismo klasično gledali pojedinačan slobodni elektron (a to ne možemo) imali bismo:

$$x \quad \left. \begin{matrix} v(t) \sim t \\ j \sim v \end{matrix} \right\} \text{Zašto onda otkuro stanje me vodi?}$$

Ali, u našem modelu:

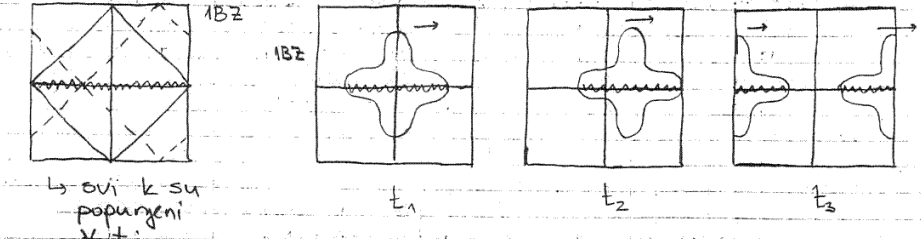
! Struja koju "nosi" 1 elektron je $\sim v_e \rightarrow$ Brzina nije $\sim k$ (impuls vrpce, valni paket \rightarrow u semiklasenom modelu) već $v_k = \frac{1}{\hbar} \frac{\partial E_k}{\partial k}$

$$x \quad \vec{v}(\vec{k}(t)) = \vec{v} \left(\vec{k}(0) + \frac{e \vec{E}}{\hbar} t \right) \quad (*)$$

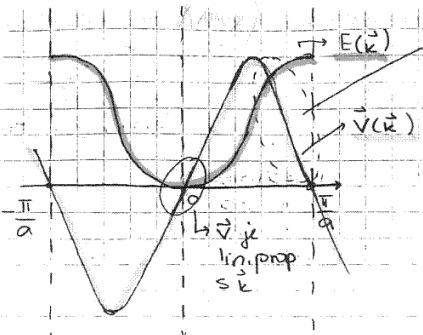
\rightarrow brzina 1 elektrona
 $v(\vec{k})$ je periodička u recipročnoj rešetki $\Rightarrow \vec{v}(\vec{k}(t))$ je vremenski ograničena funkcija i kod je $\vec{E} \parallel$ s vektorom recipročne rešetke oscilatorna

(*) \rightarrow to više nije simetrično popunjeno osim za potpuno punu vrpcu gdje se pomakom ništa ne mijenja u popunjenu

1) potpuno popunjena: 2) djelomično popunjena



\rightarrow prazna i puna vrpca me doprinose transportu (struji)



važno: između svoj maksimuma ruba zone brzina pada s porastom k (akceleracija je suprotna vanjskoj sili).
 To je posljedica temeljnija semiklasične metode na periodičnosti $E(k)$: kod se elektron približi Braggovoj ravnini vanjsko polje ga gura prema nivoima u koje bi došao Braggovom refleksijom.

Kolektivna driftna brzina:

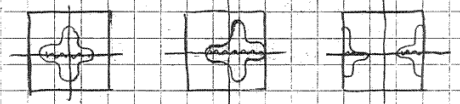
$$\vec{v}_{cm} = \frac{1}{N} \sum_{\vec{k}} \vec{v}(\vec{k}) f(\vec{k})$$

$$= \frac{1}{N} \sum_{\vec{k}} \frac{1}{\hbar} \nabla_{\vec{k}} E(\vec{k}) f(\vec{k})$$

generalizacija brzine centra mase (za FD rasp. (slobodni elektroni) \vec{v} & zaista brzina cm)

Boltzmannova jednačina (raspodjela el. u nerovnotežnim uvjetima) funkcija popunjavanja u vrpce (nije FD) jer bi za nju bilo 0.

Značenje funkcije $f(\vec{k})$:



Poanta ove priče bila je da uključivanje homogene smetnje ne vodi na pojavu električnog otpora R .
 Znači otpor je vezan na odstupanje od translacione invarijantnosti → raspršenja

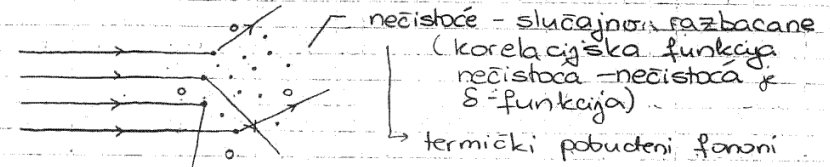
Raspršenjem (na imperfekcijama) se energija usmjerenog gibanja se pretvara u energiju kaotičnog gibanja (Jouleova toplina)

Ovakav sistem ima idealnu vodljivost vrpce (bez gušenja) (* raste \propto u t kod nema ruba vrpce)
 (idealna vodljivost \neq supravodljivost, jer nema efekata u magnetskom polju - tog sistem nebi pokazao Meissnerov efekt u mag. polju)

- ne možemo reći da raspršenje na čvorovima daje električnu vodljivost
- raspršenje na rešetki ne daje električni otpor; radi se o koherentnom raspršenju na sum čvorovima odjednom - to daje vrpce, a ne daje ograničenje na vodljivost (osim oscilacija što se ne može nazvati električnim otporom jer nema disipacije (entropije, generiranja Jouleove topline))
- stvaranje vrpce može uključiti transport, ali me kao otpor → bez razvoja bilo kakve Jaul. topline
- ↳ efekta koherentnaje uloga transport, ali bez ikakve disipacije
- idealna vodljivost bilo bi oscilirajuća (u IBZ) kod ne bi bilo otpora.

Električni otpor nastaje samo odstupanjem od translacione invarijantije (i to u kristalnoj rešetki - kaotičnim odstupanjem) → slučajna, kaotična odstupanja

Tvrđnja: Električni otpor nastaje samo raspršenjem, stohastičkim procesima.



- ↳ raspršuju se na sve strane, jer su nečistoće slučajno razbacane
- ↳ pp. !! raspršenja e^- na neč su elastična (promjena tipa energije)
- ↳ energija sistematskog gibanja (en. gibanja cm) pretvara se u en. kaotičnog gibanja, uređeni elektronski sustav postaje neuređen (kin. en. → unutrašnja energija)

Izvor raspršenja:
 → u oprom nezavisnih elektrona raspršenja proizlaze iz odstupanja od periodičnosti (uglavnom)

- 1) Nečistoće i defekti u kristalu ⇒ točkasti - lokalizirani centar raspršenja
 - linearni i plošni (čak i raspršenje od površine; važno za kristale čiji su dimenzije komparabilne sa srednjim slobodnim putem)
- 2) Intrinzične devijacije zbog termalnih vibracija - fononi
 - ovisi o temperaturi
- 3) Elektron - elektron raspršenje (na visim T nadmašuje ga 2, a na nižim 1)

Nečistoće: uvodimo lokalni potencijal (na stohastičnim mjestima) $V(\vec{r}) = -eER$ ⇒ nečistoća je centar potencijala
 Na nju nailazi elektronski plin s driftom brzinom $\vec{v} = \sum \vec{v}_k f_k$.
 Jedan od elektrona doživljava raspršenje. Nakon dovoljno sudara, brzina \vec{v} eksponencijalno trne ⇒ nečistoće dovode do relaksacije driftne brzine.
 driftna brzina, zbog sudara se brzina gubi

$$\frac{d\vec{v}}{dt} = -\frac{1}{\tau} \vec{v}$$

→ relaksacija; en. gibanja cm prelazi u unutrašnju en.

karakterizira stvaranje Jouleove topline što je def otpora (1/τ mjeri otpor)

- pp smo da je raspršenje elastično (promjena tipa energije, pojava netoča). Vidimo kako elastično raspršenje koje čuva energiju daje električni otpor (vezan uz relaksaciju brzine) Ish B karakterizira i relaksaciju od v^2 , odnosno kinetičke energije.

Ukupna dif. jednačina:

$$(*) \quad m^* \frac{d\vec{v}}{dt} = -\frac{m^*}{\tau} \vec{v} + e\vec{E}$$

jednačina po elektronu (\vec{v} - driftna brzina)
↳ brzina gibanja svih elektrona

τ je prosječno vrijeme između 2 sudara s nečistoćom u kojem električno polje djeluje na elektron, a elektron se poslije sudara ponaša kao da nije imao driftnu brzinu.

Jednačina ima stacionarna rješenja (stac. rj. kod je $\frac{d\vec{v}}{dt} = 0$):

$$\Rightarrow \vec{v} = \frac{e\vec{E}\tau}{m^*} \quad \text{stacionarna brzina elektrona}$$

proporcionalna je vanjskom el. polju

Definiramo gustocu struje:

$$\vec{j} = S_0 e \vec{v} = \frac{S_0 e^2}{m^* \tau} \vec{E} \equiv \sigma \vec{E}$$

$$\sigma = \frac{S_0 e^2}{m^* \tau} \quad \text{elektrona vodljivost,}$$

$$\vec{j} = \sigma \vec{E} \quad \text{OHMOV ZAKON}$$

u prisutnosti vanjskog polja sistemom teče struja

↳ tenzor (u kubičnim kristalima skalar)

$$\begin{cases} m^* \dot{v}_x(t) = eE - \frac{1}{\tau} v_x(t) \\ m^* \dot{v}_y(t) = -\frac{1}{\tau} v_y(t) \end{cases} \quad \text{Na} \Rightarrow \frac{1}{Nel} / m^* \left(\sum \vec{p}_i(t) + \vec{v}_k \right) = Nel e \vec{E} - \frac{1}{\tau} \sum \vec{p}_i v_k$$

$$m^* \frac{\sum \vec{p}_i(t) v_k}{Nel} = e \vec{E} - \frac{1}{\tau} \sum \vec{p}_i v_k$$

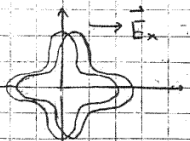
$$v_k(t) = \frac{\hbar}{m^*} k(t) = \frac{\hbar}{m^*} k(0) + \frac{e\vec{E}}{m^*} t$$

$$\Rightarrow (*) \quad m^* \frac{d\vec{v}}{dt} = e\vec{E} - \frac{1}{\tau} \vec{v}$$

- identifikacija vodljivosti za DC struju
- prolazak električne struje kroz žicu generira Jouleovu toplinu (ishodište/uzroci efekta otpora u stohastičkom raspršenju - stohastički neuravnotežena konfiguracija - nečistoće, fononi)

Istovremeno dolazi i do relaksacije kinetičke energije - ona se pretvorila u energiju kaotičnog kolektivnog gibanja.

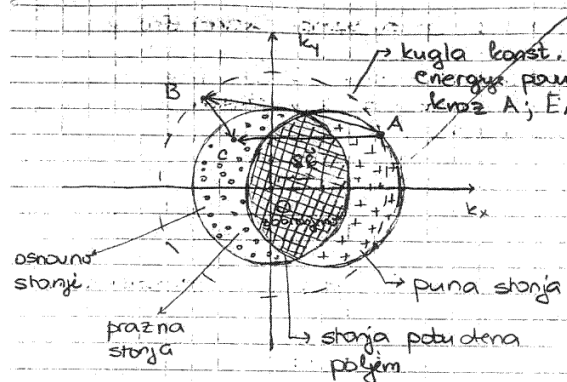
Skica:



- raspodjela se malo pomakne zbog polja
- zbog aprox. efektivne mase to su kugle.
↳ pomak Fermijeve plohe



177



Zbog polja se Fermijeve kugle pomakne za δk . Kod isključivo polje elektroni sudarom procesima prelaze u osnovno stanje (kugla u sredini), ali zbog Pauli principa samo oni blizu Fermi površine (+) prelaze, a ostali miruju. Mogući prijelazi: 1) neelastični proces: elektron iz stanja A priđe u C (na kugli u osn. stanju; emisijom FONONA)

2.) elastično raspršenje na defektu ili nečistoći elektron se iz A rasprši u bilo koje stanje B na kugli konstantne energije E_A i tu je tokvom redistribucijom + -ova totalni impuls = 0 (zbog simetrije E_A , ali samu emisijom fonona može prići u osnovno stanje (B → C)).

Dakle: Elektron je u A, elastično se rasprši i dođe u B. Elastično raspršenje redistribuira zauzeta stanja (+) i time se ukupni impuls smanjuje (zbog simetrije ploha konačnih stanja E_A), ali za povratak u osnovno stanje (iz B u C) potrebna je emisija fonona.

Napomena: driftna brzina je svaka srednja brzina čestica, bez obzira na uzrok (npr. \vec{E} , ∇n (n-koncentracija), itd)

Elastična raspršenja su dovela do toga da su elektroni u svom sustavu podignji T, ali je očito da će se podignuti i temperatura rešetke \Rightarrow Mora \exists mehanizam prijenosa energije s elektronskog sustava na rešetku (odjev energije e^- sustava prema rešetci $\rightarrow e^-$ fonon vezanje)

! Za nastanak električnog otpora nije potrebno neelastično raspršenje!

Primjer: Vremena relaksacije Cu ($1e^-$ atomu u valentnoj vrpci)

Cu (4 K): $\tau \approx 10^{-9}$ s
↳ kod nema fonona
 τ koji dolazi samo od nečistoća
srednji slobodni put $l = v_F \tau \approx 1$ cm

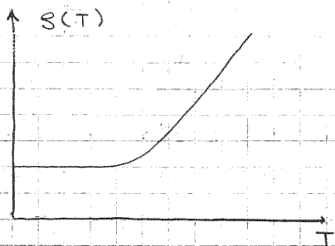
(točnije $\tau_F = 2 \cdot 10^{-9}$ s $l = 0.3$ cm)
Cu (300K): $\tau_F = 10^{-14}$ s $l = 3 \cdot 10^{-6}$ cm
↳ počnu igrati ulogu i (dimenzije) granice uzorka

Ako imamo dva izvora raspršenja npr. fonon i nečistoće
 \Rightarrow frekvencija raspršenja $\frac{1}{\tau} = \frac{1}{\tau_F} + \frac{1}{\tau_{fon}}$ Osigćamo da suma otpora
↳ dok su te frekvencije male je toku
↳ Matthiessenovo pravilo (\Rightarrow otpor je aditivan)

$\frac{1}{\tau_{ph}} \sim A e^{-p} \cdot n_{ph}(T)$ broj fonona na temperaturi T
 elektron-fonon vežanj
 $n_{ph}(T) \sim T$
 (Bose-Einst. rasp.; zakon ekvipartitije)

$S = S_R + AT$
 ↳ rezidualni otpor

Tipično ponašanje električnog otpora (ovisnost o temperaturi u metalima)



(E naravno i odstupanja)
 elektr. se uključuju u seriju, ne u paralelu.

(Reynolds i Stivell)

Mjerenje: ↳ mjerenje otpornosti homogenih filmova Cu i Ag u funkciji debljine filma → 2 komponente:

- sudari u unutrašnjosti
- sudari na površini

⇒ sudari ovisi o debljini: ↳ debili: unutrašnjost
 ↳ tonki: površina (to su tzv. balistički elektroni)

(to je tzv. teorija kombiniranog raspršenja: Fuchs)

(Možeće je napraviti l. do 10 cm. Tad uzmemo $l < 10$ cm i nemamo nečistoća. To je na jako niskim T)

Matthiessenovo pravilo

pp. 2 centra raspršenja koja se mogu razlikovati (npr. nečistoće i fononi)

OTPOR (tj. otpornost): $S \sim \frac{1}{\tau}$ (jer $\tau = \frac{1}{S} = \frac{S_0 \cdot e^2}{m \cdot \tau}$)

- ako prisutnost jednog ne utječe na drugi:

pp. male gustoće - niske temp.
 $\frac{1}{\tau} = \frac{1}{\tau_1} + \frac{1}{\tau_2}$ tj. $\frac{1}{\tau} = \frac{1}{\tau_R} + \frac{1}{\tau_{ph}}$
 ↳ raspr. na nečistoćama

⇒ $S = S^{(1)} + S^{(2)}$

↳ ako τ ne ovisi o k

↳ otpornost je suma paralelnih otpornosti

↳ vrijedi dok su te frekvencije male

Kada je to korisno?

Ako možemo odvojiti procese, npr.:

- a) elastično raspršenje na nečistoći (ne ovisi o T)
- b) elektron-elektron int. $\sim T^2$
- c) elektron-fonon $\tau^{-1} \sim n_{ph} \sim T$

Tada Matt. pravilo predviđa: $S = A + BT^2$, A i B $\neq f(T)$ ako su a) i b) dominantni mehanizmi, odnosno $S = A + BT$ ako su a) i c) dominantni mehanizmi.

Ako τ ovisi o k: $\tau \sim \tau$ & $S \sim \frac{1}{\tau}$, a dobivamo:

Mehanizmi raspršenja nisu više striktno odvojeni, ne vrijedi više Matt. pravilo.

$S = S_1 + S_2 \Rightarrow \frac{1}{\tau} = \frac{1}{\tau_1} + \frac{1}{\tau_2}$, ali paziti $\frac{1}{\tau} \neq \frac{1}{\tau}$

Valjanost zakona. uglavnom za njetke gustoće i niske T.

Gotovo je nemoguće odvojiti mehanizme:

npr. učestalost sudara elektrona ovisi jako o konfiguraciji drugih elektrona, a ona je opet jako osjetljiva na prisutnost centara raspršenja (i nečistoća i fonona pa i elektrona)

(osim ako se slučajno funkcije raspodjela ne podudaraju u oba raspršenja)

No ipak vrijedi nejednakost $S \geq S^{(1)} + S^{(2)}$ → u realnim situacijama

Elektron - fonon vezanje

$$E_{ph} \sim \langle u_k^2 \rangle \sim T$$

↳ u klasičnoj granici (za $T > \theta_{DEBYE}$)

mjera nerada: srednje kvadratno odstupanje od položaja ravnoteže

- raspršenje na termalnim vibracijama rešetke: elektron vidi fluktuirajući potencijal tipa:

$$\delta V = \frac{2}{3} E_F \cdot u$$

$$u^2 = NkT \cdot \beta$$

→ u kvantnoj granici: $\frac{1}{E_{ph}} \rightarrow 0$

elektroni ne vide nulto gibanje!

jer $n_{ph}(T \rightarrow 0) \sim e^{-\frac{\hbar\omega}{k_B T}} \rightarrow 0$

Očekivani broj bozona u i-tom stanju:

Bose-Einstein

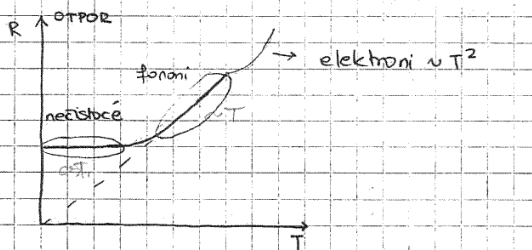
$$n_i = \frac{1}{e^{\beta(\epsilon_i - \mu)} - 1}$$

$$\beta = \frac{1}{k_B T}$$

$$x = \frac{\epsilon_i - \mu}{k_B T} \quad \epsilon_i = \hbar\omega_i$$

za $x \ll 1$ ($T \gg$) $n_i = \frac{1}{e^x - 1} = \frac{1}{1 + x + \dots - 1} \approx x^{-1} \sim T$

za $x \gg 1$ ($T \ll$) $n_i = \frac{1}{e^x - 1} \approx \frac{1}{e^x} = e^{-x} \sim e^{-\frac{\hbar\omega}{k_B T}}$



- drugi mogući doprinosi: spinski valovi

Kako se vežu?

1. "Jellium model" (okvirna skica)

- ako ubacimo vanjski naboj dolazi do odstupanja od homogene raspodjele
- fonon = deformacija \oplus naboj
- uvođenje fonona: megdje smo stihli \oplus pozadinu, megdje razmakli i sve to opisali fiktnom vanjskom gustoćom:

$$S_q^{ext} = S_0 \int \frac{\delta V}{\delta u} = S_0 (E_{xx} + E_{yy} + E_{zz}) = S_0 \cdot \text{div } \underline{u}$$

lokalno na Jelliumu relativna promjena volumena tenzor deformacije apsolutni pomak

$$|\underline{u}| \sim e^{i\vec{q}\cdot\vec{r}} \quad (\text{periodička deformacija})$$

$$\text{div } \underline{u} \sim i\vec{q}\cdot\vec{u}$$

$$V_q^{ext} = \frac{4\pi e^2}{q^2} S_q^{ext} = \frac{4\pi e^2}{q^2} S_0 \cdot i\vec{q}\cdot\vec{u}_q = i \frac{4\pi e^2}{q} u_q$$

↳ Coulombovska pot. energija na probni naboj

[time opisujemo potencijal stisnutih \oplus iona tj. fonon]

$q \cdot u_q^T$ longitudinalna komponenta pomaka (projekcija pomaka na \vec{q})
 u_q - pomak u q -prostoru ($\sim \frac{1}{q}$)

- Transverzalna komponenta pomaka ne daje potencijal ($S_{ext} \rightarrow V_{ext}$)

- samo udumna promjena V proizvodi potencijal!

- Potencijal makupine \oplus iona zasjenje elektroni:

$$V_q^{eff} = \frac{V_q^{ext}}{\epsilon_q(\omega=0)} \sim \frac{1}{q} u_q$$

potencijal vezanja koji vidi elektron

↳ $1 + \frac{k_{TF}^2}{q^2}$ put na kojem se zasjenjuju elektroni
 ↳ gledamo u stohičkoj granici jer su elektronski odzivi puno brži od smetnje (ionster gibanje)

$$V_q^{eff} = \frac{4\pi e^2 S_0}{(1 + \frac{k_{TF}^2}{q^2}) q^2} i \cdot \vec{q} \cdot \vec{u} = \frac{4\pi e^2 S_0}{q^2 + k_{TF}^2} i \cdot \vec{q} \cdot \vec{u}$$

$$\Rightarrow V_q^{eff} \sim \frac{1}{q} \cdot \vec{q} \cdot \vec{u}, \quad |q| \ll k_{TF}$$

↳ Elektron - fonon vezanje

- vežu se samo longitudinalni modovi jer oni vrše sabirganje \oplus pozadine (iona)
- ovo je efektivni potencijal koji vidi elektron (tj. njegova pot. en) (ponaša se kratkodosežnu - vidjet ćemo da ćemo to dobiti i u granici čvrste veze za kratkodosežni sile)

$$V_F \gg V_{ph} \quad \text{fononske frekvencije (akustičke)}$$

(elektroni se gibaju kroz kristalnu rešetku kao da je ona u neredu kojeg one fononi)

Dodatok: Izvod relacije Kittel: Quantum Theory of Solids, str. 107.

$$\langle S_{\vec{q}}(\omega) S_{-\vec{q}}(\omega) \rangle = -\frac{q^2}{4\pi e^2} \text{Im} \frac{1}{\epsilon_{\vec{q}}(\omega)}$$

Analiza dielektričnog odgovora [P. Nozières & D. Pines]

[Kittel 2, Quantum Theory of Solids, str. 107]

Racun dielektrične konstante metodom samkonzistentnog polja je baziran na modelu nezavisnih čestica i samo je aproksimativan.

Sada ćemo naći generalniji izraz za dielektričnu konstantu pomoću matičnih elemenata između EGZAKTNIH SVOJSTVENIH STANJA mnogostaničnog sistema.

Zamislimo da u sistem uvodimo testnu raspodjelu naboga valnog vektora q i frekvencije ω . Gustoću testnog naboga pišemo u obliku:

Smjetnja (*) $e r_q [e^{-i(\omega t + \vec{q} \cdot \vec{x})} + c.c.]$ gdje je r_q realan

U odsutnosti testnog naboga očekivana vrijednost $\langle S_{\vec{q}} \rangle$ operatora fluktuacije gustoće $S_{\vec{q}}$ ($S_{\vec{q}} = \sum_k (c_{k+\vec{q}}^\dagger c_k)$) bit će nula.

U prisutnosti vanjskog naboga $\langle S_{\vec{q}} \rangle \neq 0$

$\text{div } \vec{D} = 4\pi e r_q e^{-i(\omega t + \vec{q} \cdot \vec{x})}$ (gledamo samo za ω die gustoće)

$\text{div } \vec{E} = 4\pi (e r_q e^{-i(\omega t + \vec{q} \cdot \vec{x})} + \langle S_{\vec{q}} \rangle)$

$-i\vec{q} \cdot \vec{D}_q = -i \epsilon(\omega, \vec{q}) \vec{q} \cdot \vec{E}_q = 4\pi r_q e^{-i\omega t}$

$-i\vec{q} \cdot \vec{E}_q = 4\pi e (r_q e^{-i\omega t} + \langle S_{\vec{q}} \rangle)$

$\Rightarrow \frac{1}{\epsilon(\omega, q)} = 1 + \frac{\langle S_{\vec{q}} \rangle}{r_q e^{-i\omega t}}$

Sada računamo $\langle S_{\vec{q}} \rangle$, odgovor sistema na testni naboj: $H = H_0 + H'$

$H_0 = \sum_i \frac{1}{2m} p_i^2 + \sum_{q \neq 0} \frac{2\pi e^2}{q^2} (S_q^\dagger S_q - S_0)$

H' je Coulombova interakcija između sistema i testnog naboga

$H' = e \int d\vec{x} v^{\text{ext}}(\vec{x}) S(\vec{x})$

$H'_k = e V_k^{\text{ext}}(\vec{x}) S_k(\vec{x}) = \frac{4\pi e}{k^2} S_k^{\text{ext}}(\vec{x}) S_k(\vec{x})$

$V_k^{\text{ext}} = \sum_{\vec{k}'} v_{\vec{k}\vec{k}'}^{\text{ext}} e^{i\vec{k}' \cdot \vec{x}}$

$v_{\vec{k}\vec{k}'}^{\text{ext}} = \int d\vec{x}' \frac{e^{-i(\omega t + \vec{q} \cdot \vec{x})}}{|\vec{x} - \vec{x}'|} e \cdot r_q \Rightarrow v_k = \frac{4\pi e}{k^2} S_k^{\text{ext}}$

$S_k^{\text{ext}} = \frac{1}{(2\pi)^3} \int d\vec{x}' e^{-i\vec{k} \cdot \vec{x}'} e^{-i(\vec{q} \cdot \vec{x}' + \omega t)} e r_q \rightarrow (2\pi)^3 \delta(\vec{k} + \vec{q}) e r_q$

$= \frac{e r_q}{(2\pi)^3} e^{-i\omega t} \int d\vec{x}' e^{-i(\vec{k} + \vec{q}) \cdot \vec{x}'} = e r_q e^{-i\omega t} \delta(\vec{k} + \vec{q})$

slučajni naboj na polinom u sv. razvoju gustoće elektrona S_0 (ei. $S_0^\dagger + S_0$) e poništi pa ostane samo interakcija u $S(\vec{x})$

$H'_k = \frac{4\pi e^2}{k^2} S_{-\vec{q}}^\dagger r_q e^{-i\omega t} \delta(\vec{k} + \vec{q})$

$H' = \sum_{\vec{k}} H'_k e^{i\vec{k} \cdot \vec{x}} = \frac{4\pi e^2}{k^2} S_{-\vec{q}}^\dagger r_q e^{-i\omega t} e^{-i\vec{q} \cdot \vec{x}} + c.c.$

$H_{-\vec{q}} = \frac{4\pi e^2}{k^2} S_{\vec{q}}^\dagger r_q e^{-i\omega t + i\vec{q} \cdot \vec{x}} \quad S_{-\vec{q}}^\dagger = S_{\vec{q}} \quad \begin{matrix} s \ll \\ s \gg 0 \end{matrix}$

$H_{\vec{q}} = \frac{4\pi e^2}{k^2} S_{\vec{q}} r_q e^{i\omega t + i\vec{q} \cdot \vec{x}}$ dodamo odigabatski faktor, s malen i pozitivnan

PP. testni naboj dovoljno malen da je odgovor sistema linearan

PP da je sistem početno ($t = -\infty$) u osnovnom stanju ϕ_0 ; u prisutnosti testnog naboga $\phi_0 \rightarrow \phi_0(r_q)$

Vremenski ovisan račun smetnje u 1. redu u Schrödingenovu slici daje:

$\phi_0(r_q) = \phi_0 - \sum_n \frac{4\pi e^2}{q^2} r_q \left(\frac{\langle n | S_{-\vec{q}} | 0 \rangle e^{-i\omega t + i\vec{q} \cdot \vec{x}}}{-\omega + \omega_n - i\epsilon} + \frac{\langle n | S_{\vec{q}} | 0 \rangle e^{i\omega t + i\vec{q} \cdot \vec{x}}}{\omega + \omega_n - i\epsilon} \right)$

Ako uzmemo samo članove prvog reda u $r_q e^{-i\omega t + i\vec{q} \cdot \vec{x}}$

$\langle \phi_0(r_q) | S_{\vec{q}} | \phi_0(r_q) \rangle = -\frac{4\pi e^2}{q^2} r_q e^{-i\omega t + i\vec{q} \cdot \vec{x}} \quad \epsilon_n - \epsilon_0 = \omega_n$

$\sum_n |\langle n | S_{\vec{q}} | 0 \rangle|^2 \left(\frac{1}{\omega + \omega_n + i\epsilon} + \frac{1}{-\omega + \omega_n - i\epsilon} \right)$

$|\langle n | S_{\vec{q}} | 0 \rangle|^2 = |\langle n | S_{-\vec{q}} | 0 \rangle|^2$ (simetrijsko svojstvo)

Imali smo: $\frac{1}{\epsilon(\omega, q)} = 1 + \frac{\langle S_{\vec{q}} \rangle}{r_q e^{-i\omega t}}$ egzaktni rezultat

$\Rightarrow \frac{1}{\epsilon(\omega, q)} = 1 + \frac{4\pi e^2}{q^2} \sum_n |\langle n | S_{\vec{q}} | 0 \rangle|^2 \left\{ \frac{1}{\omega + \omega_n + i\epsilon} + \frac{1}{-\omega + \omega_n - i\epsilon} \right\}$

Svojstvene frekvencije sistema dane su kao kongeni jednodzbe $\epsilon(\omega, q) = 0$, budući je za te frekvencije odgovor ($1/\epsilon$) singularan. Konsteći relaciju

$\lim_{\epsilon \rightarrow +0} \frac{1}{x \pm i\epsilon} = \mathcal{P} \frac{1}{x} \mp i\pi \delta(x)$

za imaginarni dio dobivamo:

$\text{Im} \left(\frac{1}{\epsilon(\omega, q)} \right) = \frac{4\pi^2 e^2}{q^2} \sum_n |\langle n | S_{\vec{q}} | 0 \rangle|^2 [\delta(\omega + \omega_n) - \delta(\omega - \omega_n)]$

Integriranjem preko svih pozitivnih frekvencija ω :

$\int_0^\infty d\omega \text{Im} \left(\frac{1}{\epsilon(\omega, q)} \right) = -\frac{4\pi^2 e^2}{q^2} \sum_n |\langle n | S_{\vec{q}} | 0 \rangle|^2 = -\frac{4\pi^2 e^2}{q^2} \langle 0 | S_{\vec{q}}^\dagger S_{\vec{q}} | 0 \rangle = -\frac{4\pi^2 e^2}{q^2} \sum_n |\langle n | S_{\vec{q}} | 0 \rangle|^2$

! napomena: stanja koja se koriste kao baza u izvodu su stvarna svojstvena stanja sistema koja uključuju i unutrašnje interakcije.

Očekivana vrijednost energije Coulombove interakcije u osnovnom stanju je:

$$E_{int} = \langle 0 | \sum_q \frac{2\pi e^2}{q^2} (S_q^\dagger S_q - n) | 0 \rangle$$

10) nesmetano osnovno stanje

što možemo napisati kao:

$$E_{int} = - \sum_q \left\{ \frac{1}{2\pi} \int_0^\infty d\omega \operatorname{Im} \left(\frac{1}{\epsilon(q, \omega)} \right) + \frac{2\pi m e^2}{q^2} \right\}$$

$n = S_0$

→ ovaj izraz formalno daje kulonovu energiju egzaktnog osnovnog stanja pomoću imaginarnog dijela dielektričnog odgovora

Totalna energija egzaktnog osnovnog stanja:

Teorem: Neka je dan hamiltonijan: $H = H_0 + g H_{int}$; g = konstanta vezanja
 H_0 = kinetička energija

i meka je: $E_{int}(g) = \langle \phi_0(g) | g H_{int} | \phi_0(g) \rangle$

Onda je egzaktna vrijednost totalne energije osnovnog stanja

$$E_0(g) = \langle \phi_0(g) | H_0 + g H_{int} | \phi_0(g) \rangle$$

dana sa:

$$E_0(g) = E_0(0) + \int_0^g g^{-1} E_{int}(g) dg$$

Dokaz: $\frac{dE_0}{dg} = g^{-1} E_{int}(g) + E_0(g) \frac{d}{dg} \langle \phi_0(g) | \phi_0(g) \rangle$

= 1

$E_0(g)$ je egzaktna sv. vr. (jer je normalizacija meovisna o g)
 $\phi_0(g)$ je egzaktna sv. funkcija

→ Imamo specijalni slučaj Feynmanovog teorema:

$$\frac{dE_0}{dg} = g^{-1} E_{int}(g) \Rightarrow E_0(g) = E_0(0) + \int_0^g g^{-1} E_{int}(g) dg$$

Za elektronski plin energija osnovnog stanja po jedinici volumena bez Coulombove interakcije je:

$$E_0(0) = \frac{3}{5} n \epsilon_F \quad n = \frac{N}{V} \rightarrow \text{br. } e^- \text{ po jedinici volumena.}$$

$$E_0(0) = \langle \phi(0) | H_0 | \phi(0) \rangle$$

$$|\phi(0)\rangle = |k_1\rangle, \dots, |k_N\rangle \quad \text{nezavisni } e^- \text{ (neinteragirajući)}$$

=> produktna valna funkcija
 $\langle \mathbf{k} | \mathbf{k}' \rangle = \frac{1}{\sqrt{V}} e^{i(\mathbf{k}' - \mathbf{k}) \cdot \mathbf{r}}$

$$E_0(0) = - \frac{\hbar^2}{2m} \sum_{\mathbf{k}} \langle \mathbf{k} | \nabla^2 | \mathbf{k} \rangle \cdot |\mathbf{k}\rangle \quad H_0 = - \frac{\hbar^2}{2m} \sum_{\mathbf{k}} \nabla_{\mathbf{k}}^2$$

$$= \frac{\hbar^2}{2m} \frac{1}{V} \sum_{\mathbf{k}} k_i^2 = \frac{\hbar^2}{2m} \frac{1}{(2\pi)^3} 4\pi \int_0^{k_F} dk k^2 \cdot k^2 = \frac{\hbar^2}{2m\pi^2} \frac{k_F^5}{5}$$

stanja su popunjena do k_F (ϵ_F), u svakom stanju 2 e^- (od spina)

$$N = \sum_{\mathbf{k}} 1 = \frac{V}{(2\pi)^3} 2 \cdot 4\pi \int_0^{k_F} k^2 dk = \frac{V}{\pi^2} \frac{k_F^3}{3} \Rightarrow n = \frac{N}{V} = \frac{k_F^3}{\pi^2 \cdot 3}$$

$$\Rightarrow E_0(0) = \frac{\hbar^2}{2m} \frac{k_F^2}{5} \cdot 3n = \frac{3}{5} n \epsilon_F$$

Konstanta vezanja je $g = e^2$ pa iz prethodno navedenih relacija možemo naći totalnu energiju u prisutnosti kulonove interakcije.

Imali smo izraz za $\operatorname{Im} \left(\frac{1}{\epsilon(q, \omega)} \right)$:

$$\operatorname{Im} \left(\frac{1}{\epsilon(q, \omega)} \right) = \frac{4\pi^2 e^2}{q^2} \sum_n \langle n | S_q | 0 \rangle^2 \left[\frac{1}{2\pi} \int dt \frac{e^{i(\omega + \omega_n)t} - e^{-i(\omega - \omega_n)t}}{t} \right]$$

= $\langle n | S_q^\dagger | 0 \rangle^2 = \langle n | S_{-q} | 0 \rangle^2$

Ali S -funkcije prikazemo u integralnoj reprezentaciji:

$$= \frac{4\pi^2 e^2}{q^2} \frac{1}{2\pi} \int_{-\infty}^{\infty} dt \sum_n \langle 0 | S_q | n \rangle \langle n | S_q^\dagger | 0 \rangle e^{i\omega n t} \left\{ e^{i\omega t} - e^{-i\omega t} \right\}$$

$S_q(t) = e^{iH_0 t} S_q e^{-iH_0 t} \quad e^{iH_0 t} | n \rangle = e^{i\epsilon_n t} | n \rangle$

$$= \frac{4\pi^2 e^2}{q^2} \frac{1}{2\pi} \int_{-\infty}^{\infty} dt \sum_n \langle 0 | S_q(0) | n \rangle \langle n | S_q^\dagger(t) | 0 \rangle e^{-i\omega n t} e^{i\omega t} e^{-i\epsilon_n t}$$

$\sum_n |n\rangle \langle n| = 1$

$$= \frac{4\pi^2 e^2}{q^2} \frac{1}{2\pi} \int_{-\infty}^{\infty} dt \langle 0 | S_q(0) S_q^\dagger(t) | 0 \rangle (e^{i\omega t} - e^{-i\omega t})$$

$$= \frac{4\pi^2 e^2}{q^2} \sum_{ij} \frac{1}{2\pi} \int dt (e^{i\omega t} - e^{-i\omega t}) \langle e^{-i\mathbf{q} \cdot \mathbf{x}_i(0)} e^{i\mathbf{q} \cdot \mathbf{x}_j(t)} \rangle (e^{i\omega t} - e^{-i\omega t})$$

$$S(\omega, \mathbf{q}) = \sum_{ij} \frac{1}{2\pi} \int dt e^{-i\omega t} \langle e^{-i\mathbf{q} \cdot \mathbf{x}_i(0)} e^{i\mathbf{q} \cdot \mathbf{x}_j(t)} \rangle$$

$$S(\omega, \mathbf{q}) = \frac{1}{2\pi} \int dt e^{-i\omega t} \langle S_q(t) S_q^\dagger(0) \rangle = \sum_n \langle n | S_q^\dagger | 0 \rangle^2 S(\omega - \omega_n)$$

$$\Rightarrow \operatorname{Im} \left(\frac{1}{\epsilon(q, \omega)} \right) = \frac{4\pi^2 e^2}{q^2} [S(-\omega, \mathbf{q}) - S(\omega, \mathbf{q})] \quad \frac{S(\omega, \mathbf{q})}{S(\omega, -\mathbf{q})} = S(\omega, -\mathbf{q})$$

$$= \frac{4\pi^2 e^2}{q^2} S(\omega, \mathbf{q}) (e^{-\beta\hbar\omega} - 1)$$

$$T=0 \Rightarrow \operatorname{Im} \left(\frac{1}{\epsilon(q, \omega)} \right) = \begin{cases} -\frac{4\pi^2 e^2}{q^2} S(\omega, \mathbf{q}) & \omega > 0 \\ 0 & \omega < 0 \end{cases}$$

$$S(\mathbf{q}, \omega) = \langle S_q(\omega) S_{-\mathbf{q}}^\dagger(\omega) \rangle$$

$$\operatorname{Im} \epsilon = - \frac{1}{2} \sum_{\mathbf{q} \neq 0} \frac{4\pi e^2}{q^2} (S_{\mathbf{q}} S_{-\mathbf{q}}^\dagger - S_0)$$

$$\operatorname{Im} \epsilon = \dots$$

Drudeova teorija metala

Ashcroft / Mermin str. 21.

DC ELEKTRICNA VODLJIVOST METALA

Ohmov zakon $V = I \cdot R$ $R = \frac{l}{S \cdot \sigma}$



$\vec{E} = S \cdot \vec{j}$ (generalno \vec{E} i \vec{j} ne mogu biti paralelni, onda se definira tenzor vodljivosti $E_i = S_{ij} j_j$)

n elektrona po jedinici volumena i svi se gibaju brzinom $\vec{v} \Rightarrow$ porast gustobe struje $\parallel \vec{v}$

$\vec{j} = ne\vec{v}$ (*), $e = -|e|$

U bilo kojoj točki metala elektroni se gibaju u različitim smjerovima sa različitim termalnim energijama. Netto struja (*) bit će dana srednjom elektronskom brzinom. U odsutnosti električnog polja gibanje elektrona u bilo kojem smjeru je jednako vjerovatno, pa je prosjek brzine nula (kao što je i za očekivano u odsutnosti polja nema gustobe struje). U prisutnosti polja postoji neka srednja brzina u smjeru suprotnom polju (naboj elektrona je negativan) koja se može izračunati na sljedeći način:

Razmotrimo neki elektron u vremenu $t = 0$. Neka je unjeme t unjeme koje je prošao od nekog zadnjeg sudara. Njegova brzina u vremenu nula bit će brzina v_0 koju je imao odmah nakon sudara plus dodatna brzina eEt/m koju je dodatno zadržati. Pošto pretpostavljamo da elektron iz svakog sudara izlazi u proizvoljnom (nesumičnom) smjeru nema doprinosa od v_0 srednjoj elektronskoj brzini koja stoga mora biti dana u potpunosti sa srednjom vrijednošću od $-eEt/m$. Ali, srednja vrijednost od t je relaksacijsko vrijeme τ . Stoga

$\vec{v} = \frac{eEt}{m}$ $\vec{j} = \left(\frac{ne^2\tau}{m}\right) \vec{E}$ $\sigma = \frac{1}{\rho}$

$\vec{j} = \sigma \cdot \vec{E}$ $\sigma = \frac{ne^2\tau}{m}$

TERMALNA VODLJIVOST METALA



Najimpresivniji uspjeh Drudeovog modela je objašnjenje empiričkog Wiederman - Franzovog zakona (1853). Drudeov model pretpostavlja da termalnu struju u metalu nose odijelni elektroni. Pretpostavka se bazira na empiričkom opažanju da metali puno bolje vode toplinu od izolatora. Stoga je termalna vodljivost ionima (oni mogu vibrirati oko ravnotežnog položaja što vodi na transmisiju termalne energije u obliku elastičnog vala koji se propaga kroz mrežu iona) koja je prisutna i u metalima i u izolatorima puno manje važna od termalne vodljivosti vodljivim elektronima.



termalna energija teče u smjeru suprotnom od ∇T

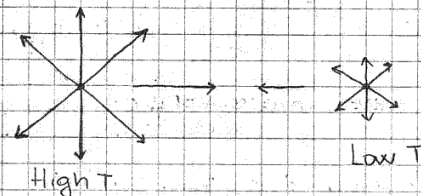
Ako dovodimo toplinu na toplije kraj istom brzinom kojom ona obje možemo uspostaviti stacionarno stanje u kojem su prisutni i temperaturni gradijent i uniformni tok termalne energije. Definiramo gustocu termalne struje \vec{w} kao vektor paralelan smjeru toka topline:

$\vec{w} = -K \nabla T$ (Fourierov zakon)

$K \equiv$ termalna vodljivost, $K > 0$ jer termalna struja teče u smjeru suprotnom temperaturnom gradijentu

$w = -K \frac{dT}{dx}$ $\vec{j} = 0$

- nakon svakog sudara elektron izlazi van s brzinom prikladnom lokalnoj temperaturi; što je toplije mjesto sudara to izlazi elektron ima veću energiju. Zbog toga, iako srednja brzina elektrona u točki može iščeznuti (za razliku od slučaja kod teče električna struja) elektroni koji stižu u točku sa strane više temperature će imati višu energiju od onih koji stižu u točku sa strane niže temperature što vodi do netto toka termalne energije prema strani niže temperature.



Promatramo pojednostavljeni 1D model u kojem se elektroni mogu gibati samo duž x-osi, tako da u točki x pola elektrona dolazi sa strane više temperature, a pola elektrona sa strane niže temperature.

Ako je $\epsilon(T)$ termalna energija po elektronu u metalu u ravnoteži na temperaturi T , onda će elektron koji je pretrpio zadnji sudar u x' u prosjeku imati termalnu energiju $\epsilon(T[x'])$. Elektroni koji stižu u x sa strane više temperature će u prosjeku imati svoj zadnji sudar u $x - v\tau$ stoga nose termalnu energiju po elektronu $\epsilon(T[x - v\tau])$. Njihov doprinos gustobji termalne struje u x će biti:

$\frac{n}{2} v \epsilon(T[x - v\tau])$ njihova energija
brz. toku ih e po jedinici volumena

Ši druge strane elektroni koji stižu u x sa strane niže temperature će doprinost sa:

$\frac{n}{2} (-v) \epsilon(T[x + v\tau])$ budući da putuju u smjeru negohune x-osi,

$\Rightarrow w = \frac{1}{2} n v [\epsilon(T[x - v\tau]) - \epsilon(T[x + v\tau])]$

z pp. da je varijacija temperature duž srednjeg slobodnog puta ($l = v\tau$) jako mala možemo prethodni izraz razviti oko x :

$$\begin{aligned} \varepsilon(T[x - v\tau]) &= \varepsilon\left(T(x) - v\tau \frac{\partial T}{\partial x} + \dots\right) \\ &\approx \varepsilon(T(x)) - \frac{\partial \varepsilon}{\partial T} v\tau \frac{\partial T}{\partial x} \end{aligned}$$

$$\varepsilon(T[x + v\tau]) \approx \varepsilon(T(x)) + \frac{\partial \varepsilon}{\partial T} v\tau \frac{\partial T}{\partial x}$$

$$\Rightarrow \left[W = n v^2 \tau \frac{d\varepsilon}{dT} \left(-\frac{dT}{dx}\right) \right]$$

3D slučaj: U ravnoteži je raspodjela temperatura izotopna. Korekcije zbog temperaturnog gradijenta su izuzetno male.

$$\Rightarrow \langle v_x^2 \rangle = \langle v_y^2 \rangle = \langle v_z^2 \rangle = \frac{1}{3} v^2$$

→ zomjena v sa x -komponentom elektronske brzine \vec{v}

$$n \frac{d\varepsilon}{dT} = \frac{N}{V} \frac{d\varepsilon}{dT} = \frac{1}{V} \left(\frac{d\varepsilon}{dT} \right) = C_V$$

$$\Rightarrow \vec{W} = \frac{1}{3} v^2 \tau C_V (-\nabla T) \Rightarrow \left[K = \frac{1}{3} v^2 \tau C_V = \frac{1}{3} l v C_V \right]$$

v^2 je srednja kvadratna elektronska brzina.

Primjedbe: Govorimo vrlo fleksibilno o termalnoj energiji pr elektrona koju nosi određena skupina elektrona, što se može preciznije definirati. Također nemarno zovnjegemu veličine sa njihovim termalnim prosjecima u različitim smjerovima izvoda. Također oko termalna energija pr elektrona ovisi o smjeru iz kojeg oni dolaze onda ovisi njihova prosječna brzina, budući to također ovisi o temperaturi na mjestu zadnjeg sudara, a mi uzimamo da su te brzine u oba smjera istog iznosa. (Taj previd se pokri sa drugim previdom u izvodu, pa je rezultat jako blizu pravoga u određenim uvjetima)

$$\frac{K}{\tau} = \frac{1}{3} C_V m v^2 \quad \text{rezultat neovisan o „misterioznom“ } \tau$$

Drude to primjenjuje na klasični idealni plin:

$$E = N \cdot \frac{3}{2} k_B T \quad C_V = \frac{3}{2} n k_B \quad \frac{1}{2} m v^2 = \frac{3}{2} k_B T$$

$$\Rightarrow \frac{K}{\tau} = \frac{3}{2} \left(\frac{k_B}{e} \right)^2 T \quad \Rightarrow \frac{K}{\tau T} = \frac{3}{2} \left(\frac{k_B}{e} \right)^2$$

185

Zakoni za klasični idealni plin ne mogu se primjenjivati na elektronski plin. Drudeov impresivni uspjeh je posljedica faktora duže pogreške i duže greške se dokinu: na sobnoj temperaturi stvarni elektronski doprinos specifičnoj toplini je oko 100 puta manji od klasičnih predviđanja, ali je srednja vrijednost kvadrata elektronske brzine oko 100 puta veća

↳ razmotranje korektnije teorije kvantnih termalnih svojstava slobodnog elektronskog plina: Sommerfeldov teorija metala (semiklasična)

Računski smo termalnu vodljivost zanemarujući sve manifestacije temperaturnog gradijenta osim činjenice da energija grupe elektrona ovisi o mjestu njihova zadnjeg sudara. Ali ako elektroni izlaze iz sudara sa većom energijom onda u malim i veću brzinu ⇒ čini se da i brzina v ovisi o mjestu zadnjeg sudara, a mi smo to zanemerali. Istina je da će nakon što je primjenjen temperaturni gradijent postojati neisčezavajuća srednja elektronska brzina usmjerena prema području niže temperature. Budući su elektroni nabijeni ta ta brzina rezultirati električnom strujom. Međutim mjerenja termalne vodljivosti se izvode na otvorenom kraju gdje nema toka električne struje. Stoga će električna struja teći samo dok se dovoljno naboja ne skupi na površini uzorka i struja retardirano električno polje koje se pohva i dugoj akumulaciji naboja i prečimo dokline efekt temperaturnog gradijenta na srednju elektronsku brzinu.

↳ razmotrimo dugi fizikalni efekt: Temperaturni gradijent u dugom tankom vodiču mora biti popraćen električnim poljem u smjeru suprotnom temperaturnom gradijentu. Egzistencija takvog električnog polja (termoelektrično polje) naziva se Seebeck efekt: $\vec{E} = Q \nabla T$ tako se konvencionlno pi-

$Q \rightarrow$ termospoj

1D model, srednja brzina elektrona u točki x zbog ∇T :

$$v_a = \frac{1}{2} [v(x - v\tau) - v(x + v\tau)] = -v\tau \frac{dv}{dx} = -v\tau \frac{d}{dx} \left(\frac{v^2}{2} \right)$$

Generalizacija na 3D: $v^2 \mapsto v_x^2 \quad \langle v_x^2 \rangle = \langle v_y^2 \rangle = \langle v_z^2 \rangle = \frac{1}{3} v^2$

$$\Rightarrow \vec{v}_a = -\frac{v}{6} \frac{dv^2}{dT} (\nabla T)$$

Srednja brzina zbog električnog polja je: $\vec{v}_E = -\frac{e E \tau}{m}$

Da bismo imali

$$\vec{v}_a + \vec{v}_E = 0 \Rightarrow Q = - \left(\frac{1}{3e} \right) \frac{d}{dT} \frac{m v^2}{2} = - \frac{3e}{2}$$

→ rezultat neovisan o τ .

Drude \mapsto neprikladno: $C_V = \frac{3nk_B}{2} \Rightarrow Q = -\frac{k_B}{2e} = -0.43 \times 10^4 \text{ volt/K}$ (optička klasična stat. mehanika)

↳ opozene metlne termospoje na sobnoj temperaturi su za faktor 100 manje ⇒ neadekvatnost klasične statističke mehanike u opisu e^- plina.

Sommerfeld

Fononi u metalima (u jelliumu)

Da bismo dobili egzaktni rezultat moramo gibanje ionskog lanca priključiti i elektron-ion interakciju.
(Bez toga vibracije su predstavljene normalnim modovima, N čestica mase M i naboja Ze)

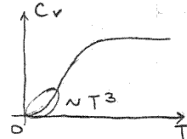
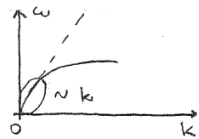
Model: pp da \oplus ioni čine plazmu poput elektronske (nema onih opruga među njima, djelovanje Coulomb. sile)
Analogno frekvenciji elektronske plazme, u dugovalnom limesu dobije se tada za ione:

$$\underbrace{\Omega_p^2}_{\text{frekvencija "ionske plazme"}} = \frac{4\pi S_i (Ze)^2}{M} = \frac{Zm}{M} \underbrace{\omega_p^2}_{\text{"elektronska"}}, \quad \rightarrow \text{najvini zaključak}$$

$S_i = n_i e$

$$\omega_p^2 = \frac{4\pi e^2 S_e}{m} \quad \text{supstitucija: } \begin{matrix} m \rightarrow M \\ S_e \rightarrow S_{ion} = \frac{S_e Z}{Z} \\ e \rightarrow Z \cdot e \end{matrix}$$

Rezultat nije zadovoljavajući: frekvencija (u dugovalnom limesu) normalnih modova monoatomne Bravaisove rešetke mora biti $\omega \sim |k|$ (za $k \ll$) (to je eksperimentalno pokazano u članu T³ iz Cv)



($\omega \sim k, \omega \sim k, \omega \sim k, \omega \sim k$)

Želimo u biti mikroskopskom fizikalnom slikom interakcija reproducirati rezultat dobiven modelom "opruga" (oprox. 1. susjeda), a to je za svaki $k \ll \omega \sim k$ (što je eksperiment proučeno).
Kao prvo, model s oprugama pretpostavlja kratkodosežne sile (oprox. 1. susjeda), a Coulombske sile među \oplus ionima to nisu \Rightarrow ∇
 \rightarrow znači esencijalno je uvesti elektron-ion interakciju! (da se nekako spasimo)

U razmatranje važno je uvesti adijabatsku aproksimaciju:

Pretpostavke aproksimacije:

Veza ionskog i elektronskog gibanja vrlo je važna jer je raspored elektrona (tj. njihov doprinos ukupnoj energiji kristala) ovisan o položaju iona \Rightarrow deformacijom ionskog lanca deformira se i elektronska valna funkcija

ako to proračunati? Uvodimo adijabatsku aprox.: tipične brzine elektrona \gg od tipičnih ionskih brzina \Rightarrow elektroni stignu popuniti ionske potencijalne rupe i smjestiti se u osnovno stanje.

$$v_F \approx 10^8 \text{ cm s}^{-1}, \quad v_s \approx 10^5 \text{ cm s}^{-1}$$

Zbog toga što se ioni gibaju vrlo sporo na skali brzina relevantnoj elektronskoj može se pretpostaviti da će u svakom trenutku elektroni biti u osnovnom stanju koje dopušta dana ionska konfiguracija, a deformira se samo elektronska valna funkcija (dok energija (valja) ostaje približno etc. osim u 2. redu računa smetnje)

Kako to matematički izgleda?

Hamiltonijan sustava elektron-fonon

$$H = \underbrace{-\sum_l \frac{\hbar^2}{2M} \frac{\partial^2}{\partial \mathbf{r}_l^2}}_{E_{kin}} + \underbrace{\sum_{i < j} \frac{e^2}{|\mathbf{r}_i - \mathbf{r}_j|}}_{\text{elektron-elektron interakcija}} + \underbrace{V(\vec{u}, \vec{r})}_{\text{elektron-ion interakcija}} + \underbrace{G(\vec{u})}_{\text{ion-ion interakcija}}$$

Pretpostavljamo valnu funkciju:

$$\Psi = \varphi(\vec{u}, \vec{r}) \cdot \phi(\vec{u})$$

Zadovoljava Schr. jedn. za statičku rešetku

$$\left\{ -\sum_l \frac{\hbar^2}{2m} \frac{\partial^2}{\partial \mathbf{r}_l^2} + \sum_{l < j} \frac{e^2}{|\mathbf{r}_l - \mathbf{r}_j|} + V(\vec{u}, \vec{r}) \right\} \varphi(\vec{u}, \vec{r}) = E_e(\vec{u}) \varphi(\vec{u}, \vec{r})$$

- to je višeelektronska funkcija
- recimo da su rješenja skup kvazičestičnih nivoa $E_e(\vec{u})$

Kompletna Sch. jednačina:

$$\begin{aligned} H\Psi &= -\sum_l \frac{\hbar^2}{2M} \frac{\partial^2}{\partial \mathbf{u}_l^2} \Psi + (E_e(\vec{u}) + G(\vec{u})) \Psi \\ &= \varphi(\vec{u}, \vec{r}) \left\{ -\sum_l \frac{\hbar^2}{2M} \frac{\partial^2}{\partial \mathbf{u}_l^2} + E_e(\vec{u}) + G(\vec{u}) \right\} \phi(\vec{u}) + \\ &+ \left\{ -\sum_l \frac{\hbar^2}{M} \frac{\partial \phi}{\partial \mathbf{u}_l} \frac{\partial \varphi}{\partial \mathbf{u}_l} - \sum_l \frac{\hbar^2}{2M} \phi \frac{\partial^2 \varphi}{\partial \mathbf{u}_l^2} \right\} \end{aligned}$$

u ovom članu je problem!

Kod njega ne bi bilo stvar bi se svela na rješavanje jednačine

$$\left\{ -\sum_l \frac{\hbar^2}{2M} \frac{\partial^2}{\partial \mathbf{u}_l^2} + E_e(\vec{u}) + G(\vec{u}) \right\} \phi(\vec{u}) = E \phi(\vec{u})$$

\rightarrow energija osnovnog stanja el. plina postaje dodatni potencijal u $S_0 E_0$ za fonone!

\rightarrow to je jednačina za valnu funkciju samih iona ali sadrži energiju elektrona!

Čini se kao da rješavamo dinamički problem jednostavnim ubacivanjem energije elektronskog sistema u ovisnosti o \vec{r} to je adijabatski doprinos do kojeg je došlo jer elektroni stignu gibanje rešetke.

Zašto iščežavaju nediagonalni članovi?

ϕ prikazemo preko $\langle \phi | \dots | \phi \rangle$ (sine potpun skup stanja)

$$\int \phi^* \frac{\partial \phi}{\partial u_e} \cdot d\vec{r} = \frac{1}{2} \frac{\partial}{\partial u_e} \int \phi^* \phi d^3r = \frac{1}{2} \frac{\partial n_e}{\partial u_e}$$

↳ dijagonalni član iščežava $\langle \phi | \frac{\partial}{\partial u_e} | \phi \rangle$

$$\int \phi^* \frac{\hbar^2}{2M} \frac{\partial^2 \phi}{\partial u_e^2} d\vec{r} = - \int \phi^* \frac{\hbar^2}{2M} \frac{\partial^2 \phi}{\partial r_i^2} d\vec{r} = - \frac{m}{M} \int \phi^* \frac{\hbar^2}{2m} \frac{\partial^2 \phi}{\partial r_i^2} d\vec{r}$$

↳ to radi jer smo pp. aprox. čvrste veze $\phi(u_e, r_i) = \phi(\vec{r}_i - \vec{u}_e)$

$\frac{m}{M} \sim 10^{-4} - 10^{-5}$, a to je zanemarljivo u usporedbi s termalnom energijom.

Ovim smo eliminirali samo dijagonalne elemente. Nediagonalni elementi $\partial \phi / \partial u_e$ opisuju prijelaze među elektronskim stanjima tj. elektron-fonon interakcija. Ti članovi daju popravke u 2. redu računa smetnje. Time je objašnjena odijabatska aproksimacija.

Kako gibanje elektrona utječe na ionski potencijal?

Promjena položaja iona uzrokuje da se elektronski plin tako pomakne da zasjeni novonastalo ionsko polje. Time se anulira dugodosežnost ionskog polja → ono postaje kratkodosežno → to ujetuje linearnost disperzijske relacije farona s malim \vec{k} (to smo u biti željeli postići da opravdamo "model opruga", $\frac{1}{\epsilon(\vec{k})} \sim \frac{1}{\epsilon(0)}$)

Proračun ionske frekvencije: Uvedimo neki vanjski potencijal (to je pojednostavljenje da ne moramo voditi računa o diskretnosti rešetke i simetriji v.v. u \vec{k} prostoru) → elektroni ga zasjene za $1/\epsilon(\vec{k})$ → elektronska dielektrična konstanta.

Frekvenciju koju smo dobili iz normalnih modova "ionske plazme" naprosto zasjenimo:

$$\Omega_p^2 = \frac{Zm}{M} \omega_p^2 \rightarrow \frac{Zm}{M} \frac{\omega_p^2}{\epsilon(\vec{k})}$$

To je OK jer je $\omega^2(\vec{k}) \sim$ sila tj. polju, a ono je zasjenjeno.

Za $k \rightarrow 0$

$$\epsilon(\vec{k}) = 1 + \frac{k_{TF}^2}{k^2} \quad (\text{statički slučaj, } \omega \ll qv_F)$$

$$\omega(\vec{k}) \approx \sqrt{\frac{Zm}{M} \frac{\omega_p^2}{k_{TF}^2}} \cdot |\vec{k}| \quad \text{linearno!}$$

u $|\vec{k}|$ tj. $\omega = v_s \cdot k$

brzina zvuka $= v_s$

$$v_F = \frac{\hbar k_F}{m} \quad v_s = \frac{m k_F}{\hbar^2 \pi^2}$$

$$k_{TF}^2 = \frac{4\pi e^2 m k_F}{\hbar^2 \pi^2}, \quad n_e = \frac{k_F^3}{3\pi^2}, \quad v_s^2 = \frac{1}{3} Z \frac{m}{M} \cdot v_F^2$$

Bohm-Staverova relacija

Iz ovog možemo procijeniti i omjer:

$$\frac{v_D}{v_F} = \frac{\hbar v_s k_D / k_B}{\frac{1}{2} \hbar k_F v_F / k_B} = \frac{2 k_D}{k_F} \frac{v_s}{v_F} \approx \frac{v_s}{v_F}$$

$v_D \Rightarrow$ sobna temp $T_F \sim 10^4$ K
↑ to su temp. na kojima uvijek ta relacija

Proračun dielektrične konstante

Sada vanjski potencijal zasjenjuju i ioni i elektroni.

$$\phi_{\text{ukupni}} = \frac{\phi_{\text{ext}}}{\epsilon} \Rightarrow \phi_{\text{ext}} = \epsilon \cdot \phi_{\text{ukupni}} \quad (*)$$

↳ to je definicija totalne diel. funkcije; ϵ je faktor proporcionalnosti između totalnog polja u metalu i vanjskog polja.

Povezujemo ϵ - ukupnu dielektričnu konstantu sa ϵ^{el} (el. plin) i ϵ^{ion} (elektroni)

ϵ^{ion} ili $\epsilon^{\text{ion}}_{\text{zas}}$
↳ goti ioni ↳ zasjenjeni ioni

Promatramo kao da su u metalu samo elektroni stavljeni u dva eksterna potencijala: vanjski + ionski

$$\begin{aligned} \delta \epsilon^{\text{el}} &= \left(\frac{1}{\epsilon^{\text{el}}} - 1 \right) (\phi_{\text{ext}} + \delta \phi^{\text{ion}}) && \text{ukupna vanjska} \\ &&& \text{gustoća koju} \\ &&& \text{elektroni vide} \\ \delta \epsilon^{\text{ion}} &= \left(\frac{1}{\epsilon^{\text{ion}}} - 1 \right) (\phi_{\text{ext}} + \delta \epsilon^{\text{el}}) && (\text{smetnja + inducirana} \\ &&& \text{ionska}) \\ \delta \epsilon^{\text{ukupni}} &= \delta \epsilon^{\text{el}} + \delta \epsilon^{\text{ion}} = \left(\frac{1}{\epsilon^{\text{ukupni}}} - 1 \right) \phi_{\text{ext}} \\ \epsilon^{\text{el}} \phi_{\text{ukupni}} &\equiv \phi_{\text{ext}} + \phi^{\text{ion}} && (1) \end{aligned}$$

promatramo: $\epsilon^{\text{ion}} \phi_{\text{ukupni}} = \phi_{\text{ext}} + \phi^{\text{el}}$ (2)
same ione

Zbrojimo (1) : (2) i uključimo (*):

$$\begin{cases} \epsilon^{\text{ion}} \phi_{\text{ukupni}} = \phi_{\text{ext}} + \phi^{\text{el}} \\ + \epsilon^{\text{el}} \phi_{\text{ukupni}} = \phi_{\text{ext}} + \phi^{\text{ion}} \\ - \epsilon \phi_{\text{ukupni}} = \phi_{\text{ext}} \end{cases}$$

$$\Rightarrow (\epsilon^{\text{el}} + \epsilon^{\text{ion}} - \epsilon) \phi_{\text{ukupni}} = \phi_{\text{ext}} + \phi^{\text{el}} + \phi^{\text{ion}}$$

to je po def. = ϕ_{ukupni}

$$\Rightarrow \boxed{\epsilon = \epsilon^{\text{el}} + \epsilon^{\text{ion}} - 1}$$

- u smislu polarizabilnosti $\epsilon = \frac{\epsilon-1}{4\pi}$ ovo znači da je ukupna polarizabilnost jednaka polarizabilnost pojedinih nosilaca.

ako prethodno želimo izraziti preko $\epsilon_{20s_j}^{ion}$:

Ta konstanta predstavlja, totalni potencijal koji daju ioni zasjemeni elektronima \Rightarrow to je već elektronski zasjemeni ionski potencijal.

Znači odgovor metala gledamo kao odgovor "zasjemenih" iona na elektronski zasjemeni vanjski potencijal:

$$\phi^{tot} = \frac{1}{\epsilon_{20s_j}^{ion}} \left[\frac{1}{\epsilon^{el}} \phi^{ext} \right] \quad \begin{array}{l} \text{odgovor iona na} \\ \text{elektronski zasjemen pot.} \end{array}$$

\hookrightarrow to znači da ioni vide vanjski potencijal zasjemeni elektronima ($\frac{\phi^{ext}}{\epsilon^{el}}$) i onda ga oni zasjeme svojim $1/\epsilon_{20s_j}^{ion}$.

Ako to usporedimo s općom relacijom $\epsilon \phi^{tot} = \phi^{ext}$

$$\Rightarrow \frac{1}{\epsilon} = \frac{1}{\epsilon_{20s_j}^{ion}} \frac{1}{\epsilon^{el}} \quad \text{tj.} \quad \frac{\epsilon}{\epsilon_{20s_j}^{ion} \cdot \epsilon^{el}} = 1$$

Ⓘ i Ⓜ moraju biti ekvivalentni

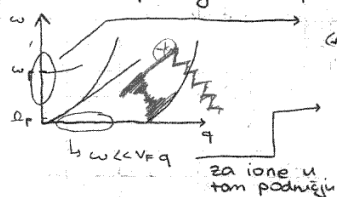
$$\Rightarrow \frac{1}{\epsilon} = \frac{1}{\epsilon^{el}} \frac{1}{1 + \left(\frac{\epsilon_{20s_j}^{ion} - 1}{\epsilon^{el}} \right)} \quad \text{tj.} \quad \frac{1}{\epsilon} = \frac{1}{\epsilon_{20s_j}^{ion}} \frac{1}{\epsilon^{el}}$$

$$\epsilon = \frac{\epsilon - 1}{4\pi}$$

$$\Rightarrow \left[\epsilon_{20s_j}^{ion} = 1 + \frac{1}{\epsilon^{el}} (\epsilon_{20s_j}^{ion} - 1) \right] \Rightarrow \left[\epsilon_{20s_j}^{ion} = \frac{\epsilon_{20s_j}^{ion}}{\epsilon^{el}} \right]$$

Fizikalno značenje formule:

Pretpostavke: ϵ^{el} uzimamo u statičkoj aproksimaciji tj. gledamo promjene \vec{q} za koje je $\omega \ll v_F = q$



$$\epsilon_{20s_j}^{ion} = 1 - \frac{\Omega_p^2}{\omega^2} \quad \text{tj.} \quad \text{to je izraz slijedi iz Maxwellovih jednačini}$$

$$\text{tj.} \quad -\nabla^2 \vec{E} = \frac{\omega^2}{c^2} \epsilon(\omega) \vec{E} \quad \leftarrow \text{aprox.} \right.$$

$$\epsilon(0, \omega > v_F = q) \quad \leftarrow \text{gole ionske plazme.}$$

Važno je uočiti da izraz ne sadrži ovisnost o \vec{q} . To je OK ako je karakteristična brzina čestica toliko da čestica prevelik udaljenost \ll od \uparrow smetnje dok traje smetnja.

$$\hookrightarrow \text{matematički: } \frac{v}{\omega} \ll \frac{1}{q} \quad \text{tj.} \quad v \ll \frac{\omega}{q}$$

$v_s \ll v_F \Rightarrow$ zato postoji velik opseg frekvencija i valnih vektora za koje se može uzeti:

$$\left[\begin{array}{l} \epsilon(\vec{q}, \omega) \approx \epsilon(\vec{q}, \omega=0) \text{ za elektrone} \\ \epsilon(\vec{q}, \omega) \approx \epsilon(\vec{q}=0, \omega) \text{ za ione.} \end{array} \right. \quad \text{"adijabska aprox."}$$

Nas posebno (dodatno) još zanima $\omega < \Omega_p$ koje zadovoljavaju gornji uvjet.

$$\text{Uz te zahtjeve:} \quad \left\{ \begin{array}{l} \epsilon^{el} \approx 1 + \frac{k_{TF}^2}{q^2} \\ \epsilon_{20s_j}^{ion} \approx 1 - \frac{\Omega_p^2}{\omega^2} \end{array} \right. \quad \begin{array}{l} \text{Thomas-Fermi (elektroni } \omega=0 \text{ stat.} \\ \text{graniča)} \\ \text{"ioni, } q \rightarrow 0 \text{ dinamički limit} \\ \Rightarrow \text{ionska plazma s frekvencijom} \\ \text{plazme } \Omega_p = \frac{4\pi e^2 \epsilon_0}{m} \end{array}$$

u području $\omega \ll \omega_p$ ($\Omega_p \ll \omega_p$) rezultat je dobiven tako da smo uzeli formulu za elektronsku plazmu i formalno zamijenili $\omega_p \rightarrow \omega$

Imamo:

$$\epsilon = \epsilon^{el} + \epsilon_{20s_j}^{ion} - 1$$

$$\epsilon = \epsilon_{(\omega=0)}^{el} - \frac{\Omega_p^2}{\omega^2} = 1 + \frac{k_{TF}^2}{q^2} - \frac{\Omega_p^2}{\omega^2}$$

$$\frac{1}{\epsilon} = \frac{1}{\epsilon_{(\omega=0)}^{el}} \frac{1}{1 - \frac{\Omega_p^2}{\epsilon_{(\omega=0)}^{el} \omega^2}} \Rightarrow \frac{1}{\epsilon} = \frac{1}{\epsilon_{(\omega=0)}^{el}} \frac{\omega^2}{\omega^2 - \omega^2(q)}$$

$$\Rightarrow V_q(\omega) = \frac{1}{\epsilon} \frac{4\pi e^2}{q^2} = \frac{4\pi e^2}{\epsilon_{(\omega=0)}^{el} q^2} \frac{\omega^2}{\omega^2 - \omega^2(q)}$$

elektronski dieo korekcija zbog ionskog dieila

Za zasjemeni ione (druga formulacija)

$$\epsilon_{20s_j}^{ion} = 1 + \frac{\epsilon_{20s_j}^{ion} - 1}{\epsilon^{el}} = 1 - \frac{\Omega_p^2}{\epsilon_{(\omega=0)}^{el} \omega^2} \approx 1 - \frac{\omega^2(q)}{\omega^2}$$

\Rightarrow Efektivna elektron-elektron interakcija

Koliko elektroni zasjenuju ionsku interakciju toliko ioni zasjenuju elektronsku.

Coulombovski potencijal:
1. sama elektronska plazma: $\frac{4\pi e^2}{q^2} \rightarrow \frac{4\pi e^2}{q^2 \epsilon^{el}} = \frac{4\pi e^2}{q^2 (1 + \frac{k_{TF}^2}{q^2})} = \frac{4\pi e^2}{q^2 + k_{TF}^2}$

\rightarrow elektronsko zasjemenje, k_{TF}^2 u nazivniku uklanja divergenciju za $q=0$



2. elektronska + ionska plazma

$$\frac{4\pi e^2}{q^2} \rightarrow \frac{4\pi e^2}{q^2 \epsilon} = \frac{4\pi e^2}{\epsilon^{el} \cdot q^2} \frac{\omega^2}{\omega^2 - \omega^2(q)} = \frac{4\pi e^2}{q^2 + k_{TF}^2} \frac{\omega^2 - \omega^2(q) + \omega^2(q)}{\omega^2 - \omega^2(q)}$$

$$= \frac{4\pi e^2}{q^2 + k_{TF}^2} \left(1 + \frac{\omega^2(q)}{\omega^2 - \omega^2(q)} \right)$$

Dakle, efektivna elektron-elektron interakcija za elektrone impulsa \vec{k} i \vec{k}' i energija $E_{\vec{k}}$ i $E_{\vec{k}'}$

$$V(\vec{q}, \omega) = \frac{1}{E_{\vec{k}} E_{\vec{k}'}} \frac{4\pi e^2}{q^2} \left(1 + \frac{\omega^2(q)}{\omega^2 - \omega_p^2(q)} \right)$$

$$= \frac{4\pi e^2}{q^2 + k_{TF}^2} \left(1 + \frac{\omega^2(q)}{\omega^2 - \omega_p^2(q)} \right)$$

„elektronski dio“ ionska korekcija

$\vec{q} = \vec{k} - \vec{k}'$
 $\omega = \frac{1}{\hbar} (E_{\vec{k}} - E_{\vec{k}'})$

da je trenutno
 $\Rightarrow \delta(t) \Rightarrow F.t.$
 δ -funkcija
 je konstanta
 \Rightarrow ne bismo
 imali ovisnos
 od ω

Ionska korekcija sadrži član opisani o \vec{q} i ω .
 Ovisnost o ω : efekt zasjenjenja ionima nije trenutno, nego je limitiran brzinom propagacije elektronskih valova u rešetki \Rightarrow efektivna elektron-elektron interakcija je **RETARDIRANA**
 \Rightarrow elektron biva uvučen u područje kojim je drugi elektron prošao prije.

Pogledajmo kako efektivna interakcija ovisi o kvantnim brojevima para elektrona tj. kako \vec{q} i ω ovise o njima:

Samo elektronsko zasjenjenje $\rightarrow \vec{q} =$ razlici valnih vektora 2 elektronske nivoa (jer nema frekventne ovisnosti)
 Ukupno zasjenjenje $\rightarrow \vec{q} = \vec{k} - \vec{k}'$, $\omega = \frac{E_{\vec{k}} - E_{\vec{k}'}}{\hbar}$
 $V(\vec{q}, \omega)$

Svojstva efektivnog potencijala:

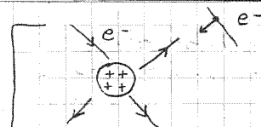
① Slučaj $\omega=0$ (za vrlo slabo varirajuće smetnje, npr. neki elektron koji skoro miruje u jelliumu), ioni se mogu prilagoditi i potpuno anulirati polje elektrona (ukupni pot $V(\vec{q}, \omega=0)=0$)
 To je posljedica zanemarivanja struktura iona i elektrona (elektroni su točkasti, a ioni imaju „neprobajan“ volumen). Znači da model prikazuje nerednu situaciju. To bi se riješilo da smo u ionsku dielektričnu konstantu ϵ_{ion} uveli konačne dimenzije iona.

② Zasjenjena fononska frekvencija $\omega(q)$ je, kada veličine ω_D ($\approx \omega_p$).
 Kod je razlika energije dva elektrona (\vec{k} , \vec{k}') $\omega = \frac{1}{\hbar} (E_{\vec{k}} - E_{\vec{k}'})$
 mnogo veća od tog iznosa stoga $\omega \gg \omega_D$ ($\omega \gg \omega(q)$) \Rightarrow fononska frekvencija je mala $\rightarrow V_q \approx \frac{4\pi e^2}{\epsilon_{eff} q^2}$
 elektronske energije su u opsegu ($10^2 - 10^3$) eV, $\omega_D \sim E_F \Rightarrow$ samo elektroni s jako bliskim energijama će „osijecati“ fonone tj. oni za koje je ω iznimno mali (reda veličine ω_D).

③ Za $\omega < \omega_D \Rightarrow$ fononski doprinos je suprotnog predznaka od elektronskog i većeg je modula (misliti se na zasjenjenje) $\Rightarrow V(\vec{q}, \omega) < 0$ (suprotni predznak!) \Rightarrow to je tzv. „OVERSCREENING“ \Rightarrow vodi na SUPRAVODLJIVOST.

$$V(\vec{q}, \omega) = \frac{4\pi e^2}{\epsilon_{eff} q^2} \left(1 + \frac{\omega^2(q)}{\omega^2 - \omega_p^2(q)} \right) \Rightarrow V(\vec{q}, \omega) < 0$$

interakcija između 2 elektrona postoji privlačna!



\hookrightarrow pobudi fonon (izazove zgušnjavanje \oplus naboja) što ovaj drugi elektron i pomakne se

Vanjski elektron (smetnja \vec{q}, ω) i elektron u jelliumu se međusobno privlače izmenom fonona, potencijalom $V(\vec{q}, \omega) < 0$.

U (\vec{q}, ω) prostoru našli smo područje gdje je e^-e^- potencijal atraktivan. Može složiti ti kolektivno stanje koji u faznom području konsti to područje potencijala - supravodljivost.

Tu vidimo kako isti proces (elektron-fonon interakcija) može voditi na dva potpuno suprotna efekta:
 - otpor
 - supravodljivost

Fenomenološko objašnjenje supravodljivosti

Bardeen-Cooper-Schrieffer 1957 (BCS-teorija)

\hookrightarrow počinje od ukupnog privlačnog potencijala dva elektrona blizu Fermijeve površine
 Jonskim gibanjem moguće je „prezasjeniti“ (overscreen) repulzivnu interakciju!

Dokaz za nužnost ionskog gibanja: efekt izotopa:
 (kritična temperatura različitih metalnih izotopa varira (približno) $\sim \frac{1}{M_{ion}}$)

$$V_{eff}(\vec{k}, \vec{k}') = \frac{4\pi e^2}{q^2 + k_{TF}^2} \frac{\omega^2}{\omega^2 - \omega_p^2(q)}$$

par elektrona $\rightarrow (\vec{k} - \vec{k}')^2$ frekvencija fonona valnog vektora \vec{q}

\hookrightarrow uvjet na energije $E_{\vec{k}}$ i $E_{\vec{k}'}$ da e^-e^- interakcija bude privlačna ($V_{eff} < 0$) $\therefore \hbar\omega \equiv E_{\vec{k}} - E_{\vec{k}'} < \hbar\omega_D$

Ovo omogućuje stvaranje vezanih stanja para elektrona (slaba interakcija je privlačna) i Paulijev princip ne dopušta vezanje više elektrona \Rightarrow COOPEROV PAR

To je smjela pretpostavka jer vezano stanje zahtjeva da čestice interagiraju nekim minimalnom jačinom koja je velika u odnosu na slabu interakciju pa je pitanje kako je vezano stanje moguće s obzirom da je jama zasjenjenog potencijala „preplitka“.

Cooper: Utjecaj ostalih $N-2$ elektrona kroz Paulijev princip omogućuje to stanje!

Utjecaj Fermijeve sfere ostalih elektrona svodi se da na $T=0$ (ustajan $T < T_c$) ona ne dopušta da ta dvojica zauzmu neke nivo s $k < k_F \Rightarrow$ mogući nivoi njihovih stanja sačinjeni su od ravnih valova s valnim vektorima $k \geq k_F$ (stanja para)

Tako je pokazao da nije potrebna tolika minimalna jakost interakcije i objasnio fenomen niskih temperatura \Rightarrow njegovi proračuni su dali Evezaga $\ll E_{pot}$ (atrakcije) čak i za slabu atrakciju jer elektronski par Paulijev princip (zbog utjecaja ostalih) dodatno "tjera u vezu".

BCS - teorija daje ključan daljnji korak: predviđa sve elektrone u parovima \rightarrow svaki elektron služi za privlačenje Paulijevog principa (tj. ograničava valni vektor) tj. vezanje ostalih parova, a i sam se veže u par!

\Rightarrow valna funkcija sustava: $\frac{N}{2}$ identičnih 2-elektronskih valnih funkcija, još i antisimetrizirana

\Rightarrow valna funkcija para: singletna stanja (superpozicija tel. nivoa, $E \sim E_F$)

\Rightarrow doseg te valne funkcije $\gg r_s$ - udaljenost među elektronima (10^3 \AA)

\Rightarrow Iz toga slijedi da će se u području prostiranja jednog para naći centi mnogih parova \Rightarrow parovi se ne mogu tretirati kao nezavisne čestice [članovi parova stalno se izmjenjuju].

Iz toga proizlaze i osnovna svojstva:

- na $T \neq 0$ parovi su djelomično odvojeni (termalno)!
- gustoća supravodljivih elektrona = gustoća ostalih (slobodnih) parova \rightarrow to ukazuje da valna funkcija para ovisi o T !

Zašto nema otpora?

Kod elektron nalet na nečistoću on se sudari ali drugi e- iz para ga zadržavaju da se ne rasprši!
Elektroni su kolektivizirani - nema pojedinačnih raspršenja

Elektron- fonon vezanje u granici čvrste veze

U granici čvrste veze Wannierove funkcije možemo zamijeniti atomskim

$$|\psi\rangle = \sum_j \tilde{a}_j |W(\vec{r}-\vec{R}_j)\rangle \quad H^0_{eff} = E_0 \left(\vec{k} \rightarrow -i \frac{\partial}{\partial \vec{R}_i} - \frac{e}{\hbar c} \vec{A}(\vec{R}_i) \right)$$

$$[H^0_{eff} + V(\vec{R}_i)] \tilde{a}_i = E \cdot \tilde{a}_i$$

$H^0_{eff} = H^0_{eff} + \text{korekcija}$
 \hookrightarrow zbog termalnog gibanja (fononi)

$H^0_{jj'} = \langle d_j | V_j | d_{j'} \rangle$
 \Rightarrow integral preklapanja matični element kratkog doseg \Rightarrow očekujemo da zbog kratkodosežnosti nema u denivaciji singulariteta u Fourierovom prostoru (kao kod Coulombovskih sila npr.)

matični element preskoka:

$$t(\vec{R}_s) = t(\vec{R}_j - \vec{R}_i) = t \left(\underbrace{\vec{R}_j^0 - \vec{R}_i^0}_{\vec{R}_s^0} + \underbrace{\vec{u}_j - \vec{u}_i}_{\vec{s}} \right) = t(\vec{R}_s^0) + (\vec{u}_j - \vec{u}_i) \frac{\partial t}{\partial \vec{R}_s}$$

$$t(\vec{R}_s) = \int d(\vec{r} - \vec{R}_s) V(\vec{r} - \vec{R}_s) d(\vec{r}) d^3 \vec{r}$$

$\Rightarrow \int H^0_{jj'} = \frac{\partial H^0_{jj'}}{\partial \vec{R}_s} \vec{s} \Rightarrow$ korekcija je linearna u pomaku

$$H^0_{jj'} = \langle d_j | H^0 | d_{j'} \rangle$$

$$H^0 |\psi_0\rangle = E^0 |\psi_0\rangle$$

$$H = H^0 + V(\vec{r})$$

$$|\psi_0\rangle = \sum_i a_i |d_i\rangle$$

$$H |\psi\rangle = E |\psi\rangle$$

$$|\psi\rangle = \sum_i \tilde{a}_i |d_i\rangle$$

$$t \sim e^{-\gamma_0 r} \approx e^{-\frac{r}{a_H}} \left(\sim \frac{1}{v} \text{ brzina skakanja čl. s mjesta na mjesto} \right)$$

$$\Rightarrow \frac{\partial t}{\partial R_s} \sim \frac{t}{a_H} \rightarrow t(\vec{R}_s) \approx t(\vec{R}_s^0) + \frac{(\vec{u}_j - \vec{u}_i)}{a_H} t(\vec{R}_s^0)$$

\hookrightarrow kongirani matični element priklaza

\Rightarrow Elektron - fonon vezanje uključuje da se integrali preklapanja mijenjaju duž preklopa transverzoznim pomakom

Zbog toga su u metalima jače vezani L fononi od T fonona, (a kod prijelaznih metala ne) jer je korekcija koja povećava matični element $t(\vec{r})$ "u smjeru \vec{q} ". Waša idealna teorija u stvari uopće niti ne predviđa vezanje T- fonona na el. plin (gallium, vezani samo L fononi)

Utjecaj na energiju:

$$\sum_{\vec{k}} V_{eff}(\vec{k}' - \vec{k}) \psi(\vec{k})$$

HF član:

$$\Delta E_k = - \int \frac{d\vec{k}}{(2\pi)^3} \frac{4\pi e^2}{|\vec{k}' - \vec{k}|^2} \psi(\vec{k})$$

\uparrow nezasićenjeni

- zasićenjenje je vidljivo i u HF članu:

$$\Delta E_k = - \int \frac{d\vec{k}}{(2\pi)^3} \frac{4\pi e^2}{|\vec{k}' - \vec{k}|^2 + k_{TF}^2} \left\{ 1 + \frac{\omega(\vec{k}' - \vec{k})^2}{(E_k - E_k')/\hbar - \omega(\vec{k}' - \vec{k})^2} \right\} \psi(\vec{k})$$

Integral aproksimiramo uz $\hbar \omega(\vec{k}' - \vec{k}) \ll E_F$

Svojstva kongirane energije:

① E_F i oblik F plohe ostaju isti (ako zanemarimo 2. član)

② Za $E_k \approx E_F$
 $E_k - E_F = \frac{E_{TF} - E_F}{1 + N}$ itd.

- energija korekcija je linearna u pomacima
- frekvencija skakanja elektrona \ll frekvencija vrtnje na mjestu
- kratkodoseznost \Rightarrow nema vise singulariteta

pomak jezgre

$$\delta H_{jj'} = \frac{\partial H_{jj'}}{\partial R} \delta R \quad \delta R \rightarrow (\vec{u}_{j'} - \vec{u}_j)$$

\hookrightarrow s obzirom na kruzenje e^-

$$(H_{jj'})^{-1} = \text{brzina skakanja s mjesta na mjesto}$$

- RPA

Zaključak: Formiranje vrpce znači samo el. vodljivost, a ne el. otpor. Električni otpor je sumarni efekt odstupanja od translacione invarijantnosti (zbog fononskih excitacija (raspršenja), nečistoća itd). Fononi su značajni i za mogućnost potpunog otklapanja el. otpora - kolektivno stanje elektrona - supravodljivost.

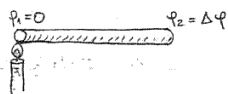
Kod imamo vrpce sačuvanje impulsa nije isto što i sačuvanje brzine!

J elektron-elektron raspršenje doprinosi otporu ako je umklapp karaktera (tj. kristalna rešetka kupi dio momenta)



$$\vec{k}_1 + \vec{k}_2 = \vec{k}_3 + \vec{k}_4 + \vec{G}$$

Termalna vodljivost



- u sustavu u kojem \exists električna polja i gradijent temperature

\hookrightarrow prilikom transporta naboja i topline

$$\vec{j} = L_{11} \left[-\frac{1}{T} \text{grad } \mu + \frac{\mu}{T^2} \text{grad } T \right] + L_{12} \left[-\frac{1}{T^2} \text{grad } T \right]$$

\hookrightarrow **struja čestica** (oko možemo sa e struja naboja) (strujni jera (sili) i električno polje i gradijent temperature)

$$\vec{w} = L_{21} \left[-\frac{1}{T} \text{grad } \mu + \frac{\mu}{T^2} \text{grad } T \right] + L_{22} \left[-\frac{1}{T^2} \text{grad } T \right]$$

\hookrightarrow **struja topline**

\hookrightarrow generalna termodinamička teorija vodjenja

* Dodatak: Izvod prethodnih relacija: **Jednadžbe transporta**

Krećemo od termodinamike:

$$\frac{dN}{dadt} \hat{=} \frac{dN}{dax} \frac{dax}{dt}$$

paralna

$$dQ = T dS \quad / : dt \quad \text{grad}$$

$$\vec{w} = T \vec{j}_s$$

\uparrow struja topline
 \uparrow struja entropije

$$\vec{w} = \vec{j}_E - \mu \vec{j}_N$$

\uparrow (vrijedi: $\vec{j} = e \vec{j}_N$)
 \hookrightarrow električna struja

$$T dS = dU - \mu dN$$

\rightarrow ovo nam je rad

$$\Rightarrow T \vec{j}_s = \vec{j}_E - \mu \vec{j}_N$$

\uparrow struja energije
 \uparrow struja čestica

$$\vec{j}_E = 2 \sum_n \sum_{\vec{k}} \vec{E}_n(\vec{k}) \vec{v}_n(\vec{k}) f_n(\vec{k})$$

\hookrightarrow od spina $\vec{E}_n(\vec{k}) = \frac{E_n(\vec{k})}{V}$

\rightarrow energija po jedinici volumena

$$= 2 \sum_n \int \frac{d^3k}{(2\pi)^3} \int d^3k \frac{E_n(\vec{k})}{V} \vec{v}_n(\vec{k}) f_n(\vec{k})$$

$$= \sum_n \int \frac{d^3k}{4\pi^3} E_n(\vec{k}) \vec{v}_n(\vec{k}) f_n(\vec{k})$$

$$\vec{j}_N = 2 \sum_n \sum_{\vec{k}} \vec{v}_n(\vec{k}) \frac{f_n(\vec{k})}{V} = 2 \sum_n \int \frac{d^3k}{(2\pi)^3} \vec{v}_n(\vec{k}) f_n(\vec{k})$$

$$= \sum_n \int \frac{d^3k}{4\pi^3} \vec{v}_n(\vec{k}) f_n(\vec{k})$$

za ovaj dio f ispravna $f_n(\vec{k}) + g_n(\vec{k})$

$$\Rightarrow \vec{w} = \sum_n \int \frac{d^3k}{4\pi^3} [E_n(\vec{k}) - \mu] \vec{v}_n(\vec{k}) f_n(\vec{k})$$

Ashcroft/Mermin str. 254

funkcija raspodjele u neravnotežnim uvjetima

$$f(\vec{k}) = f^0(\vec{k}) + \tau(E(\vec{k})) \left(-\frac{\partial f}{\partial E} \right) \vec{v}(\vec{k}) \cdot \left[-e \vec{E} + \frac{E(\vec{k}) - \mu}{T} (-\nabla T) \right]$$

$$\vec{E} = \vec{E} + \frac{\nabla \mu}{e}$$

\hookrightarrow iz toga konstruiramo struje

$$\left. \begin{aligned} \vec{j} &= L^{11} \vec{E} + L^{12} (-\nabla T) \\ \vec{w} &= L^{21} \vec{E} + L^{22} (-\nabla T) \end{aligned} \right\} *$$

\leftarrow dio $\sim \vec{E}$, dio $\sim (-\nabla T)$

$$L^{(1)} = e^2 \int \frac{d^3k}{4\pi^3} \left(-\frac{\partial f}{\partial E} \right) \tau(E(\vec{k})) \vec{v}(\vec{k}) \cdot \vec{v}(\vec{k}) (E(\vec{k}) - \mu)^2$$

$$L^{11} = L^{(1)} \quad L^{21} = T L^{12} = -\frac{1}{e} L^{(1)}$$

$$L^{22} = \frac{1}{e^2 T} L^{(2)}$$

J. H. Ziman: Principles of the Theory of Solids
(poglavlje 7, Transport Properties, str. 211)

Transportna svojstva

Boltzmannova jednačina

- na nosioce u metalima i poluvodičima može se uticati vanjskim poljima i temperaturnim gradientom.
- oni također trpe gubitke energije i momenta raspršenjem na nečistoćama, fononima itd.
- ti procesi (raspršenja i akceleracija elektrona vanjskim poljima) se moraju nekako međusobno uravnotežiti
- razmatramo transportna svojstva pod utjecajem konstantnih polja
- transportna jednačina je Boltzmannova jednačina
- veličina koju promatramo je $f_{\vec{k}}(\vec{r})$: lokalna koncentracija nosilaca u stanju \vec{k} u okolini točke \vec{r} u prostoru

Razmotrimo kako se $f_{\vec{k}}(\vec{r})$ može mijenjati u vremenu.
Postoje tri tipa efekata:

- (i) Nosioci ulaze u područje oko \vec{r} i izlaze iz njega.
Pretpostavimo da je $v_{\vec{k}}$ brzina nosioca u stanju \vec{k} .
U vremenskom intervalu t oni će preći udaljenost $t v_{\vec{k}}$.
Pod pp valjanosti Liouvilleovog tm (invarijantnost volumena okupiranog u faznom prostoru) broj nosilaca u okolici \vec{r} u vremenu t jednak je broju nosilaca u okolici $\vec{r} - t v_{\vec{k}}$ u vremenu 0:

$$f_{\vec{k}}(\vec{r}, t) = f_{\vec{k}}(\vec{r} - t v_{\vec{k}}, 0) = f_{\vec{k}}(\vec{r}_0) - t v_{\vec{k}} \frac{\partial f_{\vec{k}}}{\partial \vec{r}} + \dots$$

=> promjena distribucije u vremenu zbog difuzije jest:

$$\left. \frac{\partial f_{\vec{k}}}{\partial t} \right|_{diff} = - v_{\vec{k}} \frac{\partial f_{\vec{k}}}{\partial \vec{r}} = - v_{\vec{k}} \nabla f_{\vec{k}}$$

- (ii) vanjska polja mijenjaju valni vektor svakog nosioca

$$\dot{\vec{k}} = \frac{e}{\hbar} \left(\vec{E} + \frac{1}{c} \vec{v}_{\vec{k}} \times \vec{H} \right)$$

→ možemo to razmatrati kao brzinu u k -prostoru

↳ analognim razmatranjem kao pod (i):

$$f_{\vec{k}}(\vec{r}, t) = f_{\vec{k}-\dot{\vec{k}}t}(\vec{r}_0)$$

=> distribucija se zbog polja mijenja na slijedeći način:

$$\left. \frac{\partial f_{\vec{k}}}{\partial t} \right|_{field} = - \dot{\vec{k}} \frac{\partial f_{\vec{k}}}{\partial \vec{k}} = - \frac{e}{\hbar} \left(\vec{E} + \frac{1}{c} \vec{v}_{\vec{k}} \times \vec{H} \right) \frac{\partial f_{\vec{k}}}{\partial \vec{k}}$$

$\nabla_{\vec{k}} f_{\vec{k}}$

- (iii) Efekt raspršenja su nešto kompliciraniji, pa ćemo se mi većinom ograničiti na elastična raspršenja.

$$\left. \frac{\partial f_{\vec{k}}}{\partial t} \right|_{scatt} = \int \left\{ f_{\vec{k}'}(1-f_{\vec{k}}) - f_{\vec{k}}(1-f_{\vec{k}'}) \right\} Q(\vec{k}, \vec{k}') d\vec{k}'$$

Proces raspršenja iz \vec{k} u \vec{k}' smanjuje $f_{\vec{k}}$. Vjerovatnost tok procesa ovisi o $f_{\vec{k}}$ - broju nosilaca u stanju \vec{k} i o $(1-f_{\vec{k}'})$ - broju vakancija (suplina) dostupnih u konačnom stanju. Također postoji i inverzni proces $\vec{k}' \rightarrow \vec{k}$ koji povećava $f_{\vec{k}}$ i koji ima težinu $f_{\vec{k}'}(1-f_{\vec{k}})$. Sumira se preko svih ostalih mogućih stanja \vec{k}' .
Za svaku vrijednost \vec{k} i \vec{k}' \exists bazična vjerovatnost prijelaza $Q(\vec{k}, \vec{k}')$ koja mjen vjerovatnost prijelaza u jedinici vremena ako znamo da je \vec{k} stanje okupirano a \vec{k}' prazno. Princip mikroskopske reverzibilnosti nam kaže da je ta veličina ista i za prelaz iz \vec{k}' u \vec{k} .

Boltzmannova jednačina nam kaže da je u bilo kojoj točki i za bilo koju vrijednost \vec{k} netto promjena od $f_{\vec{k}}(\vec{r}) = 0$ tj:

$$\left. \frac{\partial f_{\vec{k}}}{\partial t} \right|_{scatt} + \left. \frac{\partial f_{\vec{k}}}{\partial t} \right|_{field} + \left. \frac{\partial f_{\vec{k}}}{\partial t} \right|_{diff} = 0$$

BOLTZMANOVA JEDNAČINA

Primjetimo da je to stacionarno stanje, a ne ravnotežno stanje koje označavamo sa $f_{\vec{k}}^0$ i koje vrijedi kod su polja i temperaturni gradienti odsutni.

Ako i samo vanjsko polje varira u vremenu odna se ova tri člana moraju dodati vremenskoj varijaciji $f_{\vec{k}}$ u odgovoru na tu silu.

Ali, mi pretpostovljamo da se stacionarna raspodjela ne razlikuje puno od ravnotežne, pa pišemo:

$$g_{\vec{k}} = f_{\vec{k}} - f_{\vec{k}}^0$$

gdje je:

$$f_{\vec{k}}^0 = \frac{1}{e^{\frac{E_{\vec{k}} - \mu}{k_B T} + 1}} = f^0(E_{\vec{k}}) \quad (*)$$

Ovdje moramo biti oprezniji; kako je $f_{\vec{k}}^0$ definiran kod temperatura varira iz točke u točku?
Pp. da postoji dobro definirana temperatura $T(\vec{r})$ u svakoj točki i pišemo:

$$g_{\vec{k}}(\vec{r}) = f_{\vec{k}}(\vec{r}) - f_{\vec{k}}^0 \{ T(\vec{r}) \}$$

Ako imamo poteškoća u otkrivanju kako treba izgledati $T(\vec{r})$ možemo zadržati da konačno rješenje zadovoljava neki dodatni uvjet npr.

$$\int g_{\vec{k}}(\vec{r}) d\vec{k} = 0$$

$$\overline{d_i d_j} = - \sum_k g^{ik} \overline{x_k d_j} = g^{ij}$$

Zbog invarijantnosti i jednodžbi gibanja na vremenski obrat korelaciona funkcija mora imati svojstvo:

$$\overline{d_i(t) d_j(t + \bar{t})} = \overline{d_i(t) d_j(t - \bar{t})} \quad \text{tj. alternativno}$$

$$\overline{d_i(t) d_j(t + \bar{t})} = \overline{d_i(t + \bar{t}) d_j(t)}$$

$$\Rightarrow \overline{d_i(t) [d_j(t + \bar{t}) - d_j(t)]} = \overline{d_j(t) [d_i(t + \bar{t}) - d_i(t)]}$$

Sada pretpostavljamo da regresija raspada fluktuacija slijedi ordinarne fenomenološke makroskopske zakone kao što su:

$$\begin{aligned} \vec{j} &= \sigma \cdot \vec{E} & \vec{j}_q &= -K \frac{dT}{dx} & \vec{j}_n &= -D \frac{dn}{dx} \\ \downarrow & & \downarrow & & \downarrow & \\ \text{Ohmov zakon} & & \text{Fourierov zakon} & & \text{Fickov zakon} & \\ (\text{gustoća električne struje}) & & (\text{gustoća termalne struje}) & & (\text{gustoća struje čestica}) & \end{aligned}$$

Pretpostavljamo egzistenciju linearnih relacija oblika:

$$\overline{d d_i / dt} = \sum L_{ij} d_j \quad d_i = - \sum g^{ik} x_k$$

$$\text{ili } \overline{J_i} = \overline{d d_i / dt} = \sum L_{ij} X_j$$

$$\text{Ovdje je: } \overline{d d_i / dt} = \overline{\bar{t}^{-1} [d_i(t + \bar{t}) - d_i(t)]}$$

\bar{t} se uzima da je duže od vremena sudara za individualni proces i kraće od vremena raspada makroskopske fluktuacije.

$$\text{Kombiniranjem relacija: } \begin{aligned} X_i &= \frac{\partial \mathcal{Z}}{\partial d_i} = - \sum g^{ik} d_k \\ J_i &= \frac{d d_i}{dt} = \sum L_{ij} X_j \end{aligned}$$

$$\text{dobivamo: } \frac{d \mathcal{Z}}{dt} = \sum X_i J_i$$

$$\Rightarrow \overline{d_i(t) \sum_k L_{jk} X_k} = \overline{d_j(t) \sum_k L_{ik} X_k}$$

$$\Rightarrow - \sum_k L_{jk} \delta_{ki} = - \sum_k L_{ik} \delta_{kj}$$

$$\text{ili } \boxed{L_{ji} = L_{ij}} \quad \text{Onsagerova relacija}$$

$$X_2 = - \frac{\Delta \mathcal{F}}{\bar{t}} - \frac{\Delta \mathcal{E}}{q} \frac{\partial}{\partial \bar{t}} \left(\frac{\mu}{\bar{t}} \right) \rightarrow \text{generalizirana sila za električnu struju}$$

Oznočimo sa d_1, \dots, d_n odstupanja (devijacije) određenih fizikalnih parametara od njihovih ravnotežnih vrijednosti:

$$\begin{aligned} \Rightarrow \Delta \mathcal{Z} &= - \frac{1}{2} \sum g^{ik} d_i d_k \\ &= \mathcal{Z}(d_1^0, \dots, d_n^0) - \mathcal{Z}(d_1^0 + d_1, \dots, d_n^0 + d_n) \\ &= \mathcal{Z}(d_1^0, \dots, d_n^0) - \mathcal{Z}(d_1^0, \dots, d_n^0) - \sum_{i=1}^n \frac{\partial \mathcal{Z}}{\partial d_i^0} d_i - \frac{1}{2} \sum_{i,k} \frac{\partial^2 \mathcal{Z}}{\partial d_i^0 \partial d_k^0} d_i d_k \end{aligned}$$

jer je entropija max u ravnotežnom stanju pa $\frac{\partial \mathcal{Z}}{\partial d_i^0} = 0 \quad \forall i$

$$\Rightarrow \Delta \mathcal{Z} \approx - \frac{1}{2} \sum_{i,k} g^{ik} d_i d_k \quad (\text{u najnižem redu})$$

Uvodimo veličinu:

$$\begin{aligned} X_i &= \frac{\partial \mathcal{Z}}{\partial d_i} = \frac{\partial}{\partial d_i} \left[- \frac{1}{2} \sum_{j,k} g_{jk} d_j d_k \right] = - \frac{1}{2} \left[\sum_k g_{ik} d_k + \sum_j g_{ji} d_j \right] \\ &= - \frac{1}{2} \left[\sum_k g_{ik} d_k + \sum_j g_{ji} d_j \right] \end{aligned}$$

$$= - \frac{1}{2} \sum_{i,k} g^{ik} d_k - \frac{1}{2} \sum_{j,i} \underbrace{g_{ji}}_{=g^{ij}} d_j = - \sum g^{ik} d_k$$

$$X_i = - \sum g^{ik} d_k \quad \rightarrow \text{koja djeluje kao sila za ireverzibilni ili transportni proces}$$

$\hookrightarrow X_i$ nazivamo generalizirana sila

Ako je g^{ik} recipročna matrica od g_{ik} onda imamo:

$$d_i = - \sum g^{ik} x_k$$

$\mathcal{Z} = \log \Delta \Pi \Rightarrow$ vjerojatnost nolaženja sistema sa parametrima u intervalu $\bar{d}_i, \bar{d}_i + d\bar{d}_i$ je:

$$P(\bar{d}_i) d\bar{d}_i = \frac{e^{-\mathcal{Z}} d\bar{d}_i}{\int e^{-\mathcal{Z}} d\bar{d}_i}$$

$$\overline{d_i X_j} = \int d_i X_j P d\bar{d}_i = \int d_i \frac{\partial P}{\partial d_j} d\bar{d}_i$$

Parcijalnom integracijom:

$$\overline{d_i X_j} = - \int P \delta_{ij} d\bar{d}_i = - \delta_{ij}$$

$$\overline{X_i X_j} = - \sum_k g^{ik} \overline{d_k X_j} = g^{ij}$$

$$\Rightarrow dZ = \frac{dU}{T} + \frac{1}{T} \sum_j X_j dx_j - \frac{1}{T} \sum_i \mu_i dN_i$$

$$dU = T dZ - \sum_j X_j dx_j + \sum_i \mu_i dN_i$$

$$dZ = \frac{dQ}{T} \quad dS = \frac{dQ}{T} \Rightarrow S = kZ$$

1: $T, 0$

2: $T + \Delta T, \Delta \varphi$

$n = -n_1 = n_2$

↳ broj elektrona naboja q koji pređu iz 1 u 2

Transfer energije:

$$\Delta Z_1 = -\frac{\Delta U}{T} + \left[\frac{\mu}{T} \right] n$$

$\mu \rightarrow$ kemijski potencijal (Fermi nivo) za $\varphi=0$.

$$\Delta Z_2 = \frac{\Delta U}{T + \Delta T} - \left[\frac{\mu(\bar{\epsilon} + \Delta \bar{\epsilon}) + q \Delta \varphi}{T + \Delta T} \right] n$$

$$\Delta Z = \Delta Z_1 + \Delta Z_2 = \Delta U \left[\frac{1}{T + \Delta T} - \frac{1}{T} \right] - n \left[\frac{\mu(\bar{\epsilon} + \Delta \bar{\epsilon})}{T + \Delta T} - \frac{\mu}{T} + \frac{q \Delta \varphi}{T + \Delta T} \right]$$

$$\frac{1}{T + \Delta T} = \frac{1}{T} \frac{1}{1 + \frac{\Delta T}{T}} = \frac{1}{T} \left[1 - \frac{\Delta T}{T} + \dots \right]$$

$$\mu(\bar{\epsilon} + \Delta \bar{\epsilon}) = \mu(\bar{\epsilon}) + \Delta \bar{\epsilon} \frac{\partial \mu}{\partial \bar{\epsilon}} + \dots$$

$$\Rightarrow \frac{\mu(\bar{\epsilon} + \Delta \bar{\epsilon})}{T + \Delta T} \cong \left[\mu(\bar{\epsilon}) + \Delta \bar{\epsilon} \frac{\partial \mu}{\partial \bar{\epsilon}} \right] \left[\frac{1}{T} - \frac{\Delta T}{T^2} \right]$$

$$\cong \frac{\mu(\bar{\epsilon})}{T} - \mu \frac{\Delta T}{T^2} + \frac{\Delta \bar{\epsilon}}{T} \frac{\partial \mu}{\partial \bar{\epsilon}} = \frac{\mu}{T} + \Delta \bar{\epsilon} \frac{\partial}{\partial \bar{\epsilon}} \left(\frac{\mu}{T} \right)$$

↳ zadržavamo članove linearne u $\Delta \bar{\epsilon}$

$$\frac{q \Delta \varphi}{T + \Delta T} \cong q \Delta \varphi \left[\frac{1}{T} - \frac{\Delta T}{T^2} \right] \cong \frac{q \Delta \varphi}{T} \quad \Delta \varphi \cdot \Delta T \rightarrow \text{zanemarimo}$$

$$\Rightarrow \Delta Z \cong \Delta U \left[-\frac{\Delta T}{T^2} \right] - n q \left[\frac{\Delta T}{T} \frac{\partial}{\partial \bar{\epsilon}} \left(\frac{\mu}{T} \right) + \frac{\Delta \varphi}{T} \right] \quad \left| \frac{d}{dt} \right.$$

$$\frac{d \Delta Z}{dt} = \frac{d(\Delta U)}{dt} \left(-\frac{\Delta T}{T^2} \right) - q \frac{dn}{dt} \left[\frac{\Delta \varphi}{T} + \frac{\Delta T}{T} \frac{\partial}{\partial \bar{\epsilon}} \left(\frac{\mu}{T} \right) \right]$$

$$= \sum_i J_i X_i$$

$$J_1 = \frac{d(\Delta U)}{dt} = \text{struja energije (termalna)} = W$$

$$X_1 = \left(-\frac{\Delta T}{T^2} \right) = \text{generalizirana sila za struju energije}$$

$$J_2 = q \frac{dn}{dt} = \text{električna struja} = I$$

Općeniti transportni koeficijenti

→ pp imamo temperaturni gradijent i električno polje
→ oko zanemarimo efekte oblika i veličine Boltzmanova jednadžba je:

$$\left(-\frac{\partial \varphi^0}{\partial \bar{\epsilon}} \right) \cdot \vec{v}_k \left\{ \frac{\epsilon(\bar{\epsilon}) - \mu}{T} (-\nabla T) + e \left(\vec{E} - \frac{1}{c} \nabla \mu \right) \right\} = - \frac{\partial f_k}{\partial t} \Big|_{\text{scatt.}}$$

→ rješenje:

$$f_k - f_k^0 = \left(-\frac{\partial \varphi^0}{\partial \bar{\epsilon}} \right) \frac{1}{T} v_k \cdot \left[e \left(\vec{E} - \frac{1}{c} \nabla \mu \right) + \frac{\epsilon(\bar{\epsilon}) - \mu}{T} (-\nabla T) \right]$$

→ Flux energije po jedinici volumena:

$$\vec{U} = 2 \int f_k \{ \epsilon(\bar{\epsilon}) - \mu \} v_k d\bar{\epsilon}$$

↳ tenzori K_0, K_1, K_2

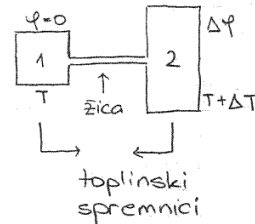
$$\vec{j} = e^2 K_0 \vec{E} + \frac{e}{T} K_1 (-\nabla T)$$

$$\vec{W} = e K_1 \vec{E} + \frac{1}{T} K_2 (-\nabla T)$$

Termalna vodljivost:

$$f_k - f_k^0 = \left(-\frac{\partial \varphi^0}{\partial \bar{\epsilon}} \right) \left(\frac{\epsilon - \mu}{T} \right) \frac{1}{T} v_k (-\nabla T)$$

Kittel: "Elementary Statistical Physics" (poglavlje 34) (str. 163)



Električna struja I i struja topline W u homogenom vodiču su vezane s razlikom potencijala $\Delta \varphi$ i temperaturnom razlikom ΔT na krajevima vodiča preko relacija oblika:

$$I = l_{11} \Delta \varphi + l_{12} \Delta T$$

$$W = l_{21} \Delta \varphi + l_{22} \Delta T$$

↳ npr. v.

↳ prigenos energije i naboja kroz žicu

$$\text{Uzmimo } Z = Z(U, x_j, N_i)$$

U - unutrašnja energija
 x_j - set vanjskih parametara koji opisuju sistem
 N_i - broj molekula i -te vrste

$$dZ = \left(\frac{\partial Z}{\partial U} \right) dU + \sum_j \left(\frac{\partial Z}{\partial x_j} \right) dx_j + \sum_i \left(\frac{\partial Z}{\partial N_i} \right) dN_i$$

$$\frac{\partial Z}{\partial U} = \frac{1}{T} \quad T = k_B T$$

$$\Rightarrow g_k = \left(-\frac{\partial f^0}{\partial \epsilon}\right) \tau \vec{v}_k \cdot e \vec{E}$$

$$\vec{j} = 2 \int e v_k f_k d\vec{k} = 2 \int e v_k g_k d\vec{k} \quad (\text{jer } \int e v_k f_k^0 d\vec{k} = 0)$$

$$= \frac{1}{4\pi^3} \iint e^2 \tau \vec{v}_k (\vec{v}_k \cdot \vec{E}) \left(-\frac{\partial f^0}{\partial \epsilon}\right) \frac{dS}{v_k} \cdot d\epsilon$$

u metalnim se kao s-funkcija na fermi nivou.

$$\vec{j} = \frac{1}{4\pi^3} \frac{e^2 \tau}{\hbar} \int \frac{\vec{v}_k \cdot \vec{v}_k dS_F}{v_k} \vec{E} = \sigma \cdot \vec{E}$$

$$\sigma = \frac{1}{4\pi^3} \frac{e^2 \tau}{\hbar} \int \frac{\vec{v}_k \cdot \vec{v}_k dS_F}{v_k} \quad \text{tenzor vodljivosti}$$

Kubični kristali $\rightarrow \sigma$ skalar; slučaj \vec{E}, \vec{j} u x-smjeru:

$$(\vec{v}_k \cdot \vec{v}_k \cdot \vec{E})_x = v_k^2 E = \frac{1}{3} v^2 E$$

$$\sigma = \frac{1}{4\pi^3} \frac{e^2 \tau}{\hbar} \frac{1}{3} \int v dS_F = \frac{1}{4\pi^3} \frac{e^2}{\hbar} \frac{1}{3} \int \Lambda dS_F$$

$\Lambda = \tau v$ srednji slobodni put

$$f_k = f_k^0 - \frac{\partial f_k^0}{\partial \epsilon(\vec{k})} \frac{\partial \epsilon(\vec{k})}{\partial \vec{k}} \cdot \frac{e \tau}{\hbar} \vec{E} = f^0 \left(\vec{k} - \frac{e \tau}{\hbar} \vec{E} \right)$$

(Taylor)

\Rightarrow Fermi površina se miče za iznos $(e \tau / \hbar) \vec{E}$ u \vec{k} -prostoru

$$f_k = f^0 \left(\epsilon_k - e \tau \vec{v}_k \cdot \vec{E} \right) \quad \delta \epsilon_k = e \tau \vec{v}_k \cdot \vec{E}$$

Driftna brzina $\delta \vec{v}$:

$$\delta \vec{v} \cdot \frac{\partial \epsilon}{\partial \vec{v}} = e \tau \vec{E} \cdot \vec{v} \quad \delta \vec{v} = \frac{e \tau v}{m v} \vec{E} \quad (*)$$

$$(**) \quad \vec{j} = n e \delta \vec{v} \quad n \rightarrow \text{broj čestica po jedinici volumena}$$

$$\Rightarrow \sigma = \frac{n e^2 \tau}{m} = n |e| \mu$$

Definira se mobilnost nosilaca: $\mu = \frac{|e| \tau}{m}$

$$\sigma = n_e |e| \mu_e + n_h |e| \mu_h$$

\rightarrow mobilnost supljina
 \rightarrow mobilnost elektrona

itd.

\Rightarrow Boltzmannova jednačina postojbe:

$$-\vec{v}_k \frac{\partial f_k}{\partial t} - \frac{e}{\hbar} \left(\vec{E} + \frac{1}{c} \vec{v}_k \times \vec{H} \right) \cdot \frac{\partial f_k}{\partial \vec{k}} = - \left. \frac{\partial f_k}{\partial t} \right|_{\text{scatt.}}$$

$$t.j.: \quad -\vec{v}_k \frac{\partial f_k^0}{\partial t} \nabla T - \frac{e}{\hbar} \left(\vec{E} + \frac{1}{c} \vec{v}_k \times \vec{H} \right) \cdot \frac{\partial f_k^0}{\partial \vec{k}} = - \left. \frac{\partial f_k}{\partial t} \right|_{\text{scatt.}} + \vec{v}_k \frac{\partial g_k}{\partial t} + \frac{e}{\hbar} \left(\vec{E} + \frac{1}{c} \vec{v}_k \times \vec{H} \right) \cdot \frac{\partial g_k}{\partial \vec{k}}$$

Uvrštavanjem (*) i kinematičkog principa:

$$\vec{v}_k = \nabla_{\vec{k}} \epsilon_k = \frac{1}{\hbar} \frac{\partial \epsilon(\vec{k})}{\partial \vec{k}}$$

dobivamo:

$$\left(-\frac{\partial f^0}{\partial \epsilon}\right) \vec{v}_k \cdot \left\{ -\frac{\epsilon(\vec{k}) - \mu}{T} \nabla T + e \left(\vec{E} - \frac{1}{c} \nabla \mu \right) \right\} = - \left. \frac{\partial f_k}{\partial t} \right|_{\text{scatt.}} + \vec{v}_k \frac{\partial g_k}{\partial t} + \frac{e}{\hbar c} (\vec{v}_k \times \vec{H}) \cdot \frac{\partial g_k}{\partial \vec{k}}$$

\rightarrow To je linearizirana Boltzmannova jednačina

(ispusti smo član $\vec{E} \cdot \frac{\partial g_k}{\partial \vec{k}}$ koji je reda E^2 ; odgovara odstupanjima od Ohmovog zakona.

Također član $\vec{v}_k \cdot (\vec{v}_k \times \vec{H})$ identički išezava.

Ako uvrstimo izraz za $\left. \frac{\partial f_k}{\partial t} \right|_{\text{scatt.}}$ vidimo da je Boltzmannova jednačina integralno-diferencijalna jednačina za $g_k(\vec{r})$ (odstupanje od ravnotežne distribucije).

Elektrona vodljivost

pp: imamo samo električno polje \vec{E} u "beskonočnom" mediju koji držimo na konstantnoj temperaturi

\Rightarrow jednačina postojbe: homogen medij $\nabla \cdot \dots = 0$

$$\left(-\frac{\partial f^0}{\partial \epsilon}\right) \vec{v}_k \cdot e \vec{E} = - \left. \frac{\partial f_k}{\partial t} \right|_{\text{scatt.}} = \int (f_k - f_{k'}) Q(\vec{k}, \vec{k}') d\vec{k}' = \int (g_k - g_{k'}) Q(\vec{k}, \vec{k}') d\vec{k}'$$

Umjesto da jednačinu rješavamo direktno uvodimo fenomenolški pretpostavku:

$$- \left. \frac{\partial f_k}{\partial t} \right|_{\text{scatt.}} = \frac{1}{\tau} g_k \quad t.j. \text{ uvodimo ujedine relaksacije } \tau$$

Ako isključimo polje onda će se g_k raspodati u nulu prema zakonu:

$$- \frac{\partial g_k}{\partial t} = \frac{g_k}{\tau}$$

$$g_k(t) = g_k(0) e^{-t/\tau}$$

Kod na nos problem homogenog vodiča primenimo relaciju

$\vec{j}_i = \sum_j L_{ij} X_j$ gdje L_{ij} zadovoljavaju Onsagerovu relaciju $L_{12} = L_{21}$ dobivamo:

$$I = L_{11} \left[-\frac{\Delta\varphi}{T} - \frac{\Delta T}{T^2} \frac{\partial}{\partial T} \left(\frac{\mu}{T} \right) \right] + L_{12} \left(-\frac{\Delta T}{T^2} \right)$$

$$W = L_{21} \left[-\frac{\Delta\varphi}{T} - \frac{\Delta T}{T^2} \frac{\partial}{\partial T} \left(\frac{\mu}{T} \right) \right] + L_{22} \left(-\frac{\Delta T}{T^2} \right)$$

Ili u našem zapisu: ako imamo samo ΔT , a ne i $\Delta\varphi$,

$$\vec{j} = L_{11} \left[-\frac{1}{T} \vec{\nabla} \mu + \frac{\mu}{T^2} \vec{\nabla} T \right] + L_{12} \left[-\frac{1}{T^2} \vec{\nabla} T \right]$$

$$\vec{W} = L_{21} \left[-\frac{1}{T} \vec{\nabla} \mu + \frac{\mu}{T^2} \vec{\nabla} T \right] + L_{22} \left[-\frac{1}{T^2} \vec{\nabla} T \right]$$

$$I = \frac{\Delta Q}{\Delta t}$$

$$\vec{j} = \frac{\Delta Q}{\Delta V} \frac{\Delta T}{\Delta V} = I \frac{\Delta T}{\Delta V}$$

-> vidi se da struja nabojâ nastaje i zbog $\vec{\nabla} T$, a struja toplinâ zbog $\vec{\nabla} \mu$ (kemijski potencijal)

- u svakoj struji $\vec{\nabla} \mu$ i $\vec{\nabla} T$ imaju ulogu!

To opisuju koeficijenti L_{12} i L_{21} (Onsagerove relacije simetričnosti)

L_{ij} : ONSAGER-ovi koeficijenti: 3 nezavisna transportna koeficijenta jer vrijedi:

$$L_{12} = L_{21} \quad \text{Onsagerova relacija (vrijedi uz ovakav izbor)}$$

↳ posljedica činjenice da su korelacijske funkcije za fluktuiranje brzina invarijantne obzirom na izmjenu (naboja)

predznaka vremena - (ako su sile u hamiltonijanu tokve)

↳ to uopće nije trivijalno

Mi se bavimo ireverzibilnom termodinamikom

=> jednačba: $\dot{v} = -\frac{1}{T} v$ nije dobra (jer nije invarijantna s obzirom na $t \rightarrow -t$)

+ treba dodati stohastičku silu

$$\dot{v} = -\frac{1}{T} v + \xi(t)$$

invar. obzirom na inverziju vremena:

fluktuacije od ravnoteže jednako su

vjerovatne kod fluktuacije prema ravnoteži (oko je neko gibanje moguće u jednom smjeru moguće i u drugom)

sistematska sila (sila otpora proporcionalna brzini)

↳ stoji interakcije Brownove čestice sa okolinom (okolinim česticama)

ali i kod se čestica zaustavi molekule "je" "ključaju"

- ne pojavljuje se strelica vremena.

22.5.2002.

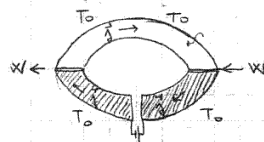
$L_{21} = L_{12}$ → proizlazi iz invarijantnosti jednačbi gibanja na inverziju vremena

$\vec{j}_1 \vec{W}$ → drugačijim grupiranjem simetrija ne bi bila slomljena već "sakrivena" (ne bi se ovako lijepo vidjela)

Peltierov efekt

- bimetalni spoj
- kroz njega pustimo struju, a da ga cijelog održimo na konst. T moramo jedan kraj zagrijavati, a drugi hladiti jer i struja elektrona (\vec{j}) nosi toplinu.

To nam pokazuje da je izotermna električna struja u metalu praćena termalnom strujom $\vec{W} = \Pi \cdot \vec{j}$, Π - Peltierov koeficijent.



- Krugom teče konstantna struja, ali Π se razlikuje za različite metale => stvar se razlika \vec{W} ; da bi održali temperaturu konstantnom (T_0) moramo grijati jedan, a hladiti drugi kraj!

Ako namješimo $\vec{\nabla} T$ na 0

Drugačija konstrukcija: (relacije *)

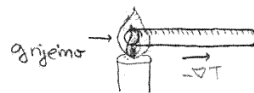
$$\vec{j} = L^{11} \frac{\vec{\nabla} \mu}{e} + L^{12} (-\vec{\nabla} T) \quad \vec{E} = \vec{E} + \frac{\vec{\nabla} \mu}{e}$$

$$\vec{W} = L^{21} \frac{\vec{\nabla} \mu}{e} + L^{22} (-\vec{\nabla} T) \quad \vec{E} = Q \nabla T = 0$$

$$\vec{\nabla} T = 0 \Rightarrow \Pi = \frac{L^{21}}{L^{11}} \equiv T \cdot Q \rightarrow \text{Kelvinova relacija (Lord Kelvin)}$$

$$Q = \frac{1}{e} \frac{\partial \mu}{\partial T} \rightarrow \text{termoelektrična snaga}$$

Možemo napraviti "otvoreni krug" ($\vec{j} = 0$ - ne teče električna struja):

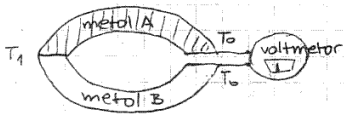


$$\vec{j} = 0 \Rightarrow \vec{\nabla} \mu \sim \vec{\nabla} T$$

(postoji gradijent kem. potencijala iako je $\vec{j} = 0$)

(Seebeck efekt)

Termoelektrična snaga:



- ∃ gradient temperature
- ne dozvoljava se tok elektroničke struje
- ∃ razlika elektrostatskih potencijala između područja metala na visoj i nižoj temperaturi
- ↳ Seebeck effect

↳ kug za mjerenje razlike termoelektričnih napona nastalih u dva različita metala, gdje u svakom od njih temperatura varira od T_0 do T_1 (izravno mjerenje). Točke u krugu između kojih je postavljen voltmetar imaju različite elektrostatske i kemijske potencijale (kako će elektroni teći iz jednog u drugi metal da izravnaju kemijske potencijale u točkama kontakta još uvijek ∃ razlika kemijskih potencijala između točaka na koje je priključen voltmetar jer je temperaturna ovisnost kemijskog potencijala različita u različitim metalima)

Voltmetar očitava veličinu $I \cdot R$ gdje je I mala struja koja teče kroz veliki otpor R . Esencijalno je uočiti da el. struja ne teče samo zbog električnog polja \vec{E} , nego zbog $\vec{E} = -\vec{E} + (1/e)\nabla\mu$ jer gradient kemijskog potencijala vodi na difuzijsku struju (už struju koja se mehanički pokreće električnim poljem). Kao rezultat voltmetar će očitavati $-\int \vec{E} d\vec{l}$ a ne $-\int \vec{E} d\vec{l}$ (kombinacija gradienta električnog potencijala i kemijskog potencijala)

$$(\vec{E} = -\nabla V_{el}(\vec{r}) \rightarrow V_{el}(\vec{r}) = -\int \vec{E} d\vec{l})$$

Termoelektrična snaga metala (termosnaga) Q definira se kao:

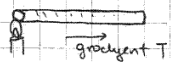
$$-\int \vec{E} d\vec{l} = Q \Delta T \quad \text{ili} \quad \vec{E} = Q \nabla T$$

$$\vec{j} = L^{11} \vec{E} + L^{12} (-\nabla T) \quad \rightarrow \text{teče zanemarljiva električna struja}$$

$$\vec{w} = L^{21} \vec{E} + L^{22} (-\nabla T) \quad \Rightarrow L^{11} \vec{E} = L^{12} \nabla T \quad \Rightarrow Q = \frac{L^{12}}{L^{11}}$$

Seebeck effect

∃ temperaturni gradient u dugom i tankom vodiču:



→ taj gradient bi trebao biti poproćen električnim poljem u suprotnom smjeru.

$$\vec{j} = 0$$

$$0 = L^{11} \vec{E} + L^{12} (-\nabla T)$$

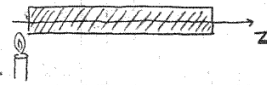
$$\Rightarrow Q = \frac{L^{12}}{L^{11}}$$

$$\vec{E} = Q \nabla T$$

↳ termoelektrično polje

Termalna vodljivost

- gledamo eksperimentalnu situaciju u kojoj je struja čestica nula.



$\vec{j} = 0$ globalno (globalno struje nema, lokalna izmjerena čestica)

grad $\mu \sim \text{grad } T$ (termoele. moduli)

- gledamo metal u kojem T slabo varira

Termalna energija "teče" u smjeru suprotnom od ∇T . Ako topliji kraj metala konstantno grijemo (istom brzinom kojom T raste) dobivamo ravnotežno stanje u kojem su prisutni ∇T , uniformni tok - termalna struja \Rightarrow vektor \parallel smjeru toka T .

$$\text{vrijednost } \vec{w} = \frac{\text{termalna energija}}{\text{jedinica vremena} \times \text{jedinica površine} \perp \text{ na tok}}$$

\Rightarrow definirana je analogno struji

Za male temperaturne gradiente vrijedi:

$$\nabla T \ll \Rightarrow$$

$$\vec{w}_{(z)} = K \cdot \vec{\nabla}_z T$$

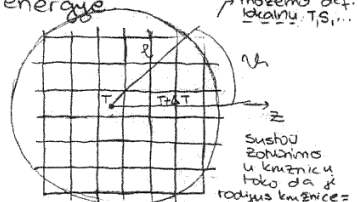
↳ termalna vodljivost

$$\vec{v}_z = \frac{\partial z}{\partial t} \hat{z} \Rightarrow w = K \frac{dT}{dz}$$

jednodžba za vodenje topline

Proračun K

Neki sustav podijelimo na podsustave različite temperature i energije



- centralno možemo definirati lokalnu ravnotežu; možemo definirati lokalnu T, S, E u podsistemu koji je numeriran svojom pozicijom

- između podsistema se izmjenjuju čestice
 - nose različitu unutrašnju energiju
 - čestice imaju različitu energiju pa se energija širi s obje strane
 - sistem dijelimo na podsisteme koji su svi u ravnoteži \rightarrow lokalna ravnoteža

pretpostavke modela:

- zanemarimo razlike u raspodjeli temperature u kockicama T i $T+\Delta T$
- pretpostavimo neke čestice koje su nosioci topline
- isti broj čestica je s brzinama v i $-v$
- postaje svakog sudara čestica ima temperaturu u skladu s mikrosustavom

$$W_z = \sum_{\vec{v}} n(\vec{v}) v_z [e(T+\Delta T) - e(T)]$$

↳ suma po raspodelama brzina
↳ Termalna energija / čestici

- dva podsistema izmjenjuju čestice - one su različiti energija
- 1) aproksimacija - dva podsistema imaju iste raspodjele po brzinama
- 2) još jedna pp - en. se širi kondukcijom, a ne konvekcijom (sudanim na površini)

- nismo pokazali da je izmjena čestica glavni proces širenja energije ali xst (u plinu)

Srednji slobodni put $\bar{l} = \bar{v} \cdot \bar{\tau}$ pp. da je promjena temperature na \bar{l} mala.

→ raspodjela normirana na 1.

$$n(\vec{v}) = S_0 \cdot \phi(\vec{v})$$

↳ "gustota čestica"

↳ srednji slobodni put kinetička teorija plinova → izmjena čestica (en.) ograničena je na kvadr. udaljenosti srednjeg sl. puta

$$\Delta T = \frac{dT}{dz} \cdot \frac{l \cos \theta}{\bar{v}} = \frac{dT}{dz} \cdot \bar{l} v_z$$

→ jer je promjena samo u smjeru z

$$W_z = \sum_{\vec{v}} n(\vec{v}) v_z [e(T+\Delta T) - e(T)] = \sum_{\vec{v}} n(\vec{v}) v_z \Delta T \left(\frac{\partial e}{\partial T} \right)_{\rho, \text{ost.}}$$

$$e(T+\Delta T) = e(T_0) + \Delta T \left. \frac{\partial e}{\partial T} \right|_{T_0} + \dots$$

$$= \sum_{\vec{v}} n(\vec{v}) v_z^2 \bar{\tau} \frac{dT}{dz} \cdot C_v$$

↳ toplinski kapacitet po jedinici volumena i po čestici

$$W_z = C_v \frac{dT}{dz} \cdot \bar{\tau} \sum_{\vec{v}} v_z^2 n(\vec{v}) = \frac{C_v}{C_v \cdot S_0} \frac{dT}{dz} \cdot \bar{\tau} \cdot \sum_{\vec{v}} v_z^2 \phi(\vec{v})$$

↳ korelaciona funkcija brzina-brzina u nesmetanom sistemu
↳ javlja se i kod elektr. transporta
↳ transportno relaksacijsko vrijeme (relaksacijsko vrijeme za brzinu jer se radi o kondukciji)

→ prelaz na 3D:

$$\langle v_x^2 \rangle = \langle v_y^2 \rangle = \langle v_z^2 \rangle = \frac{1}{3} \bar{v}^2$$

→ gdje smo pp da je u ravnoteži raspodjela brzina izotropna tj. korekcije zbog ∇T su vrlo male

$$\rightarrow W_z = \frac{C_v}{K} \frac{1}{3} \bar{v}^2 \bar{\tau} \frac{dT}{dz}$$

196
Kondukcija - prijenos energije česticama (istb kao prijenos naboja)

→ izrazili smo termalni koeficijent preko \bar{v}^2 → kaže da se radi o kondukciji; ograničena relaks. vremenom $\bar{\tau}$

$$\bar{W} = \frac{1}{3} \bar{v}^2 \bar{\tau} C_v \cdot \nabla T = K \nabla T$$

$K = \frac{1}{3} \bar{v}^2 C_v$
↳ sadrži svojstva sustava u term. ekvilibriju C_v i \bar{v}^2 te transportna svojstva

Posebni slučajevi:

a) Elektroni

(fotoni mogu nositi toplinu kondukcijom ali ne mogu električni naboj)

$$\bar{v}^2 = v_F^2$$

jer su aktivni samo e^- na Fermijevoj površini
($\bar{v}^2 \approx v_F^2$ jer pretpostavljamo da sudjeluju samo elektroni s Fermi površine)

$$K_{el} = \frac{\pi^2 S_0 k_B^2 T}{3 m^*} \bar{\tau}$$

↳ (mala prijevora)
u aprox. efektivne mase

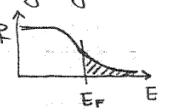
↳ (mala prijevora)

" ∇T " cel ∇T jer se stalno nolažimo ispod T_F koja je

$$C_v = \frac{N \pi^2 k_B^2 T}{2 \mu_0} = \frac{N \pi^2 k_B^2 T m^*}{\hbar^2 k_F^2}$$

$$2 \varepsilon_F = \frac{\hbar^2 k_F^2}{2m}$$

$$v_F = \frac{\hbar k_F}{m^*} \quad \mu_0 \varepsilon_F = \frac{\hbar^2 k_F^2}{2m^*}$$



Termalna svojstva slobodnog elektronskog plina

$$\varepsilon(\vec{k}) = \frac{\hbar^2 k^2}{2m}$$

Fermi Dirac: $\lim_{T \rightarrow 0} f_{FS} = 1$ $\varepsilon(\vec{k}) < \mu$
 $= 0$ $\varepsilon(\vec{k}) > \mu$

Za $T=0$ $f_{FS} = 1$ $\varepsilon(\vec{k}) < \varepsilon_F$
 $= 0$ $\varepsilon(\vec{k}) > \varepsilon_F$

Elektronski doprinos toplinskom kapacitetu pri konstantnom volumenu:

$$C_v = \frac{1}{V} \left(\frac{\partial S}{\partial T} \right)_V = \left(\frac{\partial U}{\partial T} \right)_V \quad u = \frac{U}{V}$$

$$U = 2 \int \varepsilon(\vec{k}) f(\varepsilon(\vec{k}))$$

u aprox. nezavisnih e^- ukupna unutrošnja energija je suma preko jednoelektronskih nivoa $\varepsilon(\vec{k})$ (x br. e^- na nivou)

$$f(\varepsilon) = \frac{1}{e^{(\varepsilon - \mu)/k_B T} + 1}$$

$$u = \int \frac{d^3 k}{4\pi^3} \varepsilon(\vec{k}) f(\varepsilon(\vec{k})) = \int \frac{k^2 dk}{\pi^2} \varepsilon(k) f(\varepsilon(k)) = \int_{-\infty}^{\infty} d\varepsilon g(\varepsilon) \varepsilon f(\varepsilon)$$

$$g(\varepsilon) = \frac{m}{\hbar^2 \pi^2} \sqrt{\frac{2m\varepsilon}{\hbar^2}} \quad \varepsilon > 0$$

$$= 0 \quad \varepsilon < 0$$

gustota stanja

$$g(\varepsilon) d\varepsilon = \left(\frac{1}{V} \right) \cdot [\text{broj jednoelektronskih nivoa u intervalu } \varepsilon, \varepsilon + d\varepsilon]$$

$$g(\varepsilon) = \frac{3}{2} \frac{m}{\varepsilon_F} \left(\frac{\varepsilon}{\varepsilon_F} \right)^{1/2} \quad \varepsilon > 0$$

$$= 0 \quad \varepsilon < 0$$

ε_F, k_F definirani na $T=0$

$$u = \int_{-\infty}^{\infty} d\varepsilon g(\varepsilon) \varepsilon f(\varepsilon) \quad m = \int_{-\infty}^{\infty} d\varepsilon g(\varepsilon) f(\varepsilon)$$

$N \rightarrow$ br. čestica
 $V \rightarrow$ pojedina volumena

$$g(\varepsilon_F) = \frac{3}{2} \frac{n}{\varepsilon_F}$$

$$= \frac{3}{2} \frac{2m}{\hbar^2 k_F} \frac{k_F^3}{8\pi^2}$$

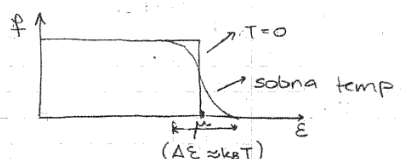
$$= \frac{m k_F}{\hbar^2 \pi^2}$$

$$m = \int_0^{\varepsilon_F} \frac{m}{\hbar^2 \pi^2} \sqrt{\frac{2m\varepsilon}{\hbar^2}} d\varepsilon$$

$$= \frac{m}{\hbar^2 \pi^2} \sqrt{\frac{2m}{\hbar^2}} \int_0^{\varepsilon_F} \sqrt{\varepsilon} d\varepsilon = \frac{2}{3} \frac{m}{\hbar^2 \pi^2} \sqrt{\frac{2m}{\hbar^2}} \varepsilon_F^{3/2}$$

$$\varepsilon_F^{3/2} = \frac{\hbar^3 k_F^3}{2^{3/2} m^{3/2}}$$

$$\Rightarrow n = \frac{2}{3} \frac{\hbar^3 k_F^3}{\hbar^2 \pi^2} \frac{1}{2^{3/2} m^{3/2}} = \frac{k_F^3}{3\pi^2}$$



f se razlikuje od svoje vrijednosti na $T=0$ samo u malom području oko μ širine $k_B T$

Integrali oblika $\int_{-\infty}^{\infty} H(\varepsilon) f(\varepsilon) d\varepsilon$ razlikuju se od svoje vrijednosti na temperaturi $T=0$ $\int_{-\infty}^{\mu} H(\varepsilon) d\varepsilon$ Ta razlika je u potpunosti određena oblikom $H(\varepsilon)$ blizu $\varepsilon = \mu$.

\Rightarrow Taylorov razvoj $H(\varepsilon)$ oko $\varepsilon = \mu$:

$$H(\varepsilon) = \sum_{n=0}^{\infty} \frac{d^n}{d\varepsilon^n} H(\varepsilon) \Big|_{\varepsilon=\mu} \frac{(\varepsilon-\mu)^n}{n!}$$

$$\Rightarrow \int_{-\infty}^{\infty} H(\varepsilon) f(\varepsilon) d\varepsilon = \int_{-\infty}^{\mu} H(\varepsilon) d\varepsilon + \sum_{n=1}^{\infty} (k_B T)^{2n} a_n \frac{d^{2n-1}}{d\varepsilon^{2n-1}} H(\varepsilon) \Big|_{\varepsilon=\mu}$$

(Sommerfeldov razvoj \rightarrow izvod AH Appendix C)

$$\Rightarrow u = \int_0^{\mu} \varepsilon g(\varepsilon) d\varepsilon + \frac{\pi^2}{6} (k_B T)^2 [\mu g'(\mu) + g(\mu)] + \mathcal{O}(T^4)$$

$$n = \int_0^{\mu} g(\varepsilon) d\varepsilon + \frac{\pi^2}{6} (k_B T)^2 g'(\mu) + \mathcal{O}(T^4) \quad \mu(T=0) = \varepsilon_F$$

$$\Rightarrow u = \int_0^{\varepsilon_F} \varepsilon g(\varepsilon) d\varepsilon + \varepsilon_F \left\{ (\mu - \varepsilon_F) g(\varepsilon_F) + \frac{\pi^2}{6} (k_B T)^2 g'(\varepsilon_F) \right\} + \frac{\pi^2}{6} (k_B T)^2 g(\varepsilon_F) + \mathcal{O}(T^4)$$

$$n = \int_0^{\varepsilon_F} g(\varepsilon) d\varepsilon + \left\{ (\mu - \varepsilon_F) g(\varepsilon_F) + \frac{\pi^2}{6} (k_B T)^2 g'(\varepsilon_F) \right\}$$

n neovisno o temperaturi $\Rightarrow (\mu - \varepsilon_F) g(\varepsilon_F) + \frac{\pi^2}{6} (k_B T)^2 g'(\varepsilon_F) = 0$

$$\Rightarrow \mu = \varepsilon_F \left[1 - \frac{1}{3} \left(\frac{\pi k_B T}{2 \varepsilon_F} \right)^2 \right]$$

$$\Rightarrow u = u_0 + \frac{\pi^2}{6} (k_B T)^2 g(\varepsilon_F)$$

$$\Rightarrow c_v = \left(\frac{\partial u}{\partial T} \right)_n = \frac{\pi^2}{3} k_B^2 T g(\varepsilon_F) = \frac{\pi^2}{2} \left(\frac{k_B T}{\varepsilon_F} \right) n k_B$$

\downarrow
za sl. e-

Imamamo dakle:

$$c_v = \frac{\pi^2 k_B^2 n}{2 \varepsilon_F T} = \frac{\pi^2 k_B^2 n m^*}{\hbar^2 k_F^2} T, \quad n = \frac{k_F^3}{3\pi^2}, \quad \sqrt{v^2} = v_F^2, \quad v_F = \frac{\hbar k_F}{m^*}$$

$$K_{el} = \frac{1}{3} \frac{1}{v^2} c_v \cdot v = \frac{1}{3} \frac{\hbar^2 k_F^2}{m^{*2}} \cdot \frac{\pi^2 k_B^2 S_0 m^*}{\hbar^2 k_F^2} T \cdot v = \frac{\pi^2 k_B^2 S_0 T}{3 m^*} \cdot v$$

$$\Rightarrow K_{el} = \frac{\pi^2 S_0 k_B^2 T}{3 m^*} v$$

Widman-Franzov zakon
WIEDERMANN-FRANZOV ZAKON

Izveli smo ranije: karakterizira materijal

$$\rho = \frac{S_0 e^2}{m^*} v \sim v$$

\rightarrow u aprox. efektivne mase

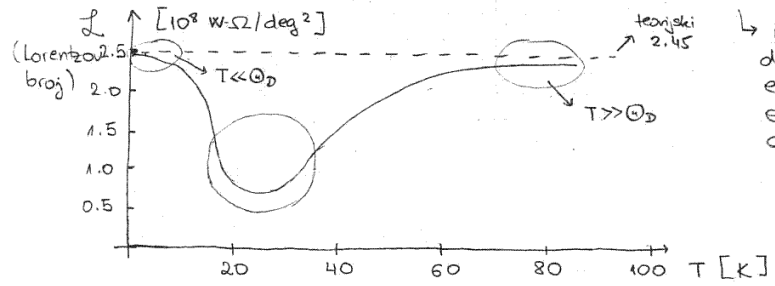
$$\frac{K_{el}}{\rho T} = \frac{\pi^2}{3} \left(\frac{k_B}{e} \right)^2 = \mathcal{L}$$

Lorentzov broj = $2.45 \cdot 10^{-8} \text{ W}\Omega/\text{deg}^2$
 \rightarrow dobili smo nešto neovisno o materijalu (fundamentalna konstanta)

- Lorentzov broj ne ovisi o T
- \rightarrow isti procesi su uključeni u vođenje struje topline i struje čestica (naboga).

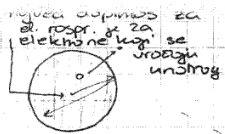
teorija predviđa da bi trebao biti isti za sve metale koji se mogu opisati aproksimacijom efektivne mase! (to je Widman-Franzov zakon).

Ali eksperiment: Kako to izgleda u bakru (Cu):



\rightarrow iako je dosta teško ekstrahirati elektronski doprinos bakra

- na visokim i niskim temperaturama se slaže, a u sredini odstupa. Zašto?!
- (naša teorija je dobra za male temp. - blizu apsolutne nule i za temperature dalje od 80 K)
- Nаша teorija vrijedi u području do 20° K, a u području oko 20 K \exists procesi gdje elektroni predaju energiju fononima (neelastični procesi) koji oni dalje nose \rightarrow ali procesi se relaksiraju u jedno elektronsku brzinu \Rightarrow odstupanja - kondukcija nije dovoljna u području $T < 80$ K)



e^- se promijeni moment \Rightarrow mijenja se energija
 (oni prvi procesi - mijenja se brzina ali ne i energija)
 bihna promjena energije problemu bez promjene impulsa
 Fermi površine

\hookrightarrow Fermi kugla \rightarrow procesi u kojima elektroni ne mijenjaju brzinu, ali mijenjaju energiju

\rightarrow tu nastoji odstupanja

$$\frac{1}{\tau_{tot}} = \frac{1}{\tau_R} + \frac{1}{\tau_{ph}^{el,tot}}$$

elastična raspršenja na nečistoćama $e-ph$ interakcija
 elastična i neelastična raspršenja na fononima
 e^- vidi rešetku kao stohički nered

Dakle, rezultat je dobar na visokim i niskim T.
 Očito je stvar u mehanizmima vodljivosti: da li su oni isti za električnu i termičku vodljivost \Rightarrow oni se odvijaju u relaksacijskim procesima $\Rightarrow \tau$ [Naša pp je bila najgrubija $\vec{v} = \vec{v} \cdot \tau$ tj. elektroni se svakim sudarom (za τ vremena) potpuno relaksiraju.]

τ_{el} je pretpostavljeno uigeme relaksacije ukupnog momenta gibanja \Rightarrow prilikom relaksacije ukupna energija CM pretvara se u toplinu, pretpostavljeno procesi su elastični \leftarrow elektron se odbija na nečistoći ili fononu

$$\frac{1}{\tau} = \frac{1}{\tau_{neel}} + \frac{1}{\tau_{ph}^{el,tot}} \Rightarrow \text{Widermannov zakon je OK.}$$

ne ovisi o T \rightarrow elektron - fonon interakcija

U slučaju topline ulaze i neelastični procesi: neelastično raspršenje na fononu \rightarrow elektron predaje fononu dio energije, a fonon je vodi dalje (preko fonona sun' energija iz elektronskog podsistema)

$$\frac{1}{\tau} = \frac{1}{\tau_{neel,tot}} + \frac{1}{\tau_{ph}^{el,tot}} + \frac{1}{\tau_{ph}^{neel}}$$

(- tu se energija bitno mijenja a moment je gotovo sačuvan - energija više ne putuje brzinom v_e)
 ovaj stvarni odstupanja

Ekperiment nam govori da neelastični procesi nisu važni na visokim i niskim T, a važni su na srednjim ($T \sim \Theta_D$).

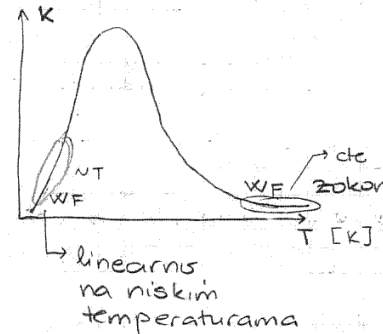
Zašto?

- $T \ll \Theta_D$ ($T \rightarrow 0$)
 $\frac{1}{\tau_{ph}} \ll \frac{1}{\tau_R}$
 fonona nema ($N_{ph} \rightarrow 0$) pa raspršenja na fononima ni nema \Rightarrow ostaje samo raspršenje na nečistoćama \Rightarrow vlat' priču na Lorentzov broj: samo τ_R^{-1}
- $T \gg \Theta_D$
 $\frac{1}{\tau_{el}} \gg \frac{1}{\tau_{ph}}$
 svi procesi su kvazi-elastični (dominiraju) elastični procesi \rightarrow okludirani su svi fononi

Na visokim temperaturama elektroni se raspršuju elastično (e^- ide brzo i vidi rešetku kao stohički nered).

3) $T \sim \Theta_D \rightarrow$ odstupanja od WF zakona neelastični procesi su komparabilni elastičnim
 $\left(\frac{1}{\tau_{ph}^{el,tot}} \approx \frac{1}{\tau_{ph}^{neel}} \right)$

Termalna vodljivost elektrona (za Cu) K se ponaša analogno kao τ :



Vidi se da kod metala na sobnoj temperaturi toplinu vode elektroni

$$\tau^{-1} \propto \text{brži fonona} \propto T \Rightarrow \tau \propto \frac{1}{T}$$

ponošanje

Dvije energetske skale: elektronska fononska (Debye)

$$K_{el} = C \cdot T \cdot \tau \quad T \ll \Theta_D \Rightarrow \tau \sim \text{cte} \Rightarrow K = C \cdot T \cdot \tau \sim T$$

$$T \gg \Theta_D \Rightarrow \tau \sim \frac{1}{T} \Rightarrow K = C \cdot T \cdot \tau \sim \text{cte}$$

\hookrightarrow ovo je linearno u T jer su temp. još uvijek mnogo niže od karakterističnih temperatura za elektrone ($T_F \sim 10^3$ K)

Razjasnimo to malo bolje: (J.H. Ziman, str. 233)

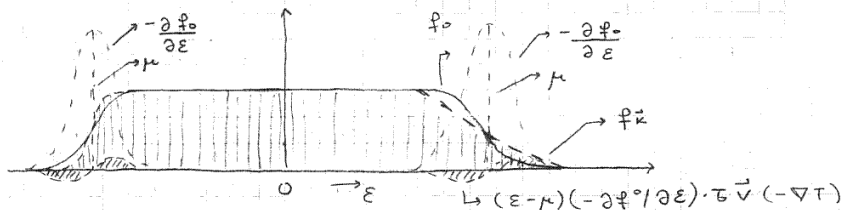
$$\frac{K}{T\tau} = \frac{\pi^2}{3} \frac{k^2}{e^2} \quad \text{Wiedemann-Franz-ov zakon}$$

\hookrightarrow taj rezultat je lako razumjeti. U električnoj vodljivosti svaki elektron nosi svoj naboj e i na njega djeluje električno polje silom eE . Struja po jedinici površine je proporcionalna sa e^2 ($j = \tau \cdot E$ i $j \sim e^2$). U termalnoj vodljivosti svaki elektron nosi termalnu energiju $k_B T$ i na njega djeluje termalna sila $k_B \nabla T$. Struja topline po jedinici termalnog gradijenta je proporcionalna $k_B^2 T$. Omjer ta dva transportna koeficijenta mora biti reda $k_B^2 T / e^2$; faktor $\pi^2/3$ dobija zbog toga što radimo samo s elektronima na Fermi površini koji poštuju Fermi statistiku. Taj zakon je jako generalan i vrijedi ako se efekti raspršenja mogu definirati samo pomoću vektora srednjeg slobodnog puta koji varira duž Fermi površine. Ali to zahtijeva da raspršenje bude elastično.

Da bismo to dokazali pogledajmo funkciju raspodjele u uvjetima termalne vodljivosti:

$$f_{\vec{k}} - f_{\vec{k}'} = \left(-\frac{\partial f_0}{\partial \epsilon} \right) \left(\frac{\epsilon - \mu}{T} \right) \tau \vec{v}_{\vec{k}} \cdot (-\nabla T)$$

Fermijeva raspodjela u termalnoj vodljivosti



-> distribucija se širi na strani gdje je $\vec{v}_{\vec{k}} \cdot (-\nabla T)$ pozitivan i zaostrova na drugoj strani

Elektroni koji idu u smjeru gdje je ∇T negativan su „toplji“ za iznos:

$$\delta T = -\tau \vec{v}_{\vec{k}} \cdot \nabla T$$

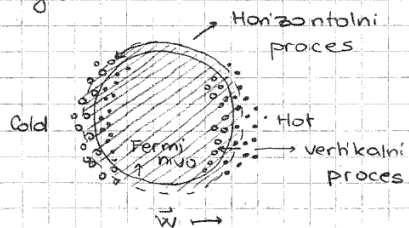
Oni koji idu u suprotnom smjeru su „hladniji“ od prosječne temperature elektronskog plina.

Elektroni koji stižu u područje temperature T iz smjera \vec{v} će preći udaljenost $\tau \vec{v}$. Područje koje ostavljaju tj. područje gdje su zadržali put pretrpili termalizacijski sudar bit će na temperaturi $T + \delta T$. Ti će elektroni stoga biti „toplji“ za iznos δT .

U eksperimentu termalne vodljivosti stoga nema netto fluxa elektrona tj. nema netto fluxa naboja. Struja topline postoji zato što imamo „tople“ elektrone koji putuju u jednom smjeru i „hladne“ elektrone koji putuju u drugom smjeru. To možemo prikazati sljedećom slikom

Elektronska raspodjela i procesi raspršenja u termalnoj vodljivosti:

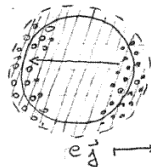
(1)



∃ elektroni excitirani iznad Fermi nivoa na desnoj strani i elektroni kondenzirani ispod Fermi nivoa na lijevoj strani. Razmotrimo sada načine na koje se distribucija može relaksirati: raspršenjem. Možemo raspršivati topli elektron oko Fermi sfere mijenjajući njegov smjer (smjer brzine). To je horizontalni proces.

To je procesi raspršenja koji je također efektivan u reduciranju električne vodljivosti. Slika (2).

(2) Elektronska raspodjela i procesi raspršenja u električnoj vodljivosti



Ti procesi su elastični i za njih vrijedi Wiedemann-Franzov zakon

Međutim, također ∃ vertikalni procesi u kojima „toplji“ elektroni gube visok suze energije i padaju ispod Fermi nivoa.

Takav proces ima malo utjecaja na električnu vodljivost - ali je za termalnu vodljivost važan za reduciranje struje topline. Vertikalni prijelazi su po definiciji neelastični. Ti procesi nisu važni na visokim temperaturama (neel. raspršenje na fononima) jer je maksimalna energija koju elektron gubi ili dobiva jednaka maksimalnoj energiji fonona $\approx 3k_B T$ što je manje od širine $k_B T$ Fermi raspodjele oko Fermi nivoa, pa tu vrijedi WF zakon. Ali, na nižim temperaturama gubitak ili dobitak energije elektrona je reda veličine $k_B T$ što je dovoljno da elektron prođe kroz termalni sloj tj. da se od „toplog“ elektrona napravi „hladni“.

Račun relaksacijskog vremena:

Imali smo:
$$g_{\vec{k}} = \left(-\frac{\partial f_0}{\partial \epsilon} \right) e \vec{E} \cdot \vec{\lambda}(\vec{k})$$

gdje je $\vec{\lambda}(\vec{k}) = \tau(\vec{k}) \vec{v}(\vec{k})$ sr. slobodni put

↳ anizotropno relaksacijsko vrijeme

koje: vanra duž Fermi površine

Za električnu vodljivost:

$$\begin{aligned} \left(-\frac{\partial f_0}{\partial \epsilon} \right) \cdot \vec{v}_{\vec{k}} \cdot e \vec{E} &= -\frac{\partial g_{\vec{k}}}{\partial t} \Big|_{\text{scatt}} = \int (f_{\vec{k}} - f_{\vec{k}'}) Q(\vec{k} - \vec{k}') d\vec{k}' \\ &= \int (g_{\vec{k}} - g_{\vec{k}'}) Q(\vec{k} - \vec{k}') d\vec{k}' \end{aligned}$$

i uveli smo fenomenološku pp.:

$$-\frac{\partial g_{\vec{k}}}{\partial t} \Big|_{\text{scatt}} = \frac{1}{\tau(\vec{k})} g_{\vec{k}}$$

Kod se ugasi polje $g_{\vec{k}}$ se relaksira prema nuli prema zakonu:

$$-\frac{\partial g_{\vec{k}}}{\partial t} = \frac{g_{\vec{k}}}{\tau(\vec{k})}$$

$$\Rightarrow g_{\vec{k}} = \left(-\frac{\partial f_0}{\partial \epsilon} \right) \tau(\vec{k}) \vec{v}_{\vec{k}} \cdot e \vec{E} \quad (*)$$

Elementarno rješenje jedn. (*) je ako pišemo $\vec{\lambda}(\vec{k}) = \tau \vec{v}_{\vec{k}}$ tj. ako pp. elastično raspršenje tj.

$$Q(\vec{k}, \vec{k}') d\vec{k}' = S(\epsilon - \epsilon') Q(\vec{k}, \vec{k}') d\Omega' dE \quad (*)$$

$$\rightarrow \sim |\vec{k}| |\vec{k}'| \rightarrow U(\vec{k}) \text{ opisuje int. izmjestu e- u neistocce}$$

$$\Rightarrow \vec{v}_k \cdot \vec{E} = \tau \int (\vec{v}_k - \vec{v}_{k'}) \cdot \vec{E} Q(\vec{k}, \vec{k}') d\Omega'$$

↳ to treba izvoditi preko Fermi površine. To je funkcionalna relacija koja postavlja uvjet na oblik $Q(\vec{k}, \vec{k}')$. Lako je pokazati da ona vrijedi kod imamo sferičnu Fermi površinu sa $|\vec{v}_k| = \text{const}$ i kod je $Q(\vec{k}, \vec{k}') = Q(\theta)$

$$\Rightarrow \frac{1}{\tau} = \int (1 - \cos\theta) Q(\theta) d\Omega' \quad (**)$$

Međutim, ovdje treba uzeti u obzir i procese emisije i opsorpcije fonona tj. kod računamo "relaksacijsko vrijeme" kao u (***) ispuštamo faktor $(1 - \cos\theta)$ koji dozvoljava promjenu komponente brzine elektrona duž smjera polja. (ugrubo pp. da je proces jednako efikavan na reducirane termalne i električne struje)

Nakon računa se dobije: $\frac{k_i}{2\pi T} \approx \left(\frac{T}{\Theta}\right)^2 \leftarrow \frac{M\Theta^4}{T^2}$

Analitički je teško pokazati da je uvjet elastičnog raspršenja

$$\int d\vec{k}' Q(\vec{k}, \vec{k}') \epsilon(\vec{k}') g(\vec{k}') = \epsilon(\vec{k}) \int d\vec{k}' Q(\vec{k}, \vec{k}') g(\vec{k}')$$

(to vrijedi oko $Q(\vec{k}, \vec{k}') \sim S(\epsilon(\vec{k}) - \epsilon(\vec{k}'))$ ali ne vrijedi ako $Q(\vec{k}, \vec{k}')$ ima neishezavajuće vrijednosti za \vec{k} i \vec{k}' za koje je $\epsilon(\vec{k}) \neq \epsilon(\vec{k}')$) dovoljan da osigura Wiedemanna-Franzov zakon, ali fizikalne razloge za to nije teško razumjeti. Budući je naboj elektrona stolan jedini način na koji sudari mogu smanjiti električnu struju jest mijenjanjem brzine svakog elektrona. U termalnoj struji umjesto naboja imamo $(E - \mu)/T$. Ako energija jest sačuvana u svakom sudaru, a naboj sigurno jest, onda se termalna struja smanjuje na isti način kao i električna. Ako energija nije sačuvana u svakom sudaru onda postoji dodatni mehanizam smanjenja termalne struje koji nema električni analogon: sudari mogu mijenjati energiju elektrona kao i njegovu brzinu. Kako će ti meelastični sudari imati različite efekte na termalnu i električnu struju nemamo razloga očekivati da vrijedi jednostavan WF zakon koji povezuje električnu i termalnu vodljivost.

Dokle WF zakon pada oko su prisutni procesi meelastičnog raspršenja jer i procesi raspršenja koji mogu smanjiti termalnu struju bez da smanje električnu struju.

Vergatnost i rasprišenja na više centora se zlogaju!

$$W = W^{(1)} + W^{(2)} \quad \text{tj. } Q = Q^{(1)} + Q^{(2)}$$

$$\Rightarrow \frac{1}{\tau} = \frac{1}{\tau^{(1)}} + \frac{1}{\tau^{(2)}} \quad (**)$$

pp. \vec{k} -neovisno relaksacijsko vrijeme za sudai mehanizom

$$\Rightarrow \frac{1}{\tau} = \frac{m}{ne^2\tau} = \frac{m}{ne^2} \frac{1}{\tau^{(1)}} + \frac{m}{ne^2} \frac{1}{\tau^{(2)}} = \frac{1}{\tau^{(1)}} + \frac{1}{\tau^{(2)}} \quad \text{Matthiessenovo pravilo}$$

Matthiessenovo pravilo ne vrijedi oko: τ -ovisi o \vec{k}
 $\tau \sim \frac{1}{\tau} \Rightarrow \frac{1}{\tau} \sim \frac{1}{\tau^{(1)}} + \frac{1}{\tau^{(2)}}$

Matthiessenovo pravilo zahtjeva: $1/\tau = 1/\tau^{(1)} + 1/\tau^{(2)}$, a relacija (**):
 $(1/\tau) = (1/\tau^{(1)}) + (1/\tau^{(2)}) \neq \frac{1}{\tau^{(1)}} + \frac{1}{\tau^{(2)}}$

(osim ako su $\tau^{(1)}$, $\tau^{(2)}$ neovisni od \vec{k})

$$\Rightarrow \frac{1}{\tau} \geq \frac{1}{\tau^{(1)}} + \frac{1}{\tau^{(2)}}$$

Prvi: τ ovisi o energiji elastična rasprša \Rightarrow neovisno o \vec{k} neel. \Rightarrow ovisno o \vec{k}

→ pod aprox. vremena relaksacije
 → jedan mehanizam nije neovisan o prisutnosti drugog.

b) Fononi kao prenositelji topline:

i fononi sami po sebi mogu voditi termalnu struju

$$\vec{v}^2 = v_s^2 \quad \text{brzina zvuka } v_s$$

C_v - specifična toplina fonona

τ - karakterizira raspršenje fonona; tražimo procese koji ograničavaju brzinu fonona (i dalje smo u modelu vodjenja topline kondukcijom)

- fononi sloba vide neistocce (za razliku elektrona, koji se elastično vežu na neistocce)

Fononi nisu nabijeni \Rightarrow ne mogu nositi električnu struju ali mogu toplinu

$$K_{ph} = \frac{1}{3} C_v \vec{v}^2 \tau \quad \vec{v}^2 \sim v_s^2 \sim v_{\text{sound}}^2 \rightarrow \text{neka srednja kvadratna brzina zvuka, doprinose joj okusidki fononi najveće brzine}$$

$$C_v \sim T^3 \quad T \ll$$

$$C_v = \text{const. } T \gg$$

Imamo konvekciju topline kvazičesticama (fononima) \Rightarrow fononi su paketi energije.

Kakve fonone tražimo?

↳ lokalizirani su u nekom području

- malom u odnosu na dimenzije kristala
- velikom u odnosu na ionski razmak

→ kako konstruirati takvo stanje?

Normalni mod \vec{k} ne radi jer uključuje gibanje kroz cijeli kristal, a mi trebamo lokalizaciju (dokle treba nam čestica), a to je superpozicija stanja, normalnih modova s bliskim valnim vektorima!
 Time smo stvorili fononsku valnu funkciju lokaliziranu u $\Delta x \approx 1/\Delta k \Rightarrow$ valni paket.

Perfektno harmonički kristal ima ∞ vodljivost \leftarrow fononska stanja su stacionarna, ali u kristalu \exists nesavršenosti i to vodi na termalni otpor!
 Ipak kristali nisu savršeno harmonički zbog:

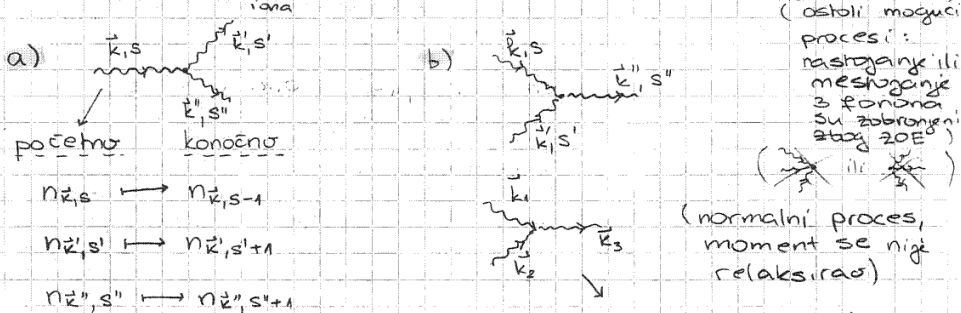
- ① - nepravilnosti u rešetki
- ② - raspršenje fonona od površine

Anharmonički efekt (razvoj pot. energije do viših članova) \Rightarrow vodi na višefononske procese; RASPRSENJE FONONA NA FONONU!

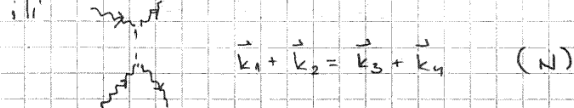
Pogledajmo sad kako $\vec{\tau}$ utječe na $K_{ph} \rightarrow \vec{\tau}$ opisuje procese koji relaksiraju moment. Već smo spomenuli da za opis prijenosa topline u harmonički Hamiltonijan ($\sim \vec{u}^2$) treba uključiti anharmoničke članove \rightarrow uglavnom se njihov doprinos uključuje perturbativno. Dominantan proces relaksacije je raspršenje fonona na fononu.

Ograničenja na $\vec{\tau}$ ne dolaze od nečistoća, mogu doći od sudara; prijelazi:

1. popravka $\sim \vec{u}^3 \rightarrow$ takvi procesi postoje samo ako kristal nema centar inverzije

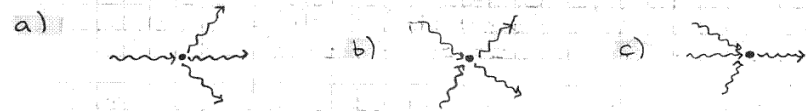


Normalni procesi (N) čuvaju moment i ne relaksiraju brzinu: $\vec{k}_1 + \vec{k}_2 = \vec{k}_3$



- ako ne postoji član $\sim \vec{u}^3$ imamo:

2) popravka $\sim \vec{u}^4$



Ostali doprinosi su zanemarljivi u aproksimaciji malih oscilacija. Često se gledaju samo kubične popravke. Vrijede zakoni sočuvanja:

a) energije $\sum_i \hbar \omega_s(\vec{k}) n_{\vec{k},s} = \sum_i \hbar \omega_s(\vec{k}) n'_{\vec{k},s}$
 b) ukupnog kristalnog momenta: $\sum_i \vec{k} n_{\vec{k},s} = \sum_i \vec{k} n'_{\vec{k},s} + \vec{G}$

} ovo zovemo "sudarima" ali ustvari to su procesi kreacije i anihilacije

$\vec{k}_1 + \vec{k}_2 = \vec{k}_3 + \vec{G} (+ \vec{k}_4)$ U procesi (Umklapp = preklap)

dominantan proces pri relaksaciji: $\left\{ \begin{array}{l} \rightarrow \text{vektor recipročne rešetke} \\ - \text{proces predoje impulsa rešetci} \end{array} \right.$

$\vec{G} \neq 0$ preda impuls rešetki \Rightarrow ograničava vodljivost

Dva su različita područja za određivanje temperaturne ovisnosti $\vec{\tau}$:

① $T \gg \Theta_D$

$n_s(\vec{k}) \approx \frac{k_B T}{\hbar \omega_s(\vec{k})}$ (klasična granica)
 $\vec{\tau}^{-1} \sim n_s(\vec{k}) \sim T^{\alpha}$ \rightarrow eksperim.

Veća je vjerojatnost da će se fonon raspršiti (ona raste s brojem fonona) na ostalim fononima $\rightarrow \vec{\tau}$ pada s porastom T !

$\vec{\tau} \sim \frac{1}{T^x} \Rightarrow K_{ph} = \frac{1}{3} v_{av}^2 C_v \vec{\tau}$
 za $T \gg \Theta_D$ (Dulong-Perit)

\Rightarrow s obzirom da je $C_v = \text{const.}$

$K_{ph} \sim \frac{1}{T^x}$, $x \in (1,2)$ (eksperiment)

[kubični su jači od ih, to može jako ograničiti pa i kvadratni dolaze u igru iako su slabiji]

\rightarrow ovisno o tome da li prevladavaju kubični ili kvadratni procesi raspršenja $\rightarrow \vec{u}^3$
 $\rightarrow \vec{u}^4$

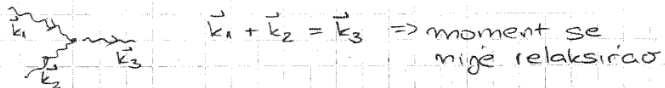
② $T \ll \Theta_D \Rightarrow \omega_s(\vec{k}) \ll \omega_D, k \ll k_D$

Broj fonona je značajan samo za $\omega_s(\vec{k}) \leq k_B T$, jer
 $n_s(\vec{k}) \approx e^{\frac{\hbar \omega_s(\vec{k})}{k_B T}}$ } općenito je na $T \ll \Theta_D$ broj fonona malen

Totolna energija i moment fonona koji se sudaraju $\ll \hbar \omega_D$
 Energija mora ostati sačuvana \Rightarrow izlazni fononi $\ll \hbar \omega_D$
 To je moguće samo ako je njihov $|\vec{k}| \ll |k_D|$

$\sum k_{ulazno}$ i $\sum k_{izlazno}$ može biti $\ll k_D$ samo ako je $\vec{G} = 0$
 (iz ZOI), ali je $|\vec{G}| \sim k_D$

Zato se na nižim T javljaju procesi koji egzaktno čuvaju moment!
 To su tzv. NORMALNI PROCESI (N);



Procesi koji čuvaju moment do na konstantu (tj. procesi koji relaksiraju moment) su UMKLAPP PROCESI (U);

$k_1 + k_2 = k_3 + \vec{G} \Rightarrow$ MOMENT SE RELAKSIRA \Rightarrow Da bismo upće pokrenuli U proces treba bar $k_1 + k_2 = \vec{G} \Rightarrow k \sim \frac{G}{2}$

Temperaturna ovisnost τ različit je za ove procese. Može se reći da se na dovoljno niskim T umklapp procesi zmrzavaju \Rightarrow moment je egzaktno očuvan, τ me ovisi o T. \rightarrow (jer je broj takvih fonona $n_s(\vec{k}) \rightarrow 0$)

To znači nešto ovako: na toplijem dijelu uzorka stvore se fononi koji "nose" toplinu u hladniji dio gdje nestaju - zročenje topline iz kristala

Nema disipacije momenta, pa niti disipacije snage topline povezane s njim \Rightarrow vodljivost je beskonačna (za N-procese, $T \ll$)

Konačna termalna vodljivost proizbazi iz U-procesa. Na niskim T pak postoji mala vjerojatnost za umklapp proces, pa stoga postoji konačna vodljivost (mogući postojati fononi $|\vec{k}| \approx |k_D|$ jer je $|\vec{G}| \sim |k_D|$ i $\hbar \omega_s(\vec{k}) \approx \hbar \omega_D$);

$k \sim \frac{G}{2}, E \sim \frac{\hbar \omega_D}{2} \rightarrow$ tipične vrijednosti koje nam trebaju

$n_s(\vec{k}) = \frac{1}{e^{\frac{\hbar \omega_s(\vec{k})}{k_B T}} - 1} \approx \frac{1}{e^{\frac{\Theta_D}{2T}}} \approx e^{-\frac{\Theta_D}{2T}}$ broj eksp. pada s porastom $\frac{\Theta_D}{T}$

Preciznije:

$\tau \sim e^{\frac{\Theta_D}{2T}}$ To je reda veličine Θ_D

$\tau^{-1} \sim n_s(\vec{k}) \approx e^{-\frac{\Theta_D}{2T}}$

Dio momenta koji u U procesima uzme rešetka kompenzira se npr. mehanički.

Dakle:

$\tau^{-1} \sim n_u \rightarrow$ proporcionalno broju fonona koji mogu uči u umklapp

$k_1, k_2 \approx \frac{G}{2}$ mogu biti barem tog reda veličine; fononi sa dosta velikim momentima \rightarrow pri rubu Brillouinove zone

\rightarrow njihova energija je: $\frac{\hbar \omega_D}{2}$

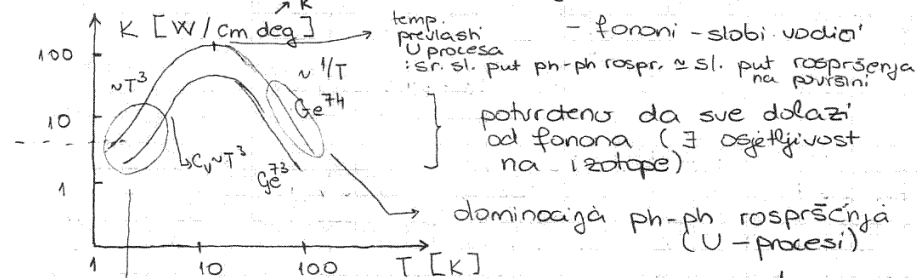
$\tau^{-1} \sim n_u \approx e^{-\frac{\Theta_D}{2T}}$

$T \ll \Theta_D$ (granica malih temperatura) \rightarrow fononi vide rubove uzorka

$\tau^{-1} \sim T \quad T \gg \Theta_D$

broj fonona $\propto T$ (ekviparticijski zakon, klasično)

Ekspeniment: Uzimamo material u kojem nema vodljivih (slob.) elektrona na niskim T (\Rightarrow samo fononski doprinos) \rightarrow poluvodič (PV) Ge (germanij)



$K = \frac{1}{3} v_{av}^2 C_v^{ph} \tau$

na vrlo niskim temperaturama ipok prevladava raspršenje na mećem drugom (ne vide nečistoće, ali vide rubove uzorka)

1°) $T \gg \Theta_D \Rightarrow$ ph-ph raspršenje (U-procesi) $\tau^{-1} \sim n_{ph} \sim T$

2°) $T \ll \Theta_D \Rightarrow \tau \rightarrow$ nema ovisnosti o T, $C_v \sim T^3 \Rightarrow K \sim T^3$

\rightarrow dominantan doprinos raspršenja na rubovima uzorka $C_v \sim T^3$

τ ne ovisi o T!!
 \rightarrow trebalo bi biti osjetljivo na izotropni efekt:

$l \times d$ srednji slobodni put reda veličine dimenzija uzorka.

$v = \sqrt{v^2} / \tau = \frac{v}{\tau} \rightarrow \frac{1}{\tau} = \frac{1}{\tau_{par}} + \frac{1}{\infty} \rightarrow$ od norm. procesa \rightarrow valjda.

U metalima dominira termalna vodljivost koja dolazi od elektrona s tim da je ta vodljivost ograničena raspršenjem na fononima (fononi igraju ulogu raspršivača a ne voditeља topline)

Na sobnoj temperaturi elektroni u metalima nose 10-100 puta više topline od fonona (metali 10-100 puta bolje vode toplinu od izolatora). U izolatorima i poluvoditeljima toplinu vode fononi. Kod nečistih metala i fononi i elektroni mogu imati podjednaki doprinos.

Amorfne tvari => fononski doprinos ostaje isti jer "dugovalni" zvuk ne vidi amorfnu strukturu. Ako se elektroni nisu lokalizirali zbog amorfnosti i oni vode toplinu.

"Phonon-drog"

-elektron - fonon sustavi:
 - elektroni => nisu u ravnoteži nego vode struju
 - fononi => ekulibrij

-> vežu se i izbacuju fonone iz ravnoteže

Ako im je $k_{tot} \neq 0$, te oko U-procesi ne postoje on će ostati $k_{tot} \neq 0$ čak i kod malenog E .

Zato sustav ne može ući u ravnotežu e i ph se vežu ostavljajući moment $\neq 0$ i električnu struju $\neq 0$.

To su tzv. koherentna stanja visoke vodljivosti!

-> toč je $\sigma \sim e^{-\frac{1}{T}}$, $T \ll \nu_D$ (Pierlsav poučok)

* Dodatak: Kako selektirati N & U procese?

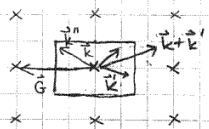
Da li je proces U ili N ovisi o izboru primitivne ćelije u odnosu na koju odredujemo \vec{k} .

NPR. -> početni fononi \vec{k} , \vec{k}' jednoznačno su određeni pri bilo kojem izboru ćelije

Uzmemo 2 različite primitivne ćelije

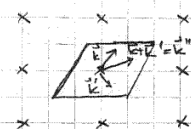
1. B. zona

2. neki paralelogram



$$\vec{k} + \vec{k}' = \vec{k}'' + \vec{G}$$

U-proces



$$\vec{k} + \vec{k}' = \vec{k}''$$

N-proces

$$\vec{k} + \vec{k}' \Rightarrow \vec{k}''$$

1°) - Ako su svi $\vec{k} \rightarrow \vec{k}, \vec{k}', \vec{k}''$ specificirani u 1BZ i \vec{k}'' se razlikuje od \vec{k} i \vec{k}' za \vec{G}

$$\vec{k} + \vec{k}' = \vec{k}'' + \vec{G} \rightarrow \text{U-proces!}$$

2°) Ako su svi \vec{k} specificirani u paralelogramu i $\vec{k}'' = \vec{k} + \vec{k}' \Rightarrow \Rightarrow \text{N-proces!}$

Ako zadržimo primitivnu ćeliju distinkcija između U i N je nedvosmislena jer suđki fononski mijer ima jednoznačan prikaz \vec{k} u p. ćeliji.

Kako stvoriti N proces?

Izoberemo za p. ćeliju koja sadržava okolinu točke $\vec{k} = 0$ i koja je dovoljno velika da obuhvati suđki \vec{k} s energijom $\hbar \omega_s(\vec{k}) \gg k_B T$. Odigledan izbor je 1BZ.

↑ signifikantan broj fonona

Vraćamo se električnim efektima.

VIII Ponašanje elektrona u magnetskom polju

Jednodžba gibanja u aproksimaciji efektivne mase:
p kristal donosi grupnu brzinu $e \rightarrow$ noboj $-|e|$ za elektroni $|e|$ za supljine

$$m \left(\frac{d}{dt} + \frac{1}{\tau} \right) \vec{v} = e \left(\vec{E} + \frac{1}{c} \vec{v} \times \vec{B} \right)$$

tu se pojavljuje m^* efektna masa
 Newtonovski član \rightarrow efekt relaksacije brzine (raspršenje na nečemu)
 efekt magnetskog polja \rightarrow prep. prosječnu unijeme \vec{G} za koje se elektron relaxira; prosječna akceleracija je $\frac{\vec{v}}{\tau}$

Jednodžba dobivena iz aproksimacije efektnog $\mu \Rightarrow$ toliko je pojednostavljena da je to jednodžba za slob. elektron koji se raspršuje na nečemu.

To bi se trebalo dobiti iz poluklasičnog opisa

$$H_{eff} = E^0(\vec{k} \rightarrow -i \frac{\partial}{\partial \vec{r}_i} - \frac{e}{\hbar c} \vec{A}(\vec{r}_i)) + V(\vec{r}_i) \quad \text{KM} \rightarrow \text{QM}$$

$$\Rightarrow H_{eff} = H_{eff} \left(-i \frac{\partial}{\partial \vec{r}_i} - \frac{e}{\hbar c} \vec{A} \rightarrow \vec{k} \right) \quad \text{QM} \rightarrow \text{KM}$$

$$\Rightarrow \hbar \dot{\vec{k}} = e \left(\vec{E} + \frac{1}{c} \vec{v} \times \vec{B} \right) \quad \vec{v} = \frac{1}{\hbar} \frac{\partial E_{\vec{k}}}{\partial \vec{k}}$$

$$\text{U aprox eff. mase} \quad m^* \vec{v} = \hbar \dot{\vec{k}}$$

$$\xi - \xi_0 = \frac{e E_0}{\hbar \omega_c} [e^{-i \omega_c t} - 1] \quad \left[\frac{1}{\sqrt{2}} \cos(\omega_c t) + \frac{i}{\sqrt{2}} \sin(\omega_c t) \right]$$